

მდინარის ჰიდროგლიკური ელემენტები, რომელთა საფუძველზე განხორციელდა წყლის მაქსიმალურ ხარჯებსა და დონეებს შორის $Q = f(H)$ დამოკიდებულების მრუდების აგება, მოცემულია №15 ცხრილში.

მდინარე კუხისწყლის ჰიდროგლიკური ელემენტები

ცხრილი №15

ნიშნულები მ.მ.ბ.	პეტოს ელემენტები	პეტოს ფართობი $\omega \text{ მ}^2$	ნაკადის სიგანე $B \text{ მ}$	საშუალო სიღრმე $h \text{ მ}$	ნაკადის ქანობი i	საშუალო სიჩქარე $v \text{ მ/წმ}$	წყლის ხარჯი $Q \text{ მ}^3/\text{წმ}$
განივი №6 პ. 0+000.0							
116.35	კალაპოტი	4.02	10.0	0.40	0.0117	1.17	4.70
117.00	კალაპოტი	11.2	12.0	0.93	0.0117	2.06	23.1
117.50	კალაპოტი	17.7	14.0	1.26	0.0117	2.53	44.8
118.00	კალაპოტი	25.1	15.5	1.62	0.0117	2.99	75.0
118.50	კალაპოტი	33.4	17.5	1.91	0.0117	3.34	112
119.00	კალაპოტი	42.8	20.0	2.14	0.0117	3.60	154
119.00	ჭალა	2.04	24.0	0.08	0.0117	0.36	0.73
	Σ	44.8	44.0				155
განივი №5 პ. 0+020.0 L=20 მ.							
116.75	კალაპოტი	3.34	10.4	0.32	0.0225	1.40	4.68
117.50	კალაპოტი	11.6	11.5	1.01	0.0169	2.62	30.4
118.50	კალაპოტი	25.0	15.4	1.62	0.0155	3.44	86.0
119.25	კალაპოტი	37.7	18.4	2.05	0.0152	3.99	150
განივი №3 პ. 0+044.0 L=240. (ხედის შესასვლელი)							
116.95	კალაპოტი	4.93	12.9	0.38	0.0083	0.95	4.68
117.50	კალაპოტი	12.0	12.9	0.93	0.0088	1.79	21.5
118.00	კალაპოტი	18.5	13.0	1.42	0.0088	2.37	43.8
118.50	კალაპოტი	25.2	13.7	1.84	0.0090	2.85	71.8
119.00	კალაპოტი	32.4	15.0	2.16	0.0097	3.30	107
119.50	კალაპოტი	40.2	16.0	2.51	0.0103	3.76	151
განივი №1 პ. 0+060.0 L=16 მ.							
117.05	კალაპოტი	6.19	22.0	0.28	0.0063	0.68	4.21
118.00	კალაპოტი	29.3	26.6	1.10	0.0043	1.40	41.0
119.00	კალაპოტი	56.8	28.5	1.99	0.0030	1.74	98.8
119.00	ჭალა	7.60	12.0	0.63	0.0030	0.73	5.55
	Σ	64.4	40.5				104
119.50	კალაპოტი	71.4	30.0	2.38	0.00279	1.89	135
119.50	ჭალა	24.3	55.0	0.44	0.00279	0.55	13.4
	Σ	95.7	85.0				148

კალაპოტის მოსალოდნელი ზოგადი გარეცხვის სიღრმე

მდინარე შუა კუხის (კუხისწყლის) კალაპოტის მოსალოდნელი ზოგადი გარეცხვის მაქსიმალური სიღრმე დადგენილია მეთოდით, რომელიც მოცემულია კ. ლაპშენკოვის მონოგრაფიაში „ჰიდროგვანძების ბიეფებში მდინარეთა კალაპოტების დეფორმაციების პროცენტირება“ (ლენინგრადი, 1979 წ).

აღნიშნული მეთოდის თანახმად კალაპოტის ზოგადი გარეცხვის საშუალო სიღრმე იანგარიშება ფორმულით

$$H_{sash.} = \left[\frac{Q_{p\%} \cdot n^{2/3}}{B} \cdot \left(\frac{10}{d_{sash}} \right)^{1/3} \right]^{\frac{1}{1+2/3-y}} \quad \theta$$

სადაც $Q_{p\%}$ – საანგარიშო უზრუნველყოფის წყლის მაქსიმალური ხარჯია, ჩვენ შემთხვევაში მდ. კუხისწყლის 1%-იანი უზრუნველყოფის მაქსიმალური ხარჯი ტოლია 120 მ³/წ-;

n – კალაპოტის სიმქისის კოეფიციენტია, რაც ტოლია 0,050-ის;

B – კალაპოტის სიგანეა, რაც დადგენილია საპროექტო განივის (სახიდე გადასასვლელის შესასავლელის) პიდრავლიკური ელემენტების ცხრილიდან და ტოლია 16 მეტრის;

d_{sash} – კალაპოტის ამგები მყარი მასალის საშუალო დიამეტრია, რომლის სიდიდე განისაზღვრება „მთის მდინარეების ალუვიურ კალაპოტებში პიდროტექნიკური ნაგებობების პროექტირებისას მდგრადი კალაპოტის საანგარიშო ტექნიკურ მითითებაში“ მოცემული ფორმულით, რომელსაც შემდეგი სახე გააჩნია

$$d_{sash} = 1,1 \cdot d_{dan} \cdot \left(\frac{Q_{p\%}}{Q_{10\%}} - 0,1 \right)^{0,9} \text{ მ}$$

აქ d_{dan} – კალაპოტის ფსკერზე დალექილი მყარი მასალის საშუალო დიამეტრია მ-ში. მისი სიდიდე დადგენილია იმავე მეთოდურ მითითებაში მოცემული შემდეგი გამოსახულებით

$$d_{dan} = K \cdot i^{0,9} \cdot \left(\frac{Q_{10\%}}{\sqrt{g}} \right)^{0,4} \text{ მ}$$

აქ K – კოეფიციენტია, რომელიც ითვალისწინებს წყლის ხარჯისა და მასში შეწონილი მყარი მასალის არაერთგვაროვნებას. მისი სიდიდე, დამოკიდებული წყალში შეტივტივებული მყარი მასალის რაოდენობაზე (μ გრ/ლ), აიღება შესაბამისი ცხრილიდან და ჩვენ შემთხვევაში ტოლია 1,6-ის;

წყალში შეტივტივებული მყარი მასალის რაოდენობა (μ გრ/ლ) განისაზღვრება შემდეგი ფორმულით

$$\mu = 7000 \cdot \left(\frac{H}{d_{dan}} \right)^{0,7} \cdot i^{2,2} \text{ გრ/ლ}$$

სადაც H – ნაკადის საშუალო სიღრმეა საანგარიშო კვეთში. მისი სიდიდე ადებულია საპროექტო კვეთის პიდრავლიკური ელემენტებიდან და ჩვენ შემთხვევაში ტოლია 2,30 მ-ის;

i – ორივე ფორმულაში ნაკადის პიდრავლიკური ქანობია საპროექტო უბანზე, რაც ჩვენ შემთხვევაში ტოლია 0,0117-ის;

$Q_{10\%}$ – მდ. შესასავლელის 10%-იანი უზრუნველყოფის წლის მაქსიმალური ხარჯია, რაც ტოლია 50,0 მ³/წ-ის;

g – სიმძიმის ძალის აჩქარება.

მოცემული რიცხვითი სიდიდეების შეტანით ზემოთ მოყვანილ ფორმულებში მიიღება $\mu=3,80$ გრ/ლ-ს, $d_{dan}=0,09$ მ-ს და $d_{sash}=0,21$ მ—ს.

y – ნ. პავლოვსკის ფორმულაში შეზის კოეფიციენტის განმსაზღვრელი ხარისხის მაჩვენებელია. მისი სიდიდე იანგარიშება გამოსახულებით

$$y = 2,5 \cdot \sqrt{n} - 0,13 - 0,75 \cdot \sqrt{R} \cdot (\sqrt{n} - 0,1)$$

სადაც R – პიდრავლიკური რადიუსია, რაც მდინარეებისთვის საშუალო სიღრმის ტოლია. ჩვენ შემთხვევაში, საპროექტო კვეთის პიდრავლიკური ელემენტების ცხრილის მიხედვით $R=h=2,30$ მ-ს;

n – აქაც კალაპოტის სიმქისის კოეფიციენტია, რაც ტოლია 0,050-ის; აქედან $y=0,289$ -ს;

მოცემული რიცხვითი სიდიდეების შეფანით ზემოთ მოყვანილ ფორმულაში მიიღება კალაპოტის ზოგადი გარეცხვის საშუალო სიღრმე 2,92 მეტრის ტოლი. კალაპოტის ზოგადი გარეცხვის მაქსიმალური სიღრმე მიიღება დამოკიდებულებით

$$H_{\max} = 1,6 \cdot H_s$$

მოყვანილი გამოსახულების შესაბამისად, მდ. შუა კუხის კალაპოტის ზოგადი გარეცხვის მაქსიმალური სიღრმე სწორხაზოვან უბანზე ტოლი იქნება $4,67 \approx 4,70$ მ-ის.

როგორც ცნობილია, სახიდე გადასასვლელი მდ. შუა კუხზე მოწყობილია მდინარის მრუდხაზოვან, მოხვეულ უბანზე, სადაც იგი ქმნის მარჯვენა მუხლს. იმავე მეთოდური მითითების თანახმად, კალაპოტის მოსალოდნელი ზოგადი გარეცხვის სიღრმის საანგარიშოდ მრუდხაზოვან უბანზე, თავდაპირველად უნდა განისაზღვროს მდინარის მოხვეულობის რადიუსი საპროექტო უბანზე ქვემოთ მოყვანილი ფორმულით

$$R = \frac{3}{i^{0,5}} \cdot \left(\frac{Q_{p\%}}{\sqrt{g}} \right)^{0,4}$$

მოყვანილ ფორმულაში, სადაც ადნიშვნები იგივე მნიშვნელობისაა, რიცხვითი სიდიდეების შეფანით მიიღება კალაპოტის მოხვეულობის საშუალო რადიუსი 119 მეტრის ტოლი.

კალაპოტის ზოგადი გარეცხვის საშუალო სიღრმე მრუდხაზოვან უბანზე იანგარიშება გამოსახულებით

$$H_m = H_s \cdot (1 + K_r)$$

სადაც H_s – კალაპოტის ზოგადი გარეცხვის საშუალო სიღრმეა სწორხაზოვან უბანზე, რაც ჩვენ შემთხვევაში ტოლია 2,92 მეტრის;

K_r – კოეფიციენტია, რომლის მნიშვნელობა განისაზღვრება სპეციალური ცხრილიდან კალაპოტის სიგანისა და მოხვეულობის რადიუსის ფარდობის შესაბამისად. კალაპოტის სიგანისა და მოხვეულობის რადიუსის ფარდობა ტოლია 0,134-ის, რასაც შეესაბამება K_r -ს მნიშვნელობა 0,19.

მოცემული რიცხვითი მნიშვნელობების შეტანით ზემოთ მოყვანილ გამოსახულებაში, მიიღება კალაპოტის ზოგადი გარეცხვის საშუალო სიღრმე მრუდხაზოვან უბანზე, რაც ტოლია 3,47 მეტრის.

კალაპოტის გარეცხვის მაქსიმალური სიღრმე მრუდხაზოვან უბანზე მიიღება გამოსახულებით

$$H_{\max} = \varepsilon \cdot H_m$$

სადაც ε – კოეფიციენტია, რომლის მნიშვნელობა განისაზღვრება სპეციალური ცხრილიდან და დამოკიდებულია მოხვეული ნაპირის დახრაზე. ჩვენ შემთხვევაში მდ. შუა კუხის მრუდხაზოვან უბანზე მარჯვენა, ვერტიკალური ნაპირის დახრა ტოლია 0,5-1,0-ის, რასაც შეესაბამება $\varepsilon=2,0$.

დადგენილი რიცხვითი მნიშვნელობების შეტანით მოცემულ გამოსახულებაში, მიიღება კალაპოტის ზოგადი გარეცხვის მაქსიმალური სიღრმე მდ. შუა კუხის (კუხისწყლის) მრუდხაზოვან უბანზე, რაც ტოლია 6,95 მეტრის.

მრუდხაზოვან უბანზე კალაპოტის ზოგადი გარეცხვის მაქსიმალური სიღრმე, უნდა გადაიზომოს მდ. შუა კუხის 100 წლიანი განმეორებადობის წყლის მაქსიმალური ხარჯის შესაბამისი დონის ნიშნულიდან ქვემოთ.

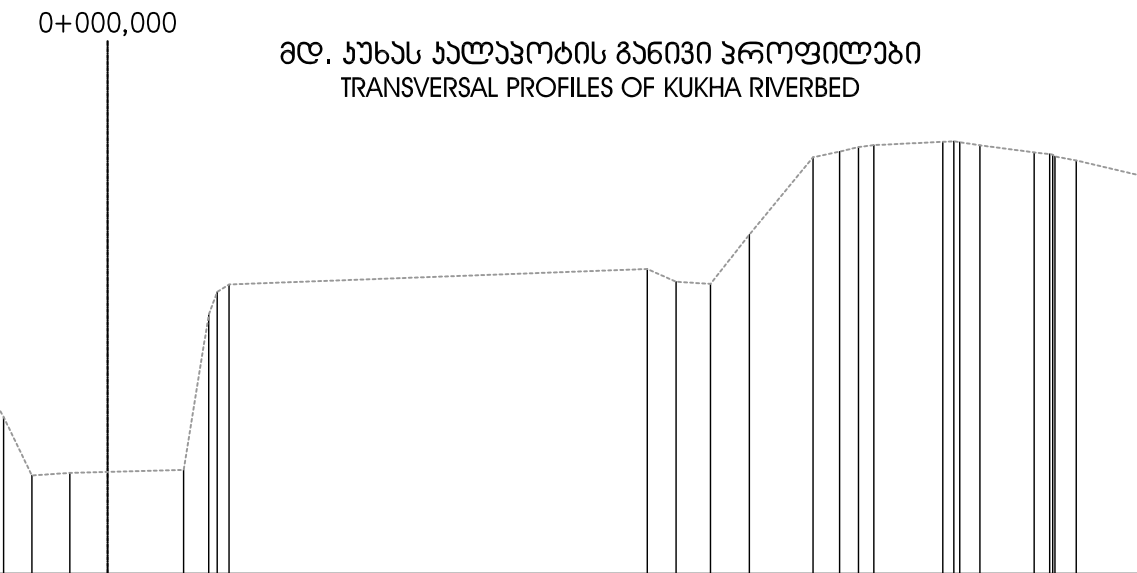


NN 115,00 m



საპროექტო გზა
PLANNED ROAD

არსებული დონე
EXISTING TERRAIN



მღ. კახას კალაპოტის გენეზი პროფილები TRANSVERSAL PROFILES OF KUKHA RIVERBED

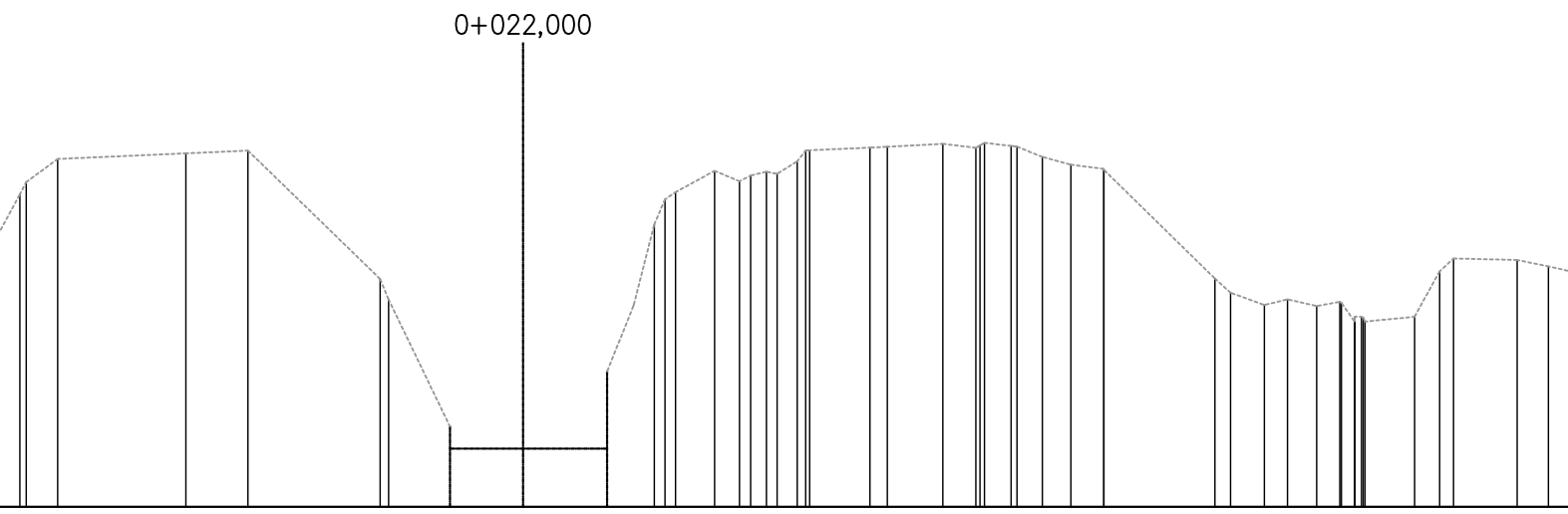
$$S = 1:500 / 100$$

NN 116,00 m



საპროექტო გზა PLANNED ROAD

არსებული დონე
EXISTING TERRAIN



4,846 5,5

ԿՐԵԱԿԱՆ ՀԱՅՈՒԹՅԱՆ ՀԱՅԱՍՏԱՆԻ ՀԱՆՐԱՊԵՏՈՒԹՅԱՆ ՎԵՐԱԴԱշտության մասին ՀՀ օրենքը հանդիսանում է պահանջարկային օրենք՝ պահանջարկային օրենքի մասին ՀՀ օրենքի համապատասխան պահանջարկային օրենքը:

CONSULTANT:
DESIGNING AND CONSULTING COMPANY
KOSTAVA STR. SIDE STREET CORPUS 7,
GROUND FLOOR,
APT. #1, TBILISI, GEORGIA

ଅସତ୍ୟକାରୀ / APPRO
ତାରିଖ / DATE:

წალხამზეს განვითარებული RIVER BED CROSS PROFILES

01ს მდგრადი / SCALE: H-1:500
V-1:100

შოთა სახელმცირე 13-ე კილომეტრზე (ს-52) ხაუჭაბერ-ქონის ს/გ-ის გვ-13 კა-6
მდ. ენერგე ხალი სახით გადასახალებული მარკალობა
NEW BRIDGE CONSTRUCTION ON RIV. KUKHA AT KM 13 OF THE TSKALTUBO-KHINI STATE HIGHWAY

6969%0 / DRAWING: SP-00

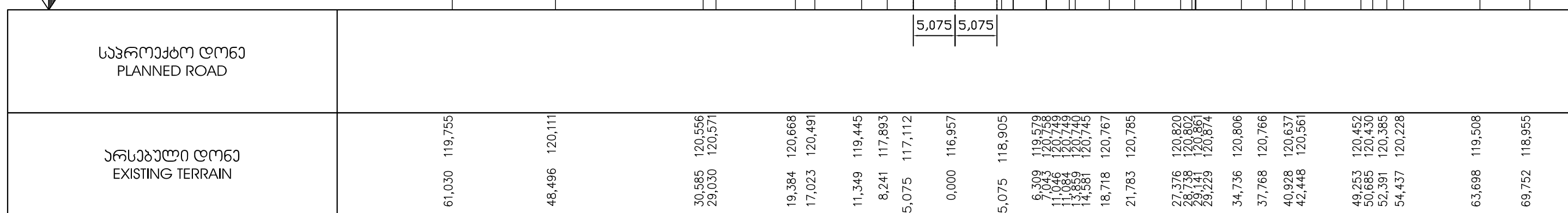
8560
REV.

მღ. კუხას კალაპოტის განვითარების TRANSVERSAL PROFILES OF KUKHA RIVERBED

საპროექტო ნივთის გამოსასვლელი
DESIGN CLEARANCE OUTLET

$$S = 1:500 / 100$$

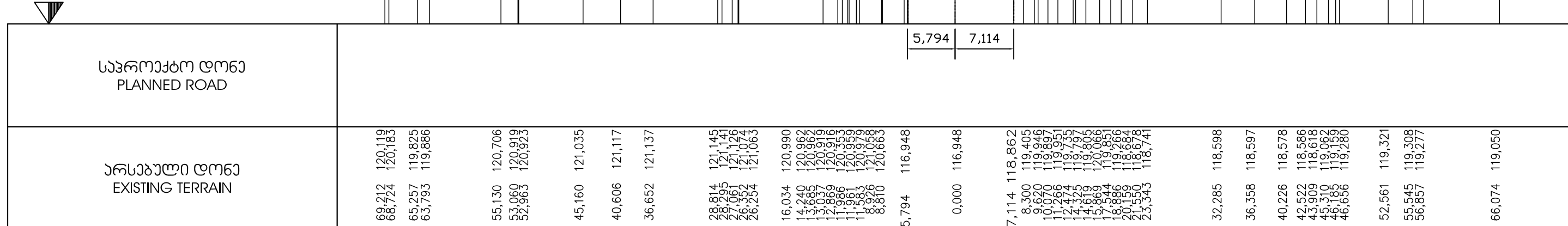
NN 116,00 m



საკროებელი ნარების შესასვლელი DESIGN CLEARANCE INLET

S = 1:500 / 100

NN 116,00 m



მდ. კუხას კალაპოტის განვითარების TRANSVERSAL PROFILES OF KUKHA RIVERBED

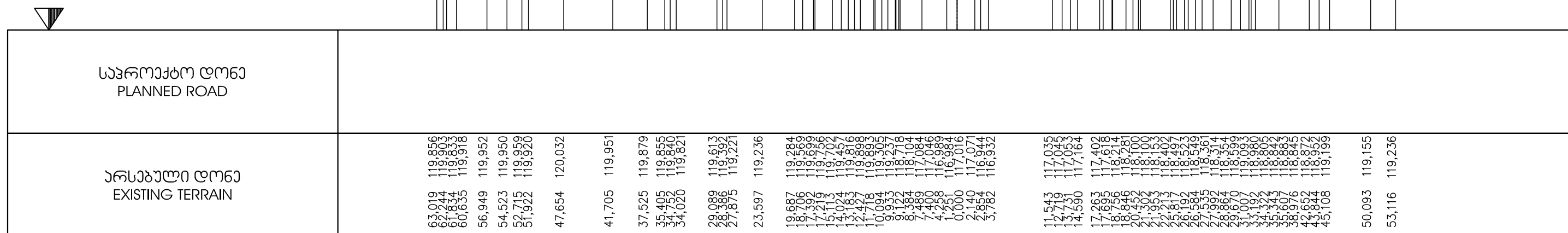
$$S = 1:500 / 100$$

NN 116,00 m



S = 1:500 / 100

NN 116,00 m



დანართი 2: საინიციატივო-გეოლოგიური ანგარიში



შიდასახელმოწოდებრივი მნიშვნელობის ტყაღფუბო-ხონის
სბ-ის 13ქმ-ზე, მდ. კუხაზე ახალი სახიდე გადასასვლელის
მშენებლობა

საინჟინრო-გეოლოგიური კვლევა

თბილისი 2014 წ

შიდასახლმდივნობრივი მნიშვნელობის ფიალტურო-ხონის
სბ-ის 13პმ-ზე, მდ. პუხაზე ახალი სახიდე გადასასვლელის
მშენებლობა

საინჟინრო-გეოლოგიური კვლევა

ქ.ქ.ს. „გეოტექნიკისი”

დირექტორი

გ. ბენდუქიძე

პროექტის მენეჯერი

ს. დადანიძე

თბილისი 2014 წ

ტექნიკური დანალება / TECHNICAL ASSIGNMENT

საინჟინრო-გეოლოგიური საველე კვლევებისა და შერჩევლი ნიმუშებზე
ლაბორატორიული კვლევების ჩასატარებლად

To Conduct Engineering-geological field survey and Soil sample Laboratory testing

თარიღი/date: 09 იანვარი, 2014 წ.

№	დასახელება / Name of Item	
1	დამკვეთი Clinet	ქ.ს. "საპროექტო-საკონსულტაციო კომპანია პითი" "Designing and Consulting Company BT" LTD
2	შემსრულებელი Contractor	ქ.ს. "გეოტექსერვისი" "Geotechservice" LTD
3	ობიექტის დასახელება Name of the Site	დეტალური საინჟინრო პროექტის მომზადება ორი გზის რეაბილიტაციისათვის: "ქობულეთი-ნატანების გზის" კმ 0.0 - კმ 6.9 და "ქობულეთი-ცეცხლაურის გზის" კმ 0.0- კმ 3.4; Detailed engineering design of two road sections rehabilitation works: "Kobuleti-Natanebi" km 0.0 - km 6.9 and "Kobuleti- Tsetskhalauri" km 0.0 - km 3.9;
4	მშენებლობის ტიპი (ახალი, რეაბილიტაცია, რეკონსტრუქცია) Construction type (New, Rehabilitation, Reconstruction)	რეაბილიტაცია Rehabilitation-Reconstruction
5	ობიექტის მისამართი Site Location	ოზურგეთის მუნიციპალიტეტი, ხოფელი ტანატანების ტერიტორია ("ქობულეთი-ნატანების გზის" მონაკვეთი); ქობულეთის მუნიციპალიტეტის ტერიტორია (ქობულეთი- ცეცხლაურის "გზის" მონაკვეთი), აჭარის ავტონომიური რესპუბლიკა Ozurgeti Municipality territory (Kobuleti-Natanebi road section); Kobuleti Municipality Territory (Kobuleti-Tsetskhlarui road section) Adjara Autonomous Republic;
6	ობიექტის დაპროექტების ხადითი Design Stage	დეტალური საინჟინრო პროექტი Detailed Engineering Design
7	ნავებობის კლასი პასუხისმგებლობის მიხედვით Site Responsibility Class	-
8	ობიექტის ტექნიკური დასასიათება Site Technical Description	შიდასახლმწიფოებრივი მნიშვნელობის გზის მონაკვეთები State Internal Improtance Road Sections
9	საძირკვლის სავარაუდო ტიპი Assumed Foundation Type	-
10	საპროექტო დატვირთვა საძირკვლის ძირზე Design Load at Foudation	-
11	საველე სამუშაოები	მითითებული კოორინატების შესაბამისად: 14 შერვის გაყვანა

	Field Assessments	თოთოეული 1.5 მ სიღრმით; At provided coordinates: 14 trial pits, each 1.5 m in depth;
12	განსაკუთრებული აღნიშვნები Special Symbols	გამოვლენილი გრუნტების დაბორატორიული კვლევები ჩატარდეს დამკვეთის მიერ მითითებული მოცულობების შესაბამისად Number of Soil samples and types of tests to be agreed with client for laboratory testing;
13	შენიშვნა Notes	საინჟინრო - გეოლოგიური კვლევის დოკუმენტაცია წარმოდგენილი იქნას აკინძული, 2-2 ებ ზემოქმარად (ქართულ და ინგლისურ ენებზე) შესაბამისი ელ. ვერსიით Engineering-Geological survey results shall be provided in 2-2 samples (in English and In Georgian) and soft copy shall be provided Respectively;

დამკვეთი:
Client:





სარჩევი

1.	შესავალი	6
2.	კლიმატური პირობები	8
3.	გეომორფოლოგიური პირობები და გეოლოგიური აგებულება	11
4.	ქანების საინჟინრო-გეოლოგიური დახასიათება	12
5.	დასკვნა	15

ნახაზები:

- ნახაზი 1 ჭაბურღილის განლაგების გეგმა;
 ნახაზი 2 ჭაბურღილის ჭრილები;
 ნახაზი 3 ლითოლოგიური ჭრილი I-I';
 ნახაზი 4 SPT - ხელსაწყოს ნახაზი;

დანართები:

- დანართი 1 ლაბორატორიული კვლევის შედეგების ჯამური ცხრილი;
 დანართი 2 გრუნტის შემავსებლის გრანულომეტრიული შემადგენლობა;
 დანართი 3 დეფორმაციის მოდული;
 დანართი 4 ძვრის მაჩვენებლები;
 დანართი 5 გრუნტების ქიმიური ანალიზის შედეგები;
 დანართი 6 გრუნტების აგრესიულობა;
 დანართი 7 გრუნტის წყლის ქიმიური ანალიზის შედეგები;
 დანართი 8 გრუნტის წყლის და გარემოს აგრესიულობა;
 დანართი 9 ფოტომასალა.

1. შესავალი

შპს „გეოტექსირვისმა” შ.კ.ს. „ბითი”-სთან 2014 წლის იანვარში დადგებული ხელშეკრულების თანახმად მიიღო დავალება ხონის რაიონში, მდინარე გუბისწყლის მარჯვენა შენაკადზე მდ. კუხაზე ახალი სახიდე გადასასვლელის პროექტირებისათვის ხიდის ბურჯების ქაბულების ლითოლოგიური ჭრილების დასადგენად და შესაბამისი საინჟინრო-გეოლოგიური კვლევის ჩატარებისათვის გაებურდა 2 - 20.0მ-დე სიღრმის ჭაბურდილი.

საველე სამუშაოები მიმდინარეობდა 2014 წლის 16-18 იანვარს (ინჟ. გეოლოგი: ზ. ისაკაძე).

ლაბორატორიული კვლევები მიმდინარეობდა 2014 წლის 20 იანვრიდან 27 იანვრამდე (გ. ნაცვლიშვილი, ბ. ხატიაშვილი, ნ. ღალანიძე, ლ. მინაძე, ქ. თედლიაშვილი, ი. კოკოლაშვილი).

კამერალური სამუშაოები მიმდინარეობდა 21 იანვრიდან 27 იანვრამდე (ს. ღალანიძე, გ. ტლაშვაძე, გ. ნაცვლიშვილი, ზ. ღალანიძე, მ. ყიფშიძე).

საველე კვლევებისას გაბურდულია 2 ჭაბურდილი ჭაბურდილი №BH-KU1 15.0მ სიღრმის, მდინარის მარჯვენა ნაპირზე და ჭაბ. №BH-KU2 - 16.0მ სიღრმის, მდინარის მარცხენა ნაპირზე. ჭაბურდილები გაბურდულია დამკვეთის მიერ მითითებული კორდინატების შესაბამისად. ჭაბურდილებში ჩატარებულია სტანდარტული პენეტრაციის ცდები.

ჭაბურდილებიდან აღებულია გრუნტის დაშლილი და დაუშლელი სტრუქტურის ნიმუშები, ასევე აღებულია წყლის სინჯი, მათი შემდგომი ლაბორატორიული კვლევისათვის.

საინჟინრო-გეოლოგიური პირობების სირთულის კატეგორიის მიხედვით შესწავლილი უბანი მიეკუთვნება II საშუალო სირთულის კატეგორიას, (СНиП 1,02,07-87 დანარტი 10).

შესრულებული სამუშაოების სახეობები და მოცულობა მოცემულია ცხრილში 1.

ცხრილი 1

Nº	სამუშაოს სახეობა	გვ.	წლი.
1	საინჟინრო-გეოლოგიური რეკონსტირება	უბანი	1
2	2 ჭაბურღლის ბურღვა 20.0მ სიღრმემდე	გ	31
3	ნიმუშების აღება	ცალი	10
4	სტანდართული პენეტრაციის ცდები	ცდა	8
5	გრუნტის შემაგსებლის გრანულომეტრიული ანალიზი	ცდა	4
6	გრუნტების ტენიანობა	ცდა	10
7	პლასტიკურობის ზღვრები	ცდა	10
8	სიმკვრივე	ცდა	4
9	მინერალური ნაწილის სიმკვრივე	ცდა	4
10	დრეპადობის მოდული	ცდა	1
11	ძერის მაჩვენებლები	ცდა	1
12	გრუნტების ქიმიური შედგენილობა	ცდა	2
13	გრუნტის წყლის ქიმიური შედგენილობა	ცდა	1
14	საველე და ფონდური გეოლოგიური, გეოფიზიკური, მეტეოროლოგიური და საინჟინრო-გეოლოგიური მასალების მოძიება და დამუშავება	უბანი	1
15	მასალების კამერალური დამუშავება და საინჟინრო-გეოლოგიური ანგარიშის შედგენა	ანგ.	1

2. პლიაზიური პიროვნები

საკვლევი უბნის კლიმატური პირობების შეფასება ეყრდნობა ქ. ხონის გეტეოსადგურების (174) მონაცემებს (შესასწავლ თბიექტთან ყველაზე ახლოს მდებარე მეტეოსადგური). მონაცემები მიღებულია სამშენებლო კლიმატოლოგიის სტანდარტით (პნ 01.05-08).

საქართველოს სამშენებლო კლიმატური დარაიონების რუკის მიხედვით რაიონი მიეკუთვნება III კლიმატურ და III-ბ ქვერაიონს. იანვრის საშუალო ტემპერატურა $+2^{\circ}\text{C}$ -დან $+6^{\circ}\text{C}$ -დე იცვლება, ხოლო ივლისის საშუალო ტემპერატურა $+22^{\circ}\text{C}$ -დან $+28^{\circ}\text{C}$ -ის ფარგლებშია.

პარამეტრები მოცემულია ცხრილებში.

პარამეტრები - ცხრილი 2.1

თვეები													კლიმატური კატეგორია
I	II	III	IV	V	VI	VII	VIII	IX	X	XI	XII		
5.0	5.7	8.6	12.9	17.8	20.9	23.0	23.4	20.2	16.1	11.2	7.1	14.3	III

პარამეტრები - ცხრილი 2.2

კლიმატური კატეგორია	მდებარეობის მასშტაბი	მდებარეობის მასშტაბი	მდებარეობის მასშტაბი	საშუალო ტემპერატურა 13 საათზე		კლიმატური კატეგორია	
				მდებარეობის მასშტაბი	მდებარეობის მასშტაბი		
-18	41	28.6	-3	-6	4.7	7.4	27.2

პაგრის ფარდობითი ტენიანობა - ცხრილი 2.3

თვეები												წლის საშუალო
I	II	III	IV	V	VI	VII	VIII	IX	X	XI	XII	
72	71	71	70	72	76	80	80	79	76	70	69	74

- ატმოსფერული ნალექების რაოდენობა წელიწადში შეადგენს – 1793მმ;
- ნალექების დღედამური მაქსიმუმი – 134მმ;
- თოვლის საფარის წონა – 0.50კპა;
- თოვლის საფარის დღეთა რიცხვი – 18;

ქარის წნევის ნორმატიული მნიშვნელობა w_0 5 წელიწადში ერთხელ 0.60კპა;

ქარის წნევის ნორმატიული მნიშვნელობა w_0 15 წელიწადში ერთხელ 0.85კპა;

1 წელიწადში ერთხელ მოსალოდნელია ქარი, სიჩქარით 25 მ/წმ;

5 წელიწადში ერთხელ მოსალოდნელია ქარი, სიჩქარით 31 მ/წმ;

10 წელიწადში ერთხელ მოსალოდნელია ქარი, სიჩქარით 34 მ/წმ;

15 წელიწადში ერთხელ მოსალოდნელია ქარი, სიჩქარით 36 მ/წმ;

20 წელიწადში ერთხელ მოსალოდნელია ქარი, სიჩქარით 37 მ/წმ;

ქარის მახასიათებლები - ცხრილი 2.4

ქარის მიმართულების განმეორადობა (%) იანვარი, ივლისი								ქარის საშუალო უდიდესი და უმცირესი სიჩქარე, მ/წმ	
ჩ	ჩა	ა	სა	ს	სდ	დ	ჩდ	იანვარი	ივლისი
1/2	12/3	51/12	9/3	2/4	10/40	13/33	2/3	4.9/0.9	2.9/0.7

ქარის მახასიათებლები - ცხრილი 2.5

ქარის მიმართულების და შტილის განმეორადობა (%) შტილი								
ჩ	ჩა	ა	სა	ს	სკ	ლ	ჩდ	აგილი

ჩ	ჩა	ა	სა	ს	სკ	ლ	ჩდ	აგილი
1	8	35	8	2	23	21	2	41

გრუნტების სეზონური გაყინვის ნორმატიული სიღრმე:

თიხოვანი და თიხნარი - 0 სმ;

წვრილი და მტვრისებრი ქვიშის ქვიშნარი - 0;

მსხვილი და საშ. სიმსხვილის ხრეშისებური ქვიშის - 0;

მსხვილნატეხოვანის - 0.

3. გეომორფოლოგიური პირობები და გეოლოგიური აგვაზლება

ადმინისტრაციულად შესწავლილი რაიონი მდებარეობს კოლხეთის დაბლობის ჩრდილო-აღმოსავლეთით, ხონის რაიონში, რაიონული ცენტრის ხონის სამხრეთ პერიფერიაზე, წყალტუბო ხონის საგრძომობილო გზის მე-13 კილომეტრზე, მდინარე კუხას გადაკვეთაზე, ეგრისის ქედის სამხრეთ კალთებზე.

შესწავლილი ტერიტორია გეომორფოლოგიურად მიეკუთვნება ამიერკავკასიის მთათაშუეთში კოლხეთის დაბლობის ჩრდილოეთი ნაწილის ბორცვიან რელიეფს.

გეოლოგიური აგებულების მიხედვით უბანი აგებულია მეოთხეული ასაკის ალუვიურ-დელუვიური ნალექებით, რომლებიც წარმოდგენილია რიყნარით, ლოდნარით, ხრეშით, ქვიშებით, კონგლომერატებით, თიხებით და თიხნარებით.

ტექტონიკური დარაიონების სქემის მიხედვით (გ. გამყრელიძე 2000წ) უბანი შედის ამიერკავკასიის მთათაშუეთის ზონაში, ოკრიბა ხრეითის ქვეზონაში.

საქართველოს სეისმური საშიშროების რუკის მიხედვით, საკვლევი ტერიტორია ხონი №1460, განლაგებულია 8 ბალიან სეისმურ ზონაში (MSK64-სკალა), სეისმურობის უგანზომილებო კოეფიციენტი $A=0.15$. (სამშენებლო ნორმები და წესები - „სეისმომედეგი მშენებლობა“ - ვნ 01.01-09).

4. ქანების საინჟინრო-გეოლოგიური დახასიათება

საკვლევი მოედნის საინჟინრო-გეოლოგიური დახასიათება ეყრდნობა სამშენებლო მოედანზე გაბურღლული 2 ჭაბურღლილის (ნახაზი 1) ლითოლოგიურ აღწერას (ნახაზი 2) და ჭაბურღლილებიდან აღებული გრუნტის ნიმუშების ლაბორატორიული კვლევების მონაცემებს.

მდინარე კუხას ჭალაში ჭაბურღლილები გაიბურღლა მდინარის ორივე ნაპირზე ჭაბ. №BH-KU1 სიღრმით 15მ გაიბურღლა მდინარის მარჯვენა ნაპირზე, ხოლო ჭაბ. №BH-KU2 სიღრმით 16მ - მდინარის მარცხენა ნაპირზე.

როგორც ჭაბურღლილების ჭრილებიდან ჩანს, ზედაპირიდან 3.5-3.6მ სიღრმემდე სამშენებლო მოედანი აგებულია დელუვიური გენეზისის ძნელპლასტიკური თიხებით, 10-15%-დე ქვიშის ლინზებით და ხრეშის ჩანართებით. 3.5-3.6მ სიღრმიდან დაძიებულ 15.0-16.0მ სიღრმემდე ჭრილი აგებულია ალუვიური გენეზისის კენჭნაროვანი გრუნტით (10მ-ზე მსხვილი ფრაქცია 50%-ზე მეტი), 10-30სმ სიმძლავრის ქვიშის და თიხნარის ლინზებით და შუაშრებებით.

1.3-1.5მ სიღრმიდან გრუნტები წყალგაჯერებულია.

ჭაბურღლილებში ჩატარებულია სტანდარტული პენეტრაციის ცდები (SPT), ცდის შედეგები მოცემულია ჭაბურღლილების ჭრილებზე (ნახაზი 2) და ცხრილში 4.1.

ხელსაწყოს ნახაზი მისი პარამეტრების ჩვენებით მოცემულია ნახაზზე 4. როგორც ცხრილიდან ჩანს სამშენებლო მოედნის ამგები ქანებისათვის SPT-ს B+C მაჩვენებელი (დარტყმათა რიცხვი) N ტოლია: თიხებისათვის N=14.5 ელემენტი მიეკუთვნება ძნელპლასტიკური კონსისტენციის თიხას. კენჭოვანი გრუნტის შემთხვევაში N=B+C 66.3-ის ტოლია, კენჭნაროვანი გრუნტები მიეკუთვნებიანა მკვრივი გრუნტების ჯგუფს.

ცხრილი 4.1

ჭაბ. №	ინტერვალი, მ	სგვ №	A	B	C	B+C
1	1.0-1.45	1	4	6	7	13
1	3.0-3.45	1	6	8	10	18
2	1.6-2.05	1	4	5	7	12
2	2.8-3.25	1	6	7	8	15
საშუალო						14.5
1	4.4-4.85	2	27	24	23	
1	12.0-12.45	2	31	32	33	65
2	4.2-4.65	2	16	22	26	48
2	10.0-10.45	2	34	35	51	86
საშუალო						66.3

ჭაბურღილებიდან ამოღებული გრუნტის ნიმუშები გამოკვლეულია ლაბორატორიაში, შესწავლილია გრუნტების შემავსებლის (2მმ-ზე ნაკლები ფრაქცია) გრანულომეტრიული ანალიზი, ფიზიკური თვისებები, მექანიკური მაჩვენებლები თიხოვანი გრუნტებისათვის, ასევე გამოკვლეულია გრუნტების და გრუნტის წყლის ქიმიური შემადგენლობა.

საგელე და ლაბორატორიული კვლევის ანალიზიდან გამომდინარე სამშენებლო მოქადანზე გამოყოფილია 2 საინჟინრო-გეოლოგიური ელემენტი.

სგვ 1 თიხა მოყავისფრო-ნაცრისფერი, ძნელპლასტიკური, კარბონატული, 10-15%-დე
ქვიშის ალინზების და ხრეშის ჩანართებით

სგვ 2 კენჭნაროვანი გრუნტი, თიხნარის შემავსებელით, წყალგაჯერებული, 10-30 სმ სისქის ქვიშის და თიხნარის შუაშრეებით და ლინზებით.

ლაბორატორიული კვლევის შედეგები მოცემულია დანართში 1.

გამოვლენილი ელემენტისათვის შესწავლილია ფიზიკური მაჩვენებლები (სგე 2 გრუნტებისათვის ფიზიკური მაჩვენებლები შესწავლილია კენჭნარის შემავსებლისათვის), ხოლო თიხა თიხნარებისათვის შესწავლილია გრუნტების დეფორმაციის მოდული და ძვრის მაჩვენებლები შინაგანი ხახუნის კუთხე და შეჭიდულობა. კუმშვადობის მიხედვით თიხები მიეკუთვნებიან კუმშვადი გრუნტების ჯაფს ($E_0=13159$ კპა). სგე 2 კენჭნაროვანი გრუნტებისათვის შესწავლილია მათი შემავსებლის გრანულომეტრიული შემადგენლობა, საიდანაც დასტურდება, რომ შემავსებელი წარმოადგენს თიხნარს.

ქიმიური ანალიზების შედეგები მოცემულია გრუნტებისათვის დანართი 5, გრუნტის წყლისათვის დანართი 7. გრუნტების აგრესიულობა მოცემულია დანართში 6, გრუნტის წყლის და გარემოს აგრესიულობა მოცემულია დანართში 8.

ქიმიური შემადგენლობის მიხედვით, თიხა სგვ 1 და კენჭოვანი გრუნტები სგვ
2 არ არიან დამარილიანებული და არ ამჟღავნებენ არანაირ აგრესიულობას
ბეჭონების მიმართ (დანართი 6).

შესწავლილ უბანზე გრუნტის წყლების გამოსავლები დაფიქსირებულია ორივე ჭაბურღლილში (ნახაზი 2) 2.8-3.1მ სიღრმეზე. დამყარებული დონეები 1.3-1.5მ სიღრმეზე (2014 წლის 16-17 იანვარი).

ქიმიური შედგენილობის მიხედვით გრუნტის წყლის დამარილიანების ტიპი ჰიდროკარბონატულ-სულფატურ კალციუმიან-მაგნიუმიანია, წყალი სუსტად დამარილიანებული (მინერალიზაცია 0.712გრ/ლ), იგი სუსტად აგრესიულია მხოლოდ წყალბადიონის მაჩვენებლით W4 მარკის ბეტონების მიმართ.

გარემოს აგრძელებული ზემოქმედების ხარისხი მეტადის კონსტრუქციებზე მათი პერიოდულად დასველების დროს არის სუსტი, ხოლო ქანების აგრძელები ზემოქმედების ხარისხი ნახშირბადიან ფოლადზე გრუნტის წყლის დონის დაბლა იმ ქანებისათვის რომელთა ფილტრაციის კოეფიციენტი $>0.1\text{d}/\text{დღე-დამე}$ არის საშუალო (დანართი 8).

საკვლევი უბნის ფარგლებში საშიში გეოლოგიური მოვლენებიდან და პროცესები მოსალოდნელი არ არის.

შესწავლილ უბანზე, სამშენებლო მოედნის ლითოლოგიური აგებულების უკეთესად წარმოდგენის და აღქმისათავის გაბურდულ ჭაბურლილებზე დაყრდნობით აგებულია ლითოლოგიური ჭრილი. ჭრილი I-I'. როგორც ჭრილიდან ჩანს (ნახაზი 3) სამშენებლო მოედნის აგებულებაში ძირითადად მონაწილეობენ, ზედაპირიდან 0.3-0.4მ სიმძლავრის ნიადაგის ფენის ქვეშ 3.1-3.3მ სიმძლავრის თიხებით გადაფარული კენჭნაროვანი გრუნტები.

5. დასპპნა

1. საველე და ლაბორატორიული კვლევის შედეგებზე დაყრდნობით სამშენებლო მოედანზე გამოყოფილია 2 საინჟინრო-გეოლოგიური კლემენტი;
2. სგე 1 თიხა მოყავისფრო-ნაცრისფერი, ძნელპლასტიკური, კარბონატული, 10-15%-დე ქვიშის ალინზების და ხრეშის ჩანართებით
სგე 2 კენჭნაროვანი გრუნტი, თიხნარის შემავსებელით, წყალგაჯერებული, 10-30 სმ სისქის ქვიშის და თიხნარის შეაშრებით და ლინზებით.
3. საკვლევი უბნის ფარგლებში საშიში გეოლოგიური მოვლენები და პროცესები არ არის მოსალოდნელი;
4. ხიდის ბურჯების დაფუძნება საჭიროა მოხდე ფუნდირებისათვის ხელსაყრელ კენჭნაროვან სგე 2 გრუნტებზე;
5. სგე 1 თიხები მათი სუსტი მექანიკური მაჩვენებლების გამო უვარგისია ფუნდირებისათვის;
6. პროექტირებისათვის საჭირო ყველა საანგარიშო მაჩვენებელი გამოყოფილი საინჟინრო გეოლოგიური კლემენტებისათვის, მიღებული ლაბორატორიული კვლევის და სახელმწიფო სტანდარტების შესაბამისად მოცემულია ტექსტის ბოლოს ცხრილში 5.1;
7. მიწისქვეშა წყლების დამყარებული დონე სამშენებლო მოედნის ფარგლებში 1.3-1.5 მ-ის ტოლია;
8. გრუნტის წყალი არ არის დამარილიანებული, იგი სუსტად აგრესიულია მხოლოდ წყალბადიონის მაჩვენებლით W4 მარკის ბეტონების მიმართ;
9. გარემოს აგრესიული ზემოქმედების ხარისხი მეტალის კონსტრუქციებზე მათი პერიოდულად დასველების დროს არის სუსტი, ხოლო ქანების აგრესიული ზემოქმედების ხარისხი ნახშირბადიან ფოლადზე გრუნტის წყლის დონის დაბლა იმ ქანებისათვის რომელთა ფილტრაციის კოეფიციენტი $>0.1\text{მ}/\text{დღე-დამე არის საშუალო};$
10. საკვლევი ტერიტორია ხონი, განლაგებულია 8 ბალიან სეისმურ ზონაში, სეისმურობის უგანზომილებო კოეფიციენტი $A=0.15$.

გრუნტების საანგარიშო მაჩვენებლების ცხრილი 5.1

მუნიციპალიტეტის გრუნტების კატეგორია დაჩვენების მიხედვით ცНиП-IV-5-85)															
გრუნტის კატეგორია სეისმურობის მიხედვით (35 01.01-91)															
1	83-III	III	1:0	1:0.25	1:0.5	1.83	2.72	28.3	20.8	0.913	0.29	სიმკერივე □ გრ/მ³			
												მინგრავური ნაწილის სიმკერივე	□ გრ/სტ		
												ბუნებრივი ტენიანობა W, %			
2	63-III	II	1:0.5	1:1	1:1	2.00	-	17.1*	12.4*	-	-0.41*	დენადობის შასტენებელი (კონსისტენცია) I _L			
												საერთო დეფორმაციის მოდული, E _θ , გვ			
												შინაგანი ხახუნის გუთხე φ^0			
წარმოქმნილი პირობითი ხაანგარიში წინააღმდეგობა (35 02.01-08) R ₀ , გვ															
1	83-III	III	1:0	1:0.25	1:0.5	1.83	2.72	28.3	20.8	0.913	0.29	13159	15.2	41	247
2	63-III	II	1:0.5	1:1	1:1	2.00	-	17.1*	12.4*	-	-0.41*	46000	43.0	19	450

*- პარამატიკული მოცემულია გრუნტების შემავსებლისათვის

ხილი გდინარე კუხაზე

№	პარამეტრის №	ნივთების ფაზი	ნივთების ფაზი	გუნდის ტიპი	გუნდის ტიპი	გუნდის ტიპი	გუნდის ტიპი	ვიზუალური თვისებები										მცნობილი თვისებები		
								აღმასრის მდგრადი განვითარება, W %	გუნდის მდგრადი განვითარება, W_L %	გუნდის მდგრადი განვითარება, W_P %	სიმავრივე, $\delta/\text{ლ}^3$	სიმავრივე, $\delta/\text{ლ}^3$	სიმავრივე, $\delta/\text{ლ}^3$	სიმავრივე, $\delta/\text{ლ}^3$	მინიმუმის რიცხვი, I_p	გუნდის მდგრადი ნაწილი, P_s	გუნდის მდგრადი ნაწილი, P_d	გუნდის მდგრადი ნაწილი, n %	სიმავრის მაქსიმუმი, e	სიმავრის მაქსიმუმი, W_{sat} %
1	2	3	4	5	6	7	8	9	10	11	12	13	14	15	16	17	18	23	24	25
სგე 1 - თიხა მოყავისფრო-ნაცრისფერი, ძნელპლასტიკური, კარბონატული, 10-15%-დე ქვიშის ლინზების და ხერმის ჩანართებით																				
1	1	1.6-1.8	1,1	გ	1	27,8	42,0	22,1	19,9	2,72	1,80	1,41	48,2	0,931	34,2	0,81	0,29	-	-	-
2	1	2.8-3.0	1,2	გ	1	28,9	44,5	22,8	21,7	2,72	1,82	1,41	48,1	0,926	34,1	0,85	0,28	13159	-	-
3	2	2.0-2.2	2,1	გ	1	27,4	43,6	21,7	21,9	2,73	1,85	1,45	46,8	0,880	32,2	0,85	0,26	-	0,41	15,2
4	2	3.3-3.5	2,2	გ	1	29,1	42,1	22,6	19,5	2,73	1,84	1,43	47,8	0,915	33,5	0,87	0,33	-	-	-
საშუალო					1	28,3	43,1	22,3	20,8	2,73	1,83	1,42	47,7	0,913	33,5	0,8	0,29	13159	0,41	15,2
სგე 2 - კენჭნაროვანი გრუნტი, თიხნარის შემავსებელით, წყალგაჯერებული, 10-30 სმ სისქის ქვიშის და თიხნარის შეაშრეებით და ლინზებით																				
5	1	4.0-4.2	1,3	ღ	2	16,2	34,2	21,9	12,3	2,69	-	-	-	-	-	-	-0,46	-	-	-
6	1	6.0-6.2	1,4	ღ	2	15,4	35,1	22,3	12,8	2,70	-	-	-	-	-	-	-0,54	-	-	-
7	1	11.0-11.2	1,5	ღ	2	18,5	33,7	22,7	11,0	2,70	-	-	-	-	-	-	-0,38	-	-	-
8	2	4.8-5.0	2,3	ღ	2	16,2	32,9	21,9	11,0	2,68	-	-	-	-	-	-	-0,52	-	-	-
9	2	8.8-9.0	2,4	ღ	2	18,3	34,4	21,3	13,1	2,69	-	-	-	-	-	-	-0,23	-	-	-
10	2	15.0-15.2	2,5	ღ	2	17,7	36,1	22,1	14,0	2,69	-	-	-	-	-	-	-0,31	-	-	-
საშუალო					2	17,1	34,4	22,0	12,4	2,69	-	-	-	-	-	-	-0,41	-	-	-

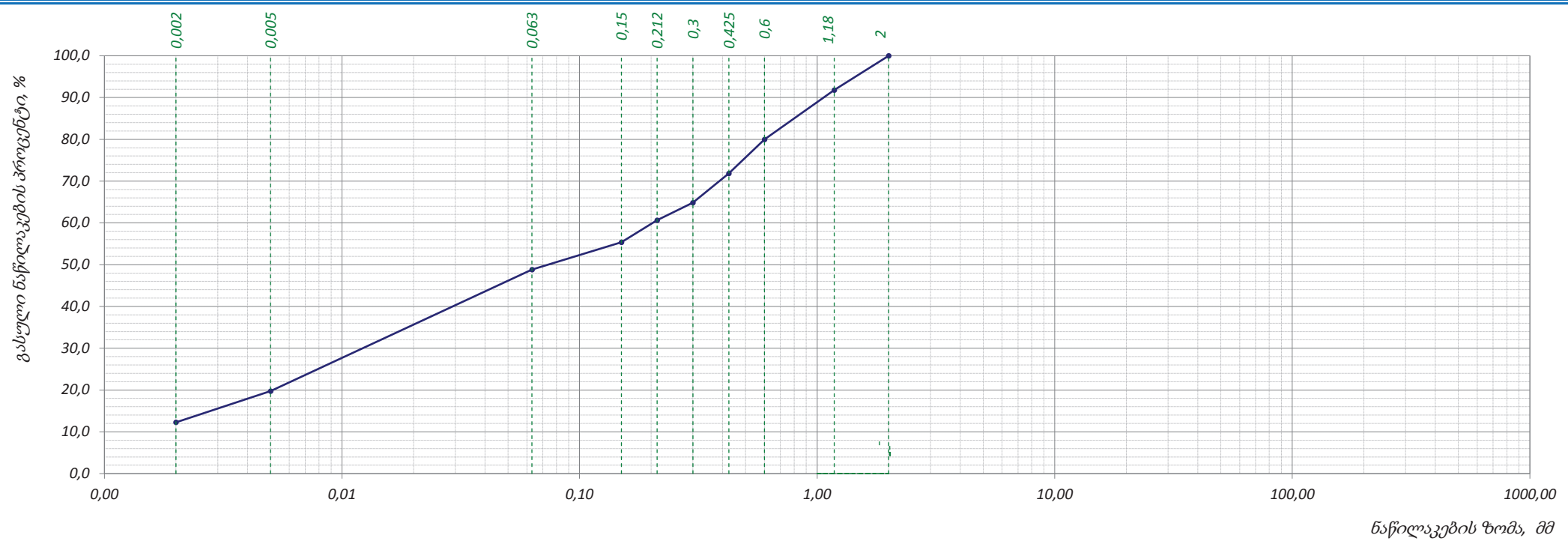
გრანულობების შემაღებელობა (საცრული)

ადგილმდებარეობა:		პროექტი	ხიდი მდ. კუხტე	
		შერვის №	1	
გრუნტის აღწერა:		ნიმუში №	1.3	
თიხნარი		სიღრმე, მ	4.0-4.2	
ტესტირების მეთოდი		თარიღი	22.01.2014	
საწყისი მშრალი წონა		400,0 გ	გარეცხვის წესი	გარეცხვით
BS ზომის საცერტი	წონა დარჩენილი, გ		საცერტი	გასული ფრაქციის ჯამური %
	რეალური	შესწორებული, მ	დარჩენილის %	
200 მმ	-	-	-	-
125 მმ	-	-	-	-
100 მმ	-	-	-	-
80 მმ	-	-	-	-
75 მმ	-	-	-	-
63 მმ	-	-	-	-
50 მმ	-	-	-	-
37,5 მმ	-	-	-	-
28 მმ	-	-	-	-
20 მმ	-	-	-	-
გასული 20 მმ m_2	-	-	-	-
სულ (შემოწმებულია m_1)	-	-	-	-
დაყოფილია m_3	-	-	-	-
დაყოფილი და გარეცხილი m_4	-	-	-	-
კორექციის კოეფიციენტი $\frac{m_2}{m_3}$	-	-	-	-
14 მმ	-	-	-	-
10 მმ	-	-	-	-
6,3 მმ	-	-	-	-
გასული 6,3 მმ m_5	-	-	-	-
სულ (შემოწმებულია m_3 ან m_4)	-	-	-	-
დაყოფილია m_6	400,00	-	-	-
დაყოფილი და გარეცხილი m_7	215,75	-	-	-
კორექციის კოეფიციენტი $\left(\frac{m_2 \times m_5}{m_3 \times m_6} \right)$	-	-	-	-
5 მმ	-	-	-	-
3,35 მმ	-	-	-	-
2 მმ	-	-	-	100,0
1,18 მმ	32,8	32,8	8,2	91,8
600 მდ	47,3	47,3	11,8	80,0
425 მდ	32,5	32,5	8,1	71,9
300 მდ	28,1	28,1	7,0	64,8
212 მდ	16,7	16,7	4,2	60,7
150 მდ	21,1	21,1	5,3	55,4
63 მდ	26,3	26,3	6,6	48,8
გასული 63 მდ მF ან/და მE	11,0	11,0	48,8 %	
სულ (შემოწმებულია m_6-m_7)	215,7	-	100,0 %	
(m_6-m_7)	184,3	184,3		
		შეასრულა მარტივიშვილი	შეამოწმა ხატიაშვილი	დაამტკიცა ნაცვლიშვილი

გრანულომეტრიული შემაღებელობა (პიდრომეტრი)

გრანულობების შემაღებელობა (გრაფიკი)

ადგილმდებარება	პროექტი	ხილი მდ. კუბზე
	შურფი №	1
გრუნტის აღწერა: თიხნარი	ნიმუში №	1.3
	სიღრმე, მ	4.0-4.2
ტესტირების მეთოდი	თარიღი	22.01.2014



საცრის ზომა, მმ	0,00	0,002	0,005	0,063	0,15	0,212	0,3	0,425	0,6	1,18	2	-	-	-	-	-	-	-	-	-	-	-	-
პროცენტი გასული, %	0,00	12,26	7,50	29,06	6,56	5,28	4,19	7,02	8,12	11,82	8,20	-	-	-	-	-	-	-	-	-	-	-	-
ჯამური პროცენტი გასული, %	0,0	12,3	19,8	48,8	55,4	60,7	64,8	71,9	80,0	91,8	100,0	-	-	-	-	-	-	-	-	-	-	-	-

												შეასრულა მარტიაშვილი			შეამოწმა ხატიაშვილი			დაამტკიცა ნაცვლიაშვილი		

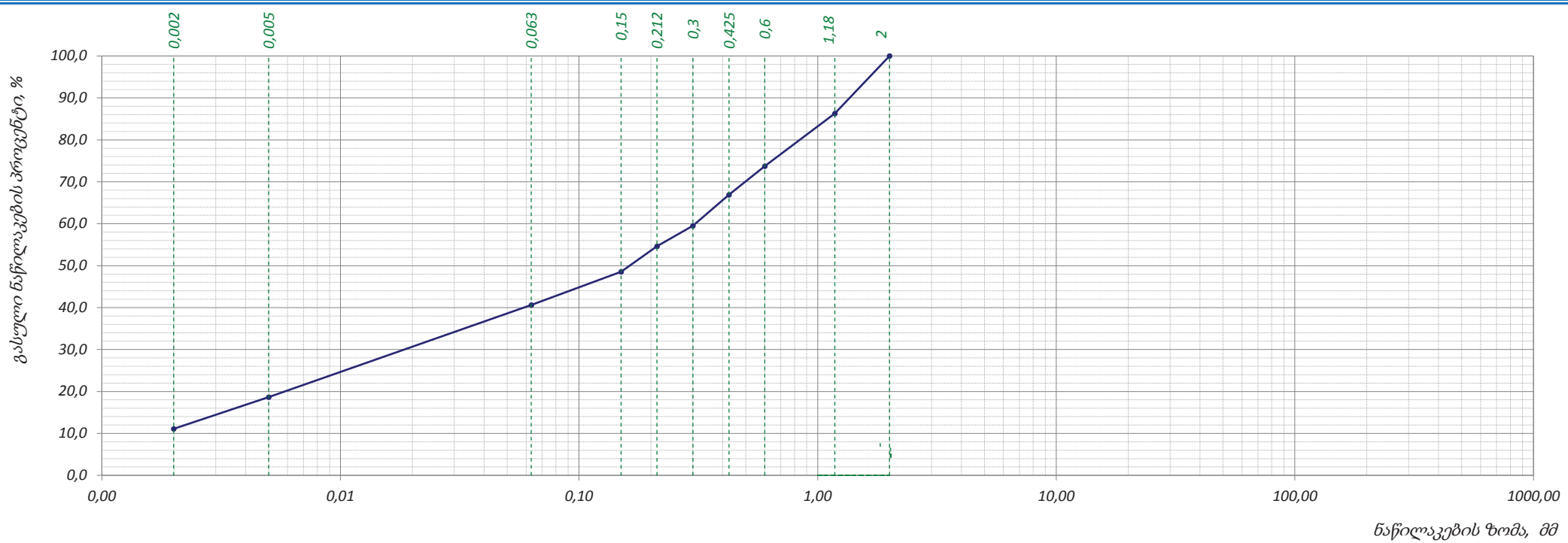
გრანულობების შემაღებელობა (საცრული)

ადგილმდებარეობა:		პროექტი	ხიდი მდ. კუხტე
გრუნტის აღწერა:		შერვი №	1
თიხნარი		ნიმუში №	1.4
ტესტირების მეთოდი	BS 1377 : Part 2 : 1990 : 9.2	სიღრმე, მ	6.0-6.2
საწყისი მშრალი წონა	400,0 გ	თარიღი	22.01.2014
		გარეცხვის წესი	გარეცხვით
BS ზომის საცერტი	წონა დარჩენილი, გ	საცერტე	გასული ფრაქციის
	რეალური	დარჩენილის %	ჯამური %
200 მმ	-	-	-
125 მმ	-	-	-
100 მმ	-	-	-
80 მმ	-	-	-
75 მმ	-	-	-
63 მმ	-	-	-
50 მმ	-	-	-
37,5 მმ	-	-	-
28 მმ	-	-	-
20 მმ	-	-	-
გასული 20 მმ m_2	-	-	-
სულ (შემოწმებულია m_1)	-	-	-
დაყოფილია m_3	-	-	-
დაყოფილი და გარეცხილი m_4	-	-	-
კორექციის კოეფიციენტი $\frac{m_2}{m_3}$	-	-	-
14 მმ	-	-	-
10 მმ	-	-	-
6,3 მმ	-	-	-
გასული 6,3 მმ m_5	-	-	-
სულ (შემოწმებულია m_3 ან m_4)	-	-	-
დაყოფილია m_6	400,00	-	-
დაყოფილი და გარეცხილი m_7	246,69	-	-
კორექციის კოეფიციენტი $\left(\frac{m_2 \times m_5}{m_3 \times m_6} \right)$	-	-	-
5 მმ	-	-	-
3,35 მმ	-	-	-
2 მმ	-	-	100,0
1,18 მმ	54,8	54,8	13,7
600 მდ	50,2	50,2	12,6
425 მდ	27,5	27,5	6,9
300 მდ	29,6	29,6	7,4
212 მდ	19,3	19,3	4,8
150 მდ	24,5	24,5	6,1
63 მდ	31,7	31,7	7,9
გასული 63 მდ მF ან/და მE	9,2	9,2	40,6 %
სულ (შემოწმებულია m_6-m_7)	246,7	-	100,0 %
(m_6-m_7)	153,3	153,3	
	შეასრულა მარტივილი	შეამოწმა ხატიაშვილი	დამტკიცა ნაცვლიშვილი

გრანულომეტრიული შემაღებელობა (პიდრომეტრი)

გრანულობების შემაღებელობა (გრაფიკი)

ადგილმდებარება	პროექტი	ხილი მდ. კუხტე
გრუნტის აღწერა:	შურფი №	1
თიხნარი	ნიმუში №	1.4
ტესტირების მეთოდი	სიღრმე, მ	6.0-6.2
BS 1377 : Part 2 : 1990 : 9.5	თარიღი	22.01.2014



საცრის ზომა, მმ	0,00	0,002	0,005	0,063	0,15	0,212	0,3	0,425	0,6	1,18	2	-	-	-	-	-	-	-	-	-	-	-	-
პროცენტი გასული, %	0,00	11,09	7,56	21,96	7,92	6,12	4,83	7,40	6,88	12,55	13,69	-	-	-	-	-	-	-	-	-	-	-	-
ჯამური პროცენტი გასული, %	0,0	11,1	18,7	40,6	48,5	54,7	59,5	66,9	73,8	86,3	100,0	-	-	-	-	-	-	-	-	-	-	-	-

												შეასრულა მარტიაშვილი			შეამოწმა ხატიაშვილი			დაამტკიცა ნაცვლიაშვილი		

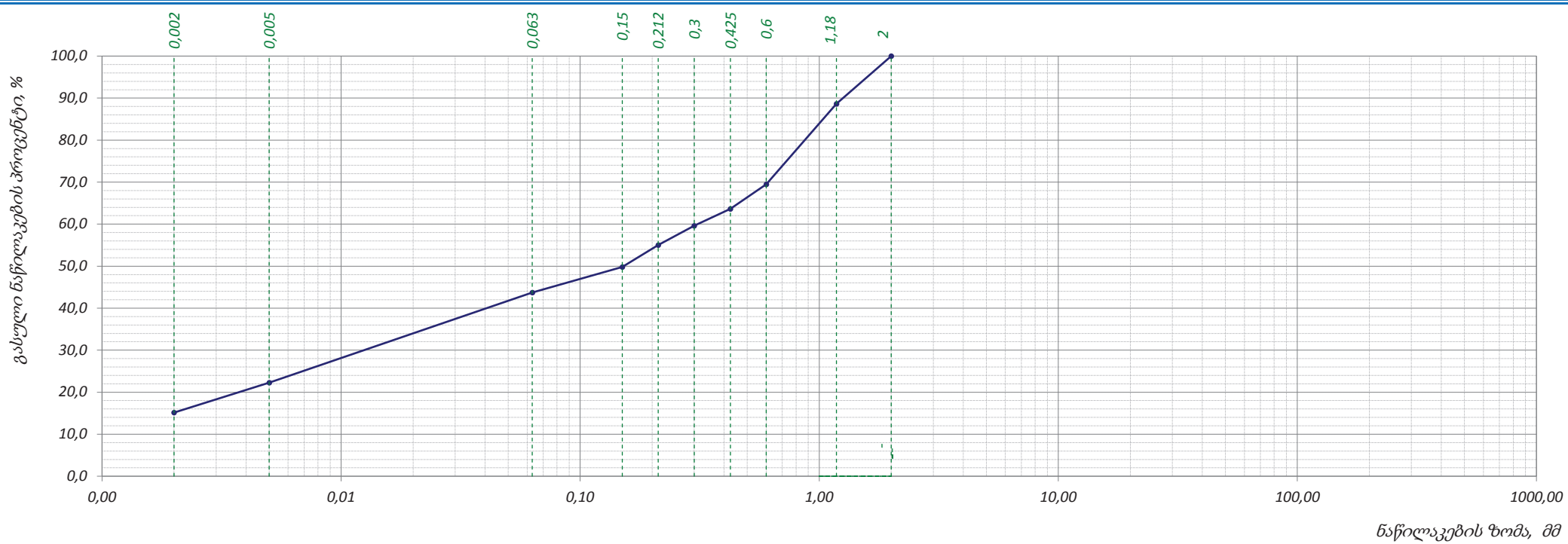
გრანულობების შემაღებელობა (საცრული)

ადგილმდებარეობა:		პროექტი	ხიდი მდ. კუხტე
გრუნტის აღწერა:		შერვი №	2
თიხნარი		ნიმუში №	2.3
ტესტირების მეთოდი	BS 1377 : Part 2 : 1990 : 9.2	სიღრმე, მ	4.8-5.0
საწყისი მშრალი წონა	400,0 გ	თარიღი	22.01.2014
		გარეცხვის წესი	გარეცხვით
BS ზომის საცერტი	წონა დარჩენილი, გ	საცერტე	გასული ფრაქციის
	რეალური	დარჩენილის %	ჯამური %
200 მმ	-	-	-
125 მმ	-	-	-
100 მმ	-	-	-
80 მმ	-	-	-
75 მმ	-	-	-
63 მმ	-	-	-
50 მმ	-	-	-
37,5 მმ	-	-	-
28 მმ	-	-	-
20 მმ	-	-	-
გასული 20 მმ m_2	-	-	-
სულ (შემოწმებულია m_1)	-	-	-
დაყოფილია m_3	-	-	-
დაყოფილი და გარეცხილი m_4	-	-	-
კორექციის კოეფიციენტი $\frac{m_2}{m_3}$	-	-	-
14 მმ	-	-	-
10 მმ	-	-	-
6,3 მმ	-	-	-
გასული 6,3 მმ m_5	-	-	-
სულ (შემოწმებულია m_3 ან m_4)	-	-	-
დაყოფილია m_6	400,00	-	-
დაყოფილი და გარეცხილი m_7	234,88	-	-
კორექციის კოეფიციენტი $\left(\frac{m_2 \times m_5}{m_3 \times m_6} \right)$	-	-	-
5 მმ	-	-	-
3,35 მმ	-	-	-
2 მმ	-	-	100,0
1,18 მმ	45,5	45,5	11,4
600 მდ	76,4	76,4	19,1
425 მდ	23,4	23,4	5,9
300 მდ	16,2	16,2	4,1
212 მდ	18,3	18,3	4,6
150 მდ	20,9	20,9	5,2
63 მდ	24,2	24,2	6,0
გასული 63 მდ მF ან/და მE	9,9	9,9	43,7 %
სულ (შემოწმებულია m_6-m_7)	234,9	-	100,0 %
(m_6-m_7)	165,1	165,1	
		შეასრულა მარტივილი	შეამოწმა ხატიაშვილი
			დაამტკიცა ნაცვლიშვილი

გრანულომეტრიული შემაღებელობა (პიდრომეტრი)

გრანულობების შემაღებელობა (გრაფიკი)

ადგილმდებარება		პროექტი	ხილი მდ. კუხზე
გრუნტის აღწერა:		შურფი №	2
თიხნარი		ნიმუში №	2.3
ტესტირების მეთოდი	BS 1377 : Part 2 : 1990 : 9.5	სიღრმე, მ	4.8-5.0
		თარიღი	22.01.2014



საცრის ზომა, მმ	0,00	0,002	0,005	0,063	0,15	0,212	0,3	0,425	0,6	1,18	2	-	-	-	-	-	-	-	-	-	-	-	-	-
პროცენტი გასული, %	0,00	15,15	7,13	21,47	6,04	5,23	4,58	4,05	5,86	19,11	11,38	-	-	-	-	-	-	-	-	-	-	-	-	
ჯამური პროცენტი გასული, %	0,0	15,1	22,3	43,7	49,8	55,0	59,6	63,7	69,5	88,6	100,0	-	-	-	-	-	-	-	-	-	-	-	-	

შეასრულა
მარტიაშვილი

შეამოწმა
ხატიაშვილი

დამტკიცა
ნაცვლიშვილი

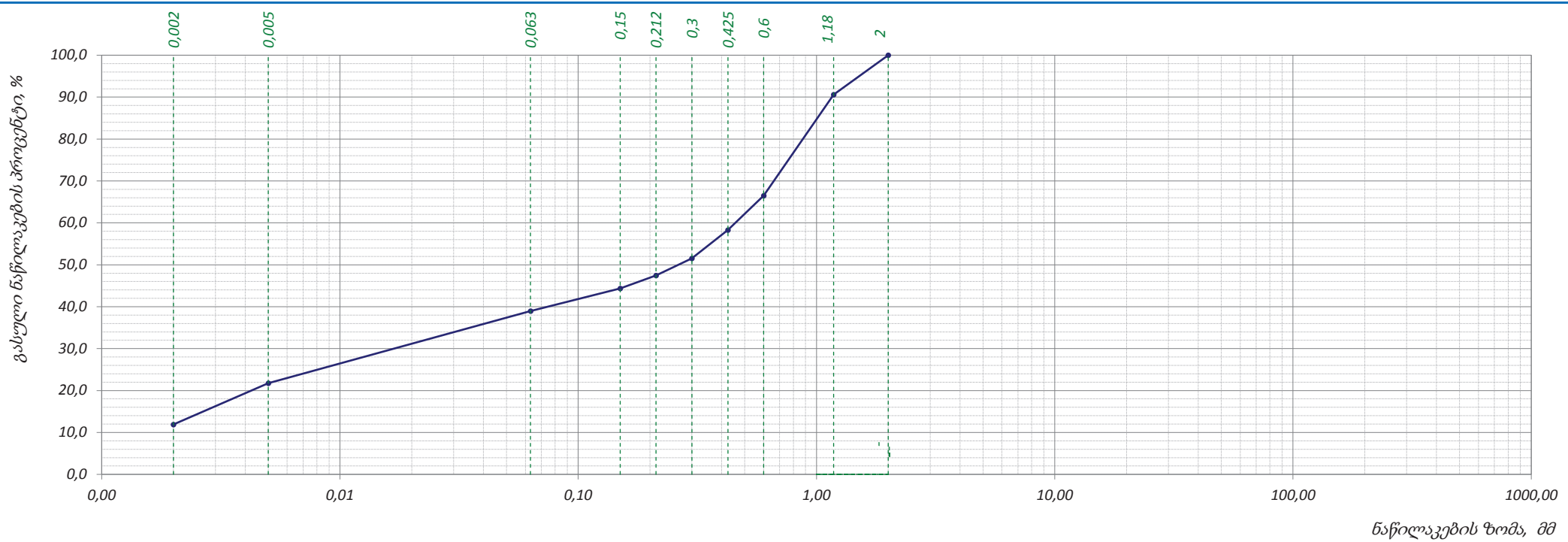
გრანულობების შემაღებელობა (საცრული)

ადგილმდებარეობა:		პროექტი	ხიდი მდ. კუხტე	
გრუნტის აღწერა:		შერვი №	2	
თიხნარი		ნიმუში №	2.5	
ტესტირების მეთოდი		სიღრმე, მ	15.0-15.2	
ტესტირების დროი		თარიღი	22.01.2014	
საწყისი მშრალი წონა		400,0 გ	გარეცხვის წესი	გარეცხვით
BS ზომის საცერტი	წონა დარჩენილი, გ		საცერტი	გასული ფრაქციის ჯამური %
	რეალური	შესწორებული, მ		
200 მმ	-	-	-	-
125 მმ	-	-	-	-
100 მმ	-	-	-	-
80 მმ	-	-	-	-
75 მმ	-	-	-	-
63 მმ	-	-	-	-
50 მმ	-	-	-	-
37,5 მმ	-	-	-	-
28 მმ	-	-	-	-
20 მმ	-	-	-	-
გასული 20 მმ m_2	-	-	-	-
სულ (შემოწმებულია m_1)	-	-	-	-
დაყოფილია m_3	-	-	-	-
დაყოფილი და გარეცხილი m_4	-	-	-	-
კორექციის კოეფიციენტი $\frac{m_2}{m_3}$	-	-	-	-
14 მმ	-	-	-	-
10 მმ	-	-	-	-
6,3 მმ	-	-	-	-
გასული 6,3 მმ m_5	-	-	-	-
სულ (შემოწმებულია m_3 ან m_4)	-	-	-	-
დაყოფილია m_6	400,00	-	-	-
დაყოფილი და გარეცხილი m_7	253,01	-	-	-
კორექციის კოეფიციენტი $\left(\frac{m_2 \times m_5}{m_3 \times m_6} \right)$	-	-	-	-
5 მმ	-	-	-	-
3,35 მმ	-	-	-	-
2 მმ	-	-	-	100,0
1,18 მმ	37,7	37,7	9,4	90,6
600 მდ	96,3	96,3	24,1	66,5
425 მდ	32,8	32,8	8,2	58,3
300 მდ	27,2	27,2	6,8	51,5
212 მდ	16,3	16,3	4,1	47,4
150 მდ	12,5	12,5	3,1	44,3
63 მდ	21,5	21,5	5,4	38,9
გასული 63 მდ ან/და m_E	8,8	8,8	38,9 %	
სულ (შემოწმებულია m_6-m_7)	253,0	-	100,0 %	
(m_6-m_7)	147,0	147,0		
		შეასრულა მარტივიშვილი	შეამოწმა ხატიაშვილი	დაამტკიცა ნაცვლიშვილი

გრანულომეტრიული შემადგენლობა (ჰიდრომეტრი)

გრანულობების შემაღებელობა (გრაფიკი)

ადგილმდებარება		პროექტი	ხილი მდ. კუხტე
გრუნტის აღწერა:		შურფი №	2
თიხნარი		ნიმუში №	2.5
ტესტირების მეთოდი	BS 1377 : Part 2 : 1990 : 9.5	სიღრმე, მ	15.0-15.2
		თარიღი	22.01.2014



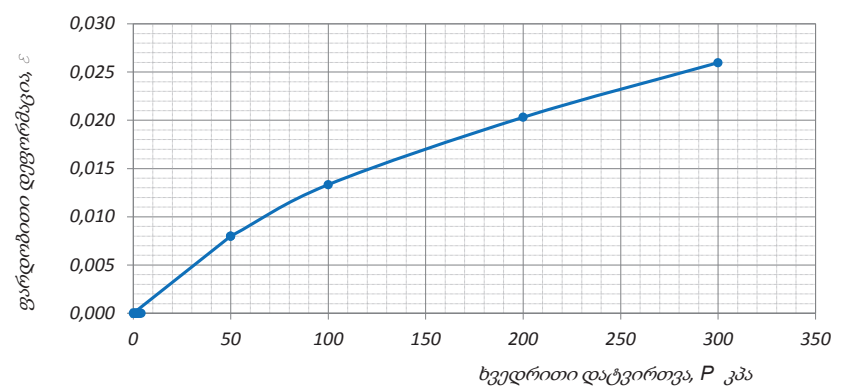
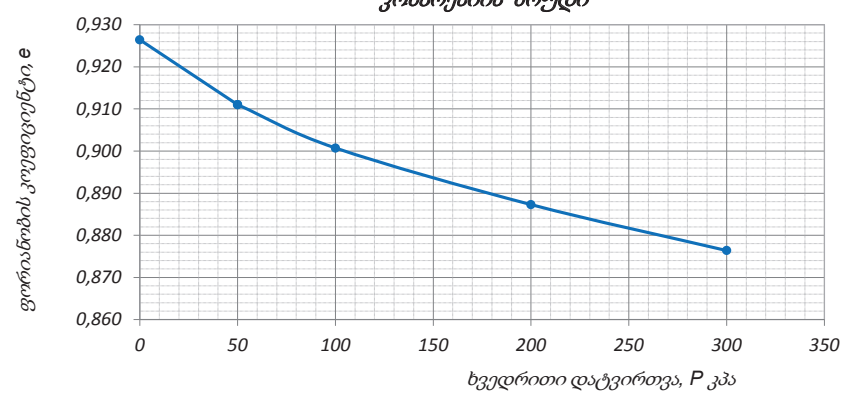
საცრის ზომა, მმ	0,00	0,002	0,005	0,063	0,15	0,212	0,3	0,425	0,6	1,18	2	-	-	-	-	-	-	-	-	-	-	-	-
პროცენტი გასული, %	0,00	11,91	9,87	17,16	5,39	3,11	4,07	6,79	8,20	24,06	9,43	-	-	-	-	-	-	-	-	-	-	-	-
ჯამური პროცენტი გასული, %	0,0	11,9	21,8	38,9	44,3	47,4	51,5	58,3	66,5	90,6	100,0	-	-	-	-	-	-	-	-	-	-	-	-

შეასრულა მარტიაშვილი	შეამოწმა ხატიაშვილი	დაამტკიცა ნაცვლიაშვილი
-------------------------	------------------------	---------------------------

გრანულობების შემადგენლობა															
საცერტიფიკირების ზომები მმ-ში															
<i>N_{eff}</i>	<i>f_{ab}. N_e</i>	<i>ნიმუშის ნოტერი</i>		<i>სიღრმეები</i>											
1	3	4	7	8	9	10	11	12	13	14	15	16			
1	1	1,3	4.0-4.2	12,3	7,5	29,1	6,6	5,3	4,2	7,0	8,1	11,8			
				12,3	19,8	48,8	55,4	60,7	64,8	71,9	80,0	91,8			

ქანების კომპრესიული გამოცდის შედეგები

პროექტი:		ნიდი მდინარე კუხუ		ადგილმდებარეობა:		გრანულომეტრიული შედეგები			გრუნტების ფიზიკური მაჩვენებლები ბუნებრივ მდგომარეობაში			
ჭაბურღილი #	1	ქანის აღწერა: თიხა მოყვისებრი-ნაცრისფერი, ძნელდასტიკური, კარბონატული, 10-15% ხრების ჩანართებით						ხრები	>2.0	-	ბუნებრივი ტენანტა, W %	28,9
ნიმუშის #	1.2							კვიშა	0.05-2.0	-	მინერალური ნაწ. სიმკვრივე, ρ_s g/cm^3	2,72
სიღრმე, მ	2.8-3.0							მტვერი	0.005-0.05	-	სიმკვრივე, ρ g/cm^3	1,82
თარიღი	22.01.2014	ცდის მეთოდი			გრუნტების ფიზიკური მაჩვენებლები			თიხა	<0.005	-	ჩონჩხის სიმკვრივე, ρ_d g/cm^3	1,41
გრუნტების ფიზიკური მაჩვენებლები				ნეოლიტი № 1			ჯდენდობა და გაჯირჯვება			პლასტიკურობის ზედა ზღვარი, W_L %		
რგოლის სიმაღლე, H მმ		ცდამდე		ცდის შედეგი		20,0		დაჯ. ასწყისი დაწევა, P_s კპ	-	პლასტიკურობის ქვედა ზღვარი, W_p %		
რგოლის დიამეტრი, D მმ		75,0				თავისუფალი გაჯირჯვება, δ %		მდასტიკურობის რიცხვი, I_p	-	პლასტიკურობის რიცხვი, I_p		
რგოლის წონა, Q გრ		107,1				გაჯირჯვების წნევა, P_{sw} კპ		წარმატების სარისხი, S_r	-	წარმატების სარისხი, S_r		
წონა რგოლი + გრუნტი, Q_1 გრ		273,92		273,92				კომპრესიის მრუდი				
წონა რგოლი + მშრალი გრუნტი, Q_2 გრ		231,86		231,86								
ტენიანობა, W %		33,72		33,72								
სიმკვრივე, ρ g/cm^3		1,89		1,94								
ჩონჩხის სიმკვრივე, ρ_d g/cm^3		1,41		1,45								
ფორიანობა, n %		48,09		46,71				კომპრესიის მრუდი				
ფორიანობის კოეფიციენტი, e		0,926		0,876								
წარმატების სარისხი, S_r		0,99		1,00								
კონსისტენციის მაჩვენებელი, I_L		0,50		0,50								
კომპრესიული გამოცდის შედეგები												
აულანგებს #	რეკორდი #	ხელირითი დატვირთვა, P კპ	აბს. დაზღვირება, Δh მმ	შესწორ. ლიმ. უფროსი დაზღვირება, H მმ	განვითარებული დაზღვირება, E	განვითარებული კონსისტენცია, e	ჩარჩონის მაღალი დაზღვირება, r_d კმ	β	დაზღვირებული ლაბ. მდგრადი, $E_{0,33}$	m_k	დაზღვირებული მიღღული, $E_{0,33}$	m_k მიღღული
1	1	0,0	0,000	0,000	0,926	1,41	-	-	-	2,00	13159	
		50,0	0,160	0,160	0,911	1,42	0,0003	6250	2869	0,46	13159	
		100,0	0,267	0,267	0,901	1,43	0,0002	9376	4304			
		200,0	0,406	0,406	0,887	1,44	0,0001	14332	6580			
		300,0	0,519	0,519	0,876	1,45	0,0001	17654	8105			
შენიშვნა:		გამოცდის პირობები:			რგოლი № 1 - წარმატების სარისხის განვითარებული დაზღვირება			შესარულა თედლიამზილი			შესარულა თედლიამზილი	
გამოცდის პირობები:								შესამოწმა მარტივილი			შესამოწმა მარტივილი	



გრუნტების ძვრაზე გამოცდის ლაპორატორიული შედეგები

ମରୁନ୍ତିଲେ ପାଇଁ ପାଇଁ କାହାର କାହାର କାହାର କାହାର

#	გრუნტის აღწერა	ნიმუშის აღმოჩენის ნიღრძები	განზომილება	წყლის გამონაწერი 100 გ მშრალი გრუნტისათვის								pH	კარბონატები, %		
				ანიონები				კათიონები					CaCO ₃	CO ₂	
1	2	3	5	6	7	8	9	10	11	12	13	14	15	16	17
1	თიხა მოყავისფრთ-ნაცრისფერი, ძელადასტიური, კარბონატული, 10-15%-დენ ქვიშის ალინზების და ხერგშის ჩანართებით	1	2.8-3.0	% მგ-ჯეზ % მგ-ჯეზ	0,051	-	0,037	0,000	0,014	0,006	0,002	0,009	7,90	1,38	0,61
							0,60	0,00	0,29	0,30	0,20	0,39			
							67,28	0,03	32,69	33,58	22,14	44,28			
2	კენჭნაროვანი გრუნტი, თიხნარის შემავსებელით, წყალგაჯერებული, 10-30 ხტ სისქის ქვიშის და თიხნარის შეაშრებით და ლინზებით	1	4.0-4.2	% მგ-ჯეზ % მგ-ჯეზ	0,061	-	0,043	0,000	0,017	0,006	0,002	0,013	8,30	0,70	0,31
							0,70	0,00	0,36	0,30	0,20	0,56			
							66,00	0,03	33,97	28,24	18,61	53,15			

ქანების აბრესიულობის ხარისხი

№	გრუნტის აღწერა	გამონამუშავრის #	ნიშვნის აღების სიღრმე, მ	აგრესიულობის ხარისხი ბეტონებისადმი СНиП 2.03.11-85 (თაbl. 4)			
				სულფატები			
1	თიხა მოყავისფრთ-ნაცრისფერი, მნელაბლასტიკური, ჯარბონატული, 10-15%-დე ქვიშის აღინზების და ხრეშის ჩანართებით	1	2.8-3.0	W4	არა	არა	არა
				W6	არა	არა	არა
				W8	არა	არა	არა
2	კენჭნაროვანი გრუნტი, თიხნარის შემავსებელით, წყალგაჯერებული, 10-30 სმ სისქის ქვიშის და თიხნარის შეაშევებით და ლინზებით	1	4.0-4.2	W4	არა	არა	არა
				W6	არა	არა	არა
				W8	არა	არა	არა

ქლორიდები,
პორტლანდცემენტისათვის,
შლაფროპორტლანდცემენტისათვის
სეიC 10178-76 და
სულფატდღრადი
ცემენტი
ГОСТ 22266-76

არა

არა

გრანიტის მყლის მიზური შედგენილობის ლაგორატორიული კვლევის შედეგები

№	გამონაზღუდების №	განხორციელებას	შემცველობა 1 ლიტრში								PH	
			ანიონები				ასთონიები					
			გრალი ნაკვი	CO_3^{--}	HCO_3^{--}	Cl^-	SO_4^{--}	Ca^{++}	Mg^{++}	$Na^+ + K^+$		
1	2	3	4	5	6	7	8	9	10	11	12	
1	2	ძვ-ლ ძვ-ჯჯ % ძვ-ჯჯ	711,90	-	341,60 5,60 45,40	21,30 0,60 4,87	294,60 6,13 49,73	160,30 8,00 64,86	38,90 3,20 25,94	26,00 1,13 9,20	7,30	

ՄԱԼՈՅ ԱՑՐԱՆՈՒՅԹՈՅՑՈՅ ԿԱՐՈՒՏԵՇ ՃԵԳՄԵՅՈՅ ԹՈՑԱՐՈՅ

გარემოს აგრძიული ზეგოვედების ხარისხი მეტალის კონსტრუქციების

რიგი რიგი რიგი	გამონაშეუტევრის №	ნიშანების აღრენის ხილობრივი მდგრადი მაჩვენებელი	წყლის აგრენიული ზემოქმედების ხარისხი რენა- ბერის არმატურაზე		
1	2	3,2	<table border="1" data-bbox="544 1363 753 1432"> <tr> <td data-bbox="544 1363 645 1432">მუდმივი წელი</td><td data-bbox="645 1363 753 1432">კერძო წელი</td></tr> </table> <p>ქანების აგრენიული ზემოქმედების ხარისხი რენა-ბერის არმატურაზე</p>	მუდმივი წელი	კერძო წელი
მუდმივი წელი	კერძო წელი				

ფოტომასალა



Photo 1. BH #1



Photo 2. BH #1



Photo 3. BH #1
0.0-10.0



Photo 4. BH #1
10.0-15.0



Photo 5. BH #2



Photo 6. BH #2



Photo 1. BH #2
0.0-10.0



Photo 2. BH #2
10.0-16.0

ჭაბურღილების განლაგების გეგმა



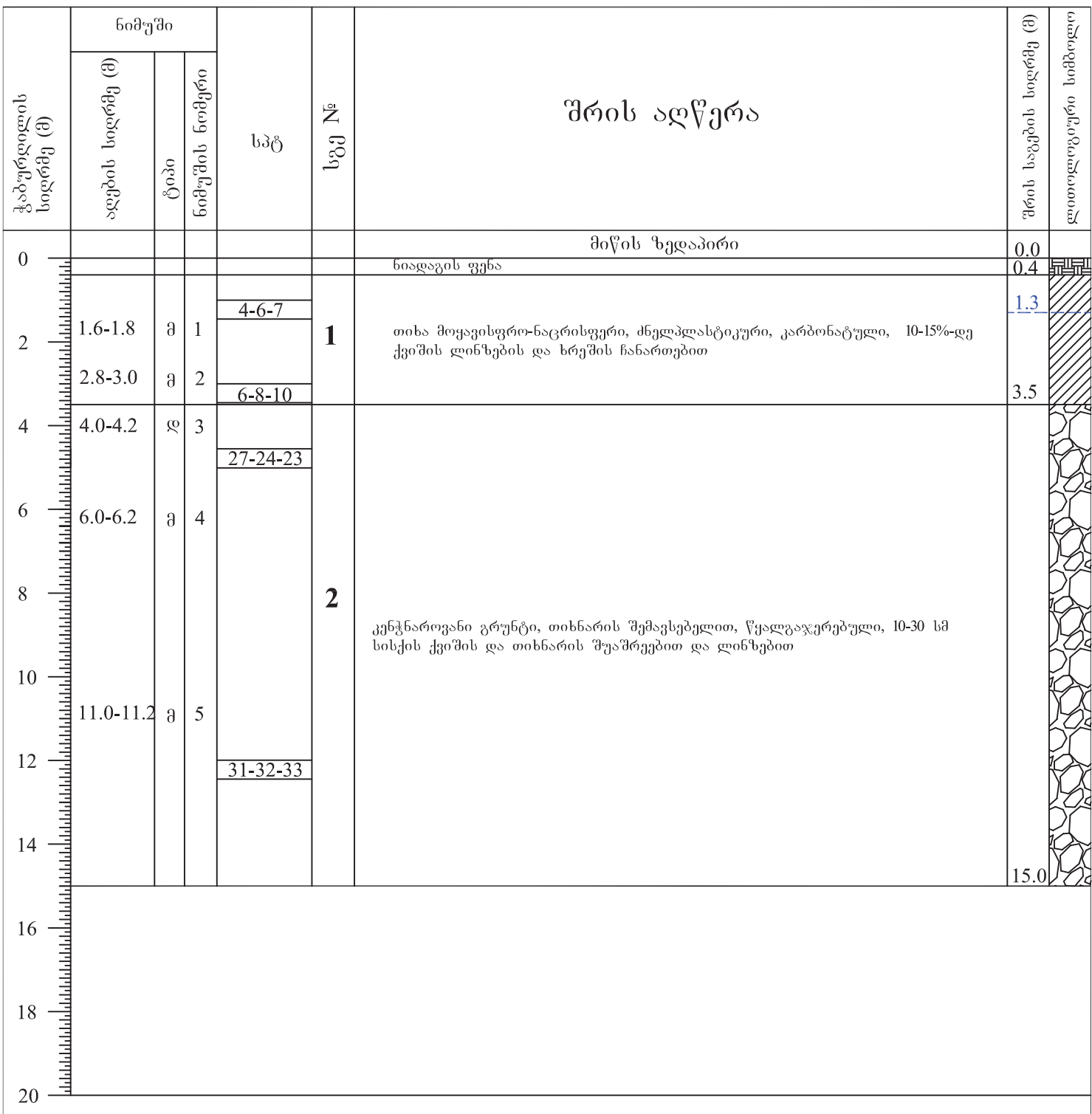
● ვაძ. #BH-KU1

ვაძეები

■ ვაძე

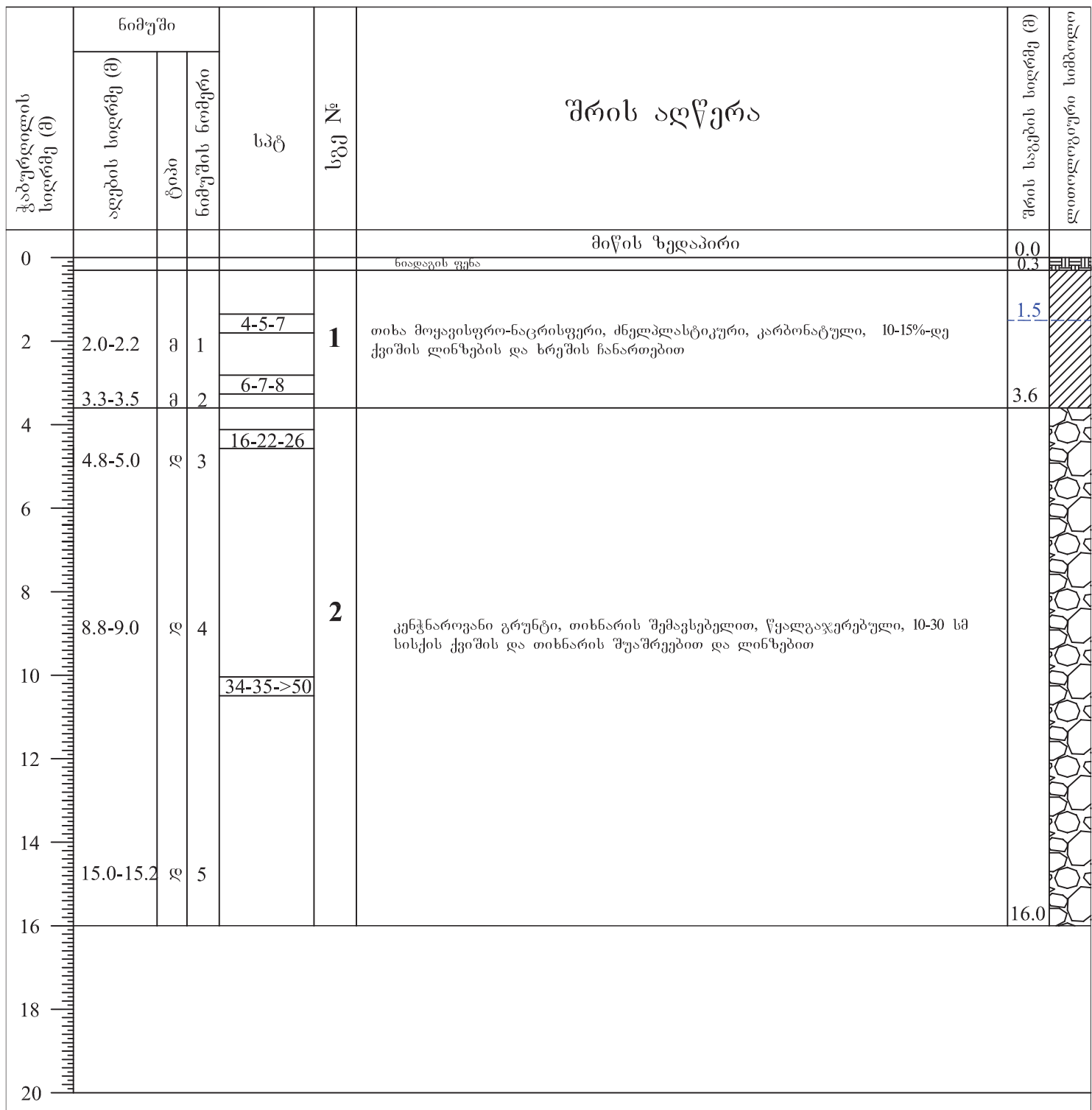
ვიზუალური ხს.ზე

დაწყების თარიღი:	16.01.14	დამცავი მილის დიამეტრი:	ჭაბურღლილი №: BH-KU1
დასრულების თარიღი:	16.01.14	0.0 მ-დან 5.0 მ-დე 127 (მმ)	
ბურღლის მეთოდი:	სკეტური	ჭაბურღლილის დიამეტრი:	X: 291035.7
შემსრულებელი:	გეოტექსილისი	0.0 მ-დან 5.0 მ-დე 127 (მმ)	Y: 4688126.2
საბურღლი დანადგარი:	УРБ - 2A2	5.0 მ-დან 15.0 მ-დე 108 (მმ)	Z: 118.995
მბურღლავი:	მ. ჩემია		



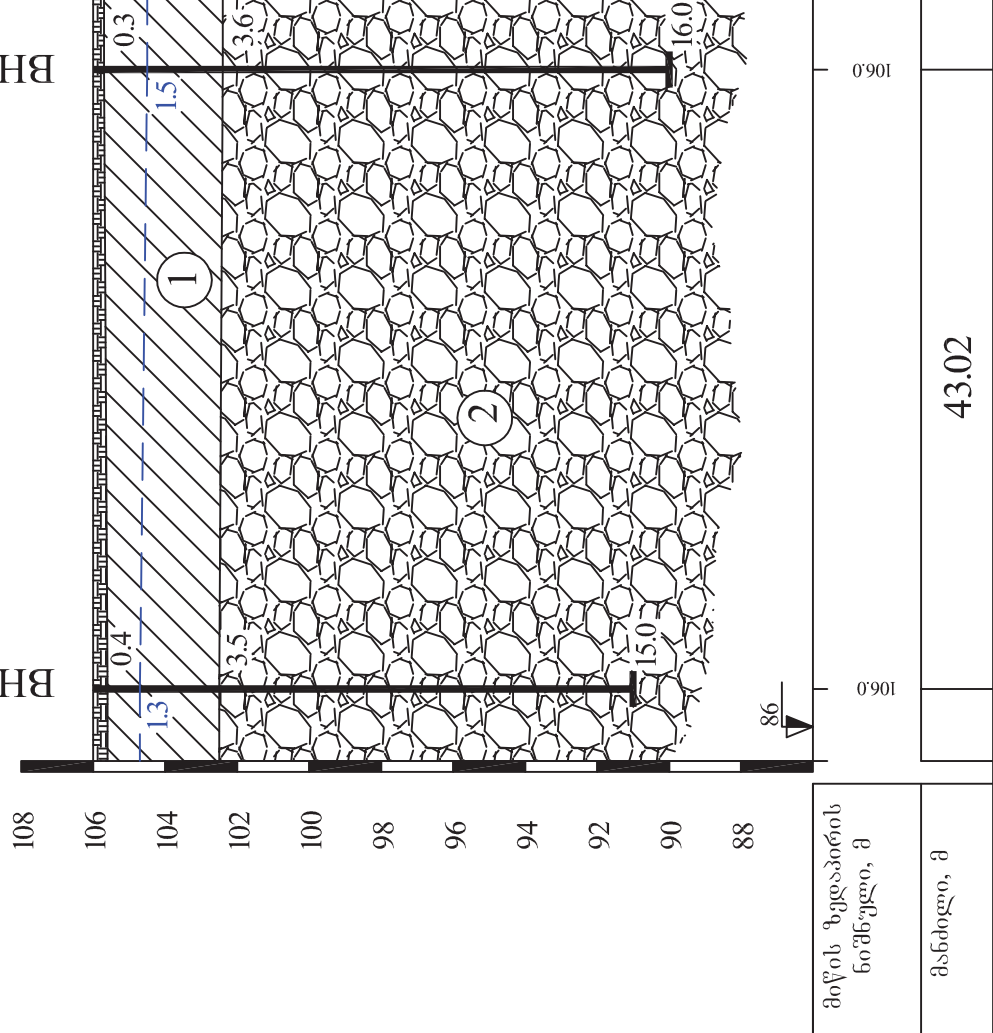
შენიშვნები: მდინარის მარჯვენა ნაპირი	გრუნტის წყლის გამოვლინება, მ: 2.8 დამყარებული დონე, მ: 1.3	შემსრულებელი: ზ. ისაკაძე
გეოტექსილისი	პროექტის დასახელება: შიადასახელმწიფო უნივერსიტეტის წევალტუბო-სონის სგ-ის მე-13 ქმ-ზე, მდ. კუხაუე ახალი სახიდე გადასახვლელის მშენებლობა	ნახატი № 2.1 ფურცელი №: 1

დაწყების თარიღი:	17.01.14	დამცავი მილის დიამეტრი:	ჭაბურღლილი №: BH-KU2
დასრულების თარიღი:	17.01.14	0.0 მ-დან 5.5 მ-დე 127 (მმ)	
ბურღლის მეთოდი:	სკეტური	ჭაბურღლილის დიამეტრი:	X: 291075.955
შემსრულებელი:	გეოტექსერვისი	0.0 მ-დან 5.5 მ-დე 127 (მმ)	Y: 4688111.873
საბურღლი დანადგარი:	УРБ - 2A2	5.5 მ-დან 16.0 მ-დე 108 (მმ)	Z: 118.723
მბურღლავი:	მ. ჩემია		



შენიშვნები: მდინარის მარცხენა ნაპირი	გრუნტის წყლის გამოვლინება, მ: 3.1 დამყარებული დონე, მ: 1.5	შემსრულებელი: ზ. ისაკაძე
გეოტექსერვისი	პროექტის დასახელება: შიადასახელმწიფო უნივერსიტეტის წყალტუბო-სონის სგ-ის მე-13 ქმ-ზე, მდ. კუხაუე ახალი სახიდე გადასახვლელის გშენებლობა	ნახაზი № 2.2 ფურცელი №: 1

C# 11d

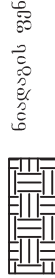


108

BH #1

BH #2

კიბრის მუნიციპალიტეტის საჯარო შემთხვევა



— №2

ଓঢ়িয়ে তণ্ডুল চৰ উকিলদাহৰি ধৰণ

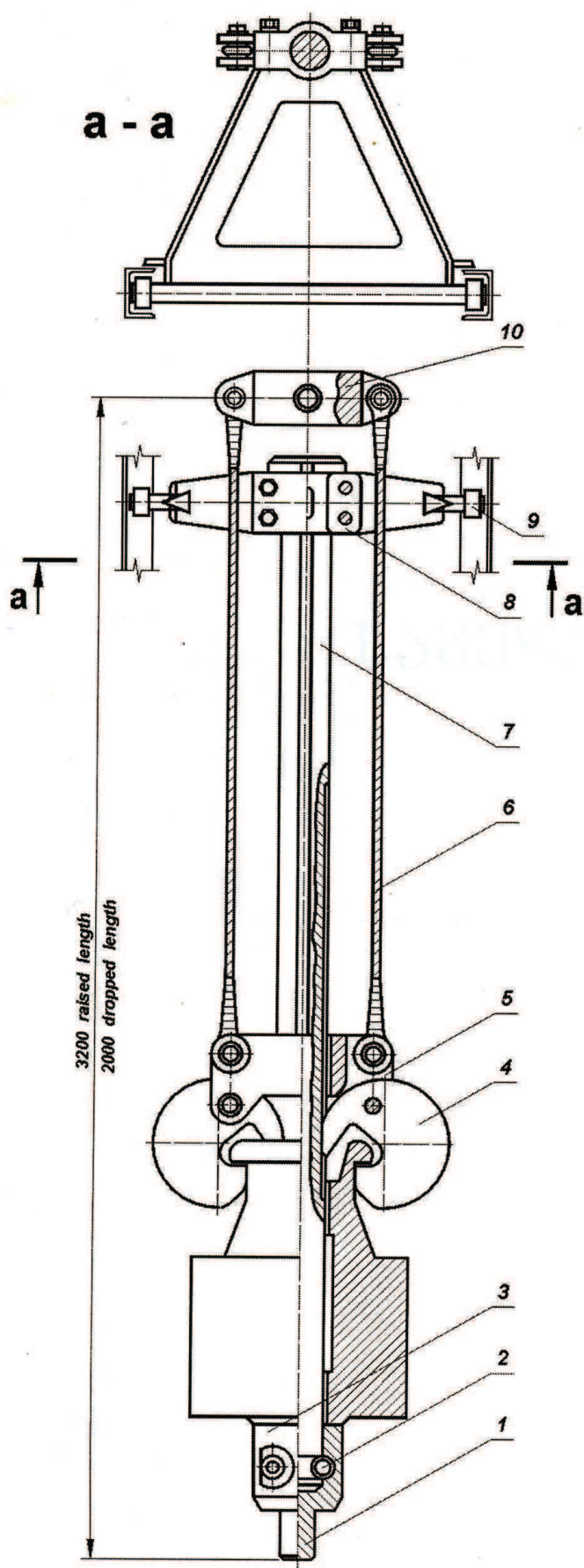
ମୁଦ୍ରଣ କାର୍ଯ୍ୟକ୍ରମରେ ଏହା ପରିବର୍ତ୍ତନ କରିବାକୁ ପରିଚାରିତ କରିଛି ।

თოხა მთელი სისტემის ნაცვლის გარეშე, ძალის მქონე და მოწყობი და ხელი ჩანაცილები, გარეთინა გული,

ডাক্তার পদে আবেদন করার নিয়ম

SPT HAMMER

A



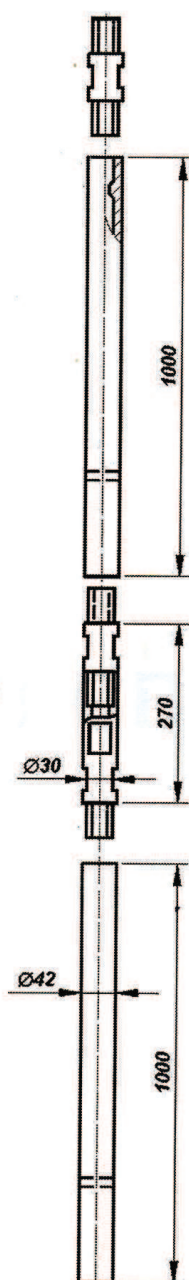
B

SPECIFICATIONS:

A. SPT HAMMER DEVICE (FITTED TO DRILLING RIG)

1. Cranking adaptor
2. Bolts
3. Hammer

Weight	60 kg
Drop height	
800 mm	



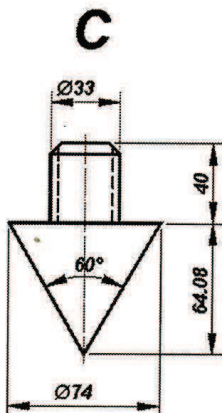
4. Cams
5. Lower bracket
6. Cable
7. Guide rod
8. Slide
9. Rollers
10. Upper bracket

B. EXTENSION RODS WITH NIPPLE CONNECTIONS

Diameter	42 mm
Length	1000 mm

C. PENETRATION CONE

Peak angle	60°
Max. diameter	74 mm
Weight	1 kg



NOTE: All dimensions are in millimeters

დანართი 3: სტატიკური ანალიზი და კონსტრუქციული ანგარიშები

სახიდე გადასასვლელის მშენებლობა მდ. კუხაზე. წყალტუბო-ხონის ს/გ-ის მე-13 კილომეტრი.
პროექტის საინჟინრო ანგარიში
დანართი 3: სტატიკური ანალიზი და კონსტრუქციული ანგარიშები

სახიდე გადასასვლელის მშენებლობა მდ. კუხაზე

შიდასახელმწიფო იურიდიკური მნიშვნელობის წყალტუბო-ხონის (შ-52) საავტომობილო
გზის მე-13 კილომეტრი

პრემიუმ საინჟინრო ანგარიში

დანართი 3: სტატიკური ანალიზი და კონსტრუქციული ანგარიში

შინაარსი

გვერდი

მათემატიკური მოდელი.....	3
სტატიკური ანალიზის შეჯამებული შედებები	4
ვუძვ-საძირკვლების მზიდუნარიანობის ანგარიში	7
კონსტრუქციული ანგარიშები	10
მზიდი კონსტრუქციული ელემენტების პეტონისა და არმატურის ხარჯი.....	14

მათემატიკური მოდელი

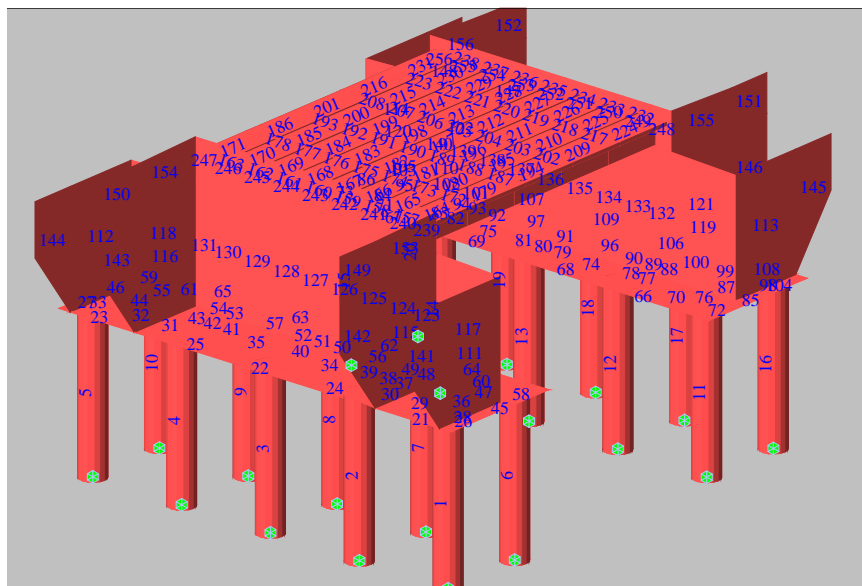
მათემატიკური მოდელი აგებულია კომერციულად ხელმისაწვდომ სპეციალიზებულ პროგრამულ მოდულში, რომელიც მხარდაჭერილია სტატიკური ანალიზის სასრული ელემენტების მეთოდით.

განაპირობებული აგებულია ფილოვანი ელემენტებით; ყველა სხვა დანარჩენი მზიდი კონსტრუქცია კი საანგარიშო სქემაში კოჭოვანი ელემენტებითაა წარმოდგენილი.

სტატიკური ანალიზის ამოცანაა, დადგენილი იქნას:

- რეაქციის საანგარიშო ძალვები მაღის ნაშენის საყრდენებზე და ხიმინჯების თავებზე.
- საანგარიშო ძალვები მზიდი კონსტრუქციული ელემენტების კვეთებში

ელემენტების ნუმერაცია მოცემულია მოდელის ქვემოთ წარმოდგენილ ილუსტრაციაში.



სახიდე გადასასვლელის მშენებლობა მდ. კუთაისი. წყალტუბო-ხონის ს/გ-ის მე-13 კილომეტრი.
პროექტის საინჟინრო ანგარიში
დანართი 3: სტატიკური ანალიზი და კონსტრუქციული ანგარიშები

სტატიკური ანალიზის შეჯამებული შედეგები

საანგარიშო რეაქციის ძალვები სიმტკიცისა და დეფორმაციების ზღვრული მდგომარეობების მიხედვით ხიმინჯის თავებზე:

Elem	Load	Part	Axial (kN)	Shear-y (kN)	Shear-z (kN)	Torsion (kN*m)	Moment-y (kN*m)	Moment-z (kN*m)
1	RC ENV_STR(all)	I[27]	1 329	27	280	3	818	89
2	RC ENV_STR(all)	I[28]	1 756	17	282	2	829	52
3	RC ENV_STR(all)	I[29]	1 762	15	282	1	828	44
4	RC ENV_STR(all)	I[30]	1 756	17	282	2	829	52
5	RC ENV_STR(all)	I[31]	1 329	27	280	3	818	89
6	RC ENV_STR(all)	I[44]	1 693	22	289	2	854	70
7	RC ENV_STR(all)	I[45]	2 188	19	290	2	862	58
8	RC ENV_STR(all)	I[46]	2 308	15	289	1	858	46
9	RC ENV_STR(all)	I[47]	2 179	19	290	2	862	58
10	RC ENV_STR(all)	I[48]	1 682	22	289	2	854	70
11	RC ENV_STR(all)	I[59]	1 674	22	282	2	834	69
12	RC ENV_STR(all)	I[60]	2 114	19	283	2	842	58
13	RC ENV_STR(all)	I[61]	2 229	15	282	1	837	46
14	RC ENV_STR(all)	I[62]	2 106	19	283	2	842	58
15	RC ENV_STR(all)	I[63]	1 674	22	282	2	834	69
16	RC ENV_STR(all)	I[76]	1 377	27	273	3	799	88
17	RC ENV_STR(all)	I[77]	1 779	17	275	2	808	51
18	RC ENV_STR(all)	I[78]	1 806	15	275	1	807	44
19	RC ENV_STR(all)	I[79]	1 779	17	275	2	808	51
20	RC ENV_STR(all)	I[80]	1 377	27	273	3	799	88

Elem	Load	Part	Axial (kN)	Shear-y (kN)	Shear-z (kN)	Torsion (kN*m)	Moment-y (kN*m)	Moment-z (kN*m)
1	RC ENV_SER(all)	I[27]	908	11	180	1	526	39
2	RC ENV_SER(all)	I[28]	1 240	3	181	1	531	10
3	RC ENV_SER(all)	I[29]	1 264	1	180	0	530	5

სახიდე გადასასვლელის მშენებლობა მდ. კუთაისი. წყალტუბო-ხონის ს/გ-ის მე-13 კილომეტრი.

პროექტის საინჟინრო ანგარიში

დანართი 3: სტატიკური ანალიზი და კონსტრუქციული ანგარიშები

4	RC ENV_SER(all)	I[30]	1 236	3	181	1	531	10
5	RC ENV_SER(all)	I[31]	904	11	180	1	526	39
6	RC ENV_SER(all)	I[44]	1 219	7	187	1	553	26
7	RC ENV_SER(all)	I[45]	1 580	5	188	1	559	16
8	RC ENV_SER(all)	I[46]	1 670	2	187	0	555	5
9	RC ENV_SER(all)	I[47]	1 574	5	188	1	559	16
10	RC ENV_SER(all)	I[48]	1 211	7	187	1	553	26
11	RC ENV_SER(all)	I[59]	1 180	7	176	1	523	25
12	RC ENV_SER(all)	I[60]	1 526	4	177	1	528	16
13	RC ENV_SER(all)	I[61]	1 611	2	176	0	525	5
14	RC ENV_SER(all)	I[62]	1 520	4	177	1	528	16
15	RC ENV_SER(all)	I[63]	1 172	7	176	1	523	25
16	RC ENV_SER(all)	I[76]	981	11	170	2	497	39
17	RC ENV_SER(all)	I[77]	1 308	3	170	1	502	9
18	RC ENV_SER(all)	I[78]	1 322	1	170	0	500	5
19	RC ENV_SER(all)	I[79]	1 304	3	170	1	502	9
20	RC ENV_SER(all)	I[80]	976	11	170	2	497	39

სახიდე გადასასვლელის მშენებლობა მდ. კუთაისი. წყალტუბო-ხონის ს/გ-ის მე-13 კილომეტრი.
პროექტის საინჟინრო ანგარიში
დანართი 3: სტატიკური ანალიზი და კონსტრუქციული ანგარიშები

პურჯების პრტყელი ელემენტების საანგარიშო ძალვები
(როსტვერკი, კედელი, ვრთები, სარეგულაციო კედლები)

Elem	Load	Node	FX (kN)	FY (kN)	FZ (kN)	MX (kN*m)	MY (kN*m)	MZ (kN*m)
21	RC ENV_STR(all)	22	35.63	213.38	58.45	14.62	86.56	16.34
21	RC ENV_STR(all)	23	46.73	66.43	54.77	166.68	25.43	49.35
21	RC ENV_STR(all)	27	16.89	157.23	315.64	124.19	91.91	61.5
22	RC ENV_STR(all)	23	26.26	171.84	309.42	87.05	269.7	64.23
22	RC ENV_STR(all)	24	26.26	171.84	309.42	87.05	269.7	64.23
22	RC ENV_STR(all)	29	52.52	4.66	402.86	22.59	590.52	0.46
23	RC ENV_STR(all)	24	46.73	66.43	54.77	166.68	25.43	49.35
23	RC ENV_STR(all)	25	35.63	213.38	58.45	14.62	86.56	16.34
23	RC ENV_STR(all)	31	16.89	157.23	315.64	124.19	91.91	61.5
24	RC ENV_STR(all)	23	15.63	41.76	218.12	270.85	83.97	96.27
24	RC ENV_STR(all)	29	13.21	142.22	79.46	78.34	47.22	32.38
24	RC ENV_STR(all)	28	20.05	105.49	518.82	81.06	390.23	114.92
25	RC ENV_STR(all)	29	11.03	143.63	79.46	78.34	49.1	32.38
25	RC ENV_STR(all)	24	15.55	42.35	218.12	270.85	89.06	96.27
25	RC ENV_STR(all)	30	17.96	108.2	518.82	79.95	390.23	114.92
26	RC ENV_STR(all)	32	10.36	2.26	26.15	3.17	20.46	4.87
26	RC ENV_STR(all)	21	13.99	29.78	144.16	25.77	125.69	49.43
26	RC ENV_STR(all)	22	24.34	27.77	161.52	57.73	84.82	53.84
27	RC ENV_STR(all)	43	10.36	2.26	26.15	3.17	20.46	4.87
27	RC ENV_STR(all)	25	24.34	27.77	161.52	55.18	84.82	53.84
27	RC ENV_STR(all)	26	13.99	29.78	144.16	25.77	125.69	49.43
28	RC ENV_STR(all)	22	53.33	89.35	225.11	179.36	57.3	24.25
28	RC ENV_STR(all)	27	69.3	129.46	251.25	270.34	277.6	29.38
28	RC ENV_STR(all)	32	16.36	40.12	71.74	42.25	43.25	47.37
29	RC ENV_STR(all)	23	156.45	81.39	52.63	494.61	228.89	112.56
29	RC ENV_STR(all)	33	10.37	178.49	220.06	229.25	181.22	183.48
29	RC ENV_STR(all)	27	148.36	244.39	572.61	94.58	122.37	78.37
30	RC ENV_STR(all)	33	60.47	153.08	156.97	130.14	108	123.61
30	RC ENV_STR(all)	23	7.38	342.84	74.74	119.79	92.74	202.2
30	RC ENV_STR(all)	28	58.68	495.92	351.05	43.64	90.48	78.59
31	RC ENV_STR(all)	42	64.74	150.29	156.97	130.14	108	123.61
31	RC ENV_STR(all)	30	74.67	486	351.05	43.64	90.48	78.59
31	RC ENV_STR(all)	24	17.64	335.72	74.74	119.79	92.74	202.2
32	RC ENV_STR(all)	42	10.37	178.49	220.06	229.25	181.22	183.48
32	RC ENV_STR(all)	24	156.45	81.39	52.63	494.61	228.89	112.56
32	RC ENV_STR(all)	31	148.36	244.39	572.61	94.58	122.37	78.37
33	RC ENV_STR(all)	43	16.87	39.78	71.74	42.99	43.25	47.37
33	RC ENV_STR(all)	31	71.19	128.15	251.25	270.34	289.23	29.38
33	RC ENV_STR(all)	25	54.63	88.37	225.11	176.13	61.84	24.25
34	RC ENV_STR(all)	29	149.9	447.83	510.07	69.58	229.99	0
34	RC ENV_STR(all)	37	46.14	338.52	304.56	59.73	197.25	0
34	RC ENV_STR(all)	36	157.28	394.28	282.66	69.71	310.34	0
34	RC ENV_STR(all)	28	56.96	393.19	456.09	51.86	160.97	0
35	RC ENV_STR(all)	39	154.89	394.28	282.66	69.71	310.34	0
35	RC ENV_STR(all)	38	46.14	338.52	304.56	51.95	197.25	0
35	RC ENV_STR(all)	29	141.1	454.41	510.07	54.73	240.52	0
35	RC ENV_STR(all)	30	56.96	393.19	456.09	51.86	160.97	0

Elem	Load	Node	FX (kN)	FY (kN)	FZ (kN)	MX (kN*m)	MY (kN*m)	MZ (kN*m)
36	RC ENV_STR(all)	27	63.16	20.71	246.13	129.33	346.73	24.19
36	RC ENV_STR(all)	33	26.88	139.62	52.5	295.47	127.76	51.57
36	RC ENV_STR(all)	32	42.78	126.56	358.52	73.86	278.02	31.2
37	RC ENV_STR(all)	28	33.53	21.39	95.52	17.4	74.41	5.72
37	RC ENV_STR(all)	34	6.5	213.48	223.45	78.79	95.14	79.2
37	RC ENV_STR(all)	33	35.98	233.06	91.22	203.02	21.98	73.61
38	RC ENV_STR(all)	35	23.59	274.4	134.52	21.85	67.89	100.72
38	RC ENV_STR(all)	34	62.57	284.88	59.57	46.54	131.93	90.26
38	RC ENV_STR(all)	28	75.27	12.1	188.65	26.82	68.32	11.73
39	RC ENV_STR(all)	28	64.92	21.08	145.44	78.47	129.75	22.49
39	RC ENV_STR(all)	36	6.48	267.13	34.62	220.97	74.7	74.22
39	RC ENV_STR(all)	35	66.16	248.45	205.78	171.96	248.65	54.01
40	RC ENV_STR(all)	38	37.6	225.53	102.37	21.13	95.57	61.34
40	RC ENV_STR(all)	37	37.6	225.53	102.37	21.13	95.57	61.34
40	RC ENV_STR(all)	29	66.18	3.57	195.57	0.87	61.26	2.44
41	RC ENV_STR(all)	39	4.04	267.13	34.62	218.75	77.29	74.22
41	RC ENV_STR(all)	30	63.11	22.42	145.44	78.25	136.77	22.49
41	RC ENV_STR(all)	40	62.88	248.45	205.78	169.97	248.65	54.01
42	RC ENV_STR(all)	41	62.57	284.88	59.57	46.54	131.93	90.26
42	RC ENV_STR(all)	40	23.59	274.4	134.52	21.85	67.89	100.72
42	RC ENV_STR(all)	30	75.27	12.1	188.65	26.82	68.32	11.73
43	RC ENV_STR(all)	42	38.13	233.06	91.22	203.02	21.98	73.61
43	RC ENV_STR(all)	41	6.77	213.48	223.45	78.79	95.14	79.2
43	RC ENV_STR(all)	30	33.61	21.39	95.52	17.4	74.41	5.72
44	RC ENV_STR(all)	31	57.95	25.38	246.13	115.46	359.49	24.19
44	RC ENV_STR(all)	43	43.23	126.56	358.52	75.97	278.02	31.2
44	RC ENV_STR(all)	42	26.88	139.62	52.5	295.47	127.76	51.57
45	RC ENV_STR(all)	21	13.99	29.78	144.16	25.77	125.69	49.43
45	RC ENV_STR(all)	32	5.14	79.39	304.52	84.91	84.57	13.53
45	RC ENV_STR(all)	49	18.65	49.62	226.63	56.61	220.46	44.21
46	RC ENV_STR(all)	26	13.99	29.78	144.16	25.77	125.69	49.43
46	RC ENV_STR(all)	53	18.35	49.62	226.63	56.61	220.46	44.21
46	RC ENV_STR(all)	43	4.79	79.39	304.52	84.05	84.57	13.53
47	RC ENV_STR(all)	32	97.86	67.8	535.24	101.96	236.36	51.97
47	RC ENV_STR(all)	33	34.78	17.89	114.58	111.09	124.47	30.9
47	RC ENV_STR(all)	44	131.64	52.9	720.77	175.17	434.74	21.28
48	RC ENV_STR(all)	34	28.92	138.43	247.49	25.73	143.79	23.81
48	RC ENV_STR(all)	45	27.46	13.86	207.33	61.51	70.04	3.16
48	RC ENV_STR(all)	33	2.85	127.52	64.65	17.55	18.76	22.24
49	RC ENV_STR(all)	35	52.04	100.45	122.61	22.42	120.79	33.95
49	RC ENV_STR(all)	45	104.7	5.52	382.11	6.33	160.16	3.85
49	RC ENV_STR(all)	34	53.29	105.06	223.44	18.9	131.38	37.27
50	RC ENV_STR(all)	37	111.98	38.72	450.7	34.43	251.5	11.93
50	RC ENV_STR(all)	46	63.79	21.79	357.86	122.88	115.14	20.89
50	RC ENV_STR(all)	36	52.06	59.17	129.91	80.88	35.03	32.27
51	RC ENV_STR(all)	38	36.42	139.26	185.07	9.4	152.59	38.72
51	RC ENV_STR(all)	46	71.71	1.95	407.21	2.7	134.32	0.18
51	RC ENV_STR(all)	37	36.42	139.26	185.07	9.4	152.59	38.72
52	RC ENV_STR(all)	46	62.73	22.5	357.86	122.88	116.42	20.89
52	RC ENV_STR(all)	38	109.47	40.75	450.7	29.35	251.5	11.93

Elem	Load	Node	FX (kN)	FY (kN)	FZ (kN)	MX (kN*m)	MY (kN*m)	MZ (kN*m)
52	RC ENV_STR(all)	39	49.06	60.41	129.91	80.01	36.54	32.27
53	RC ENV_STR(all)	47	104.97	5	382.11	11.5	155.57	3.85
53	RC ENV_STR(all)	40	54.45	100.45	122.61	27.56	120.79	33.95
53	RC ENV_STR(all)	41	55.62	105.06	223.44	21.16	131.38	37.27
54	RC ENV_STR(all)	47	27.1	14.51	207.33	61.51	71.01	3.16
54	RC ENV_STR(all)	41	27.46	138.96	247.49	20.76	143.79	23.81
54	RC ENV_STR(all)	42	1.58	127.52	64.65	15.07	20.73	22.24
55	RC ENV_STR(all)	43	95.58	68.49	535.24	101.96	236.36	51.97
55	RC ENV_STR(all)	48	127.35	55.31	720.77	173.87	434.74	21.28
55	RC ENV_STR(all)	42	34.5	18.01	114.58	111.09	124.47	30.9
56	RC ENV_STR(all)	36	94.61	107.7	566.01	232.75	319.02	0
56	RC ENV_STR(all)	46	52.92	103.05	445.71	306.36	268.14	0
56	RC ENV_STR(all)	45	96.45	89.12	743.23	301.72	359.8	0
56	RC ENV_STR(all)	35	54.73	122.21	474.26	215.11	277.05	0
57	RC ENV_STR(all)	47	96.45	90.78	743.23	298.05	368.17	0
57	RC ENV_STR(all)	46	52.92	103.05	445.71	306.36	268.14	0
57	RC ENV_STR(all)	39	94.61	110.75	566.01	232.75	319.02	0
57	RC ENV_STR(all)	40	54.73	122.21	474.26	209.96	277.05	0
58	RC ENV_STR(all)	49	27.67	101.46	273.23	181.24	109.04	40.96
58	RC ENV_STR(all)	32	52.12	45.21	411.59	61.35	180.11	19.61
58	RC ENV_STR(all)	44	79.38	146.28	714.51	119.32	182.7	22.48
59	RC ENV_STR(all)	53	32.94	99.26	273.23	181.24	109.04	40.96
59	RC ENV_STR(all)	48	90.07	141.51	714.51	120.15	177.05	22.48
59	RC ENV_STR(all)	43	57.13	42.24	411.59	61.35	180.11	19.61
60	RC ENV_STR(all)	33	166.31	69.27	668.38	255.73	326.96	0
60	RC ENV_STR(all)	45	74.86	157.32	626.59	249.76	310.7	0
60	RC ENV_STR(all)	49	14.51	100.09	20.05	108.5	110.93	0
60	RC ENV_STR(all)	44	92.78	182.05	237.87	49.48	242.06	0
61	RC ENV_STR(all)	53	13.84	100.36	20.05	108.41	110.93	0
61	RC ENV_STR(all)	47	74.86	157.32	626.59	249.76	310.7	0
61	RC ENV_STR(all)	42	166.31	69.27	668.38	255.73	326.96	0
61	RC ENV_STR(all)	48	92.06	183.09	237.87	49.48	242.06	0
62	RC ENV_STR(all)	46	3.81	49.25	82.02	18.87	23.54	0
62	RC ENV_STR(all)	51	0.04	59.41	5	10.32	2.37	0
62	RC ENV_STR(all)	50	2.29	42.27	8.41	20.72	19.64	0
62	RC ENV_STR(all)	45	3.53	66.4	78.71	8.84	24.05	0
63	RC ENV_STR(all)	47	3.53	66.4	78.71	8.84	24.05	0
63	RC ENV_STR(all)	52	2.29	42.27	8.41	20.72	19.64	0
63	RC ENV_STR(all)	51	0.04	59.41	5	10.32	2.37	0
63	RC ENV_STR(all)	46	3.81	49.25	82.02	18.87	23.54	0
64	RC ENV_STR(all)	45	4.59	13.46	61.07	36.6	36.25	4.13
64	RC ENV_STR(all)	50	2.29	42.27	8.41	20.72	19.64	0
64	RC ENV_STR(all)	49	2.3	46.88	47.51	22.27	3.62	4.13
65	RC ENV_STR(all)	53	2.3	46.88	47.51	22.27	3.62	4.13
65	RC ENV_STR(all)	52	2.29	42.27	8.41	20.72	19.64	0
65	RC ENV_STR(all)	47	4.59	13.46	61.07	36.6	36.25	4.13
66	RC ENV_STR(all)	60	5.17	15.44	61.97	35.68	36.44	3.59
66	RC ENV_STR(all)	55	2.52	37.5	8.3	20.1	19.36	0
66	RC ENV_STR(all)	54	2.64	44.09	47.33	21.9	3.61	3.59
67	RC ENV_STR(all)	58	2.64	44.09	47.33	21.9	3.61	3.59

Elem	Load	Node	FX (kN)	FY (kN)	FZ (kN)	MX (kN*m)	MY (kN*m)	MZ (kN*m)
67	RC ENV_STR(all)	57	2.52	37.5	8.3	20.1	19.36	0
67	RC ENV_STR(all)	62	5.17	15.44	61.97	35.68	36.44	3.59
68	RC ENV_STR(all)	61	3.57	45.09	81.68	18.59	23.19	0
68	RC ENV_STR(all)	56	0.04	53.19	5	9.98	2.37	0
68	RC ENV_STR(all)	55	2.52	37.5	8.3	20.1	19.36	0
68	RC ENV_STR(all)	60	3.29	61.45	77.73	8.15	23.96	0
69	RC ENV_STR(all)	62	3.29	61.45	77.73	8.15	23.96	0
69	RC ENV_STR(all)	57	2.52	37.5	8.3	20.1	19.36	0
69	RC ENV_STR(all)	56	0.04	53.19	5	9.98	2.37	0
69	RC ENV_STR(all)	61	3.57	45.09	81.68	18.59	23.19	0
70	RC ENV_STR(all)	65	160.05	63.62	663.51	251.76	326.69	0
70	RC ENV_STR(all)	60	73.74	147.23	621.6	246.02	304.4	0
70	RC ENV_STR(all)	54	13.96	93.37	18.05	105.96	110.78	0
70	RC ENV_STR(all)	59	88.19	174.91	239.73	49.88	236.9	0
71	RC ENV_STR(all)	58	13.29	93.64	18.05	105.87	110.78	0
71	RC ENV_STR(all)	62	73.74	147.23	621.6	246.02	304.4	0
71	RC ENV_STR(all)	74	160.05	63.62	663.51	251.76	326.69	0
71	RC ENV_STR(all)	63	87.47	174.91	239.73	49.88	236.9	0
72	RC ENV_STR(all)	54	27.16	96.81	273.18	180.55	109.31	39.13
72	RC ENV_STR(all)	64	52.98	41.93	411.06	61.29	180.02	18.16
72	RC ENV_STR(all)	59	79.86	138.36	713.93	118.32	178.67	22.46
73	RC ENV_STR(all)	58	32.44	96.36	273.18	180.55	109.31	39.13
73	RC ENV_STR(all)	63	90.55	136.32	713.93	119.15	173.01	22.46
73	RC ENV_STR(all)	75	58.11	39.96	411.06	61.29	180.02	18.16
74	RC ENV_STR(all)	68	86.91	106.08	562.68	230.71	320.49	0
74	RC ENV_STR(all)	61	49.17	98.78	442.82	304.36	262.49	0
74	RC ENV_STR(all)	60	88.21	86.29	740	297.2	349.76	0
74	RC ENV_STR(all)	67	50.44	118.58	470.08	212.48	276.66	0
75	RC ENV_STR(all)	62	88.21	87.96	740	296.71	359.61	0
75	RC ENV_STR(all)	61	49.17	98.78	442.82	304.36	262.49	0
75	RC ENV_STR(all)	71	86.91	109.12	562.68	230.71	320.49	0
75	RC ENV_STR(all)	72	50.44	118.58	470.08	210.08	276.66	0
76	RC ENV_STR(all)	64	96.74	63.45	528.3	100.49	236.98	50.15
76	RC ENV_STR(all)	65	32.98	17.34	113.37	110.39	126.02	29.24
76	RC ENV_STR(all)	59	128.7	49.09	720.52	173.35	424.39	21.13
77	RC ENV_STR(all)	66	30.75	136.66	241.26	25.81	144.65	23.72
77	RC ENV_STR(all)	60	28.93	14.37	206.36	61.89	67.96	3.61
77	RC ENV_STR(all)	65	3.21	125.36	61.67	16.61	18.15	21.89
78	RC ENV_STR(all)	67	52.58	97.97	120.95	22.74	121.25	33.53
78	RC ENV_STR(all)	60	105.21	5.87	380.77	6.62	156.86	3.53
78	RC ENV_STR(all)	66	53.26	102.65	222.74	17.83	130.83	36.68
79	RC ENV_STR(all)	69	111.38	35.32	447.27	33.49	252.54	12.88
79	RC ENV_STR(all)	61	63.84	20.98	355.82	122.78	111.51	20.59
79	RC ENV_STR(all)	68	51.41	56.29	128.52	78.58	33.51	32.93
80	RC ENV_STR(all)	70	36.1	135.99	184.24	9.08	152.37	37.91
80	RC ENV_STR(all)	61	71.07	1.95	405.55	2.7	131.28	0.18
80	RC ENV_STR(all)	69	36.1	135.99	184.24	9.08	152.37	37.91
81	RC ENV_STR(all)	61	62.79	21.72	355.82	122.78	112.8	20.59
81	RC ENV_STR(all)	70	108.56	37.04	447.27	28.41	252.54	12.88
81	RC ENV_STR(all)	71	48.29	56.29	128.52	77.71	35.02	32.93

Elem	Load	Node	FX (kN)	FY (kN)	FZ (kN)	MX (kN*m)	MY (kN*m)	MZ (kN*m)
82	RC ENV_STR(all)	62	105.48	5.36	380.77	11.38	153.18	3.53
82	RC ENV_STR(all)	72	54.99	97.97	120.95	27.88	121.25	33.53
82	RC ENV_STR(all)	73	55.59	102.65	222.74	20.47	130.83	36.68
83	RC ENV_STR(all)	62	28.57	15.01	206.36	61.89	68.93	3.61
83	RC ENV_STR(all)	73	29.29	136.66	241.26	20.98	144.65	23.72
83	RC ENV_STR(all)	74	1.94	125.36	61.67	14.31	20.12	21.89
84	RC ENV_STR(all)	75	94.31	64.13	528.3	100.49	236.98	50.15
84	RC ENV_STR(all)	63	124.41	51.51	720.52	172.12	424.39	21.13
84	RC ENV_STR(all)	74	32.69	17.46	113.37	110.39	126.02	29.24
85	RC ENV_STR(all)	81	14.33	29.36	143.97	26.72	126.3	49.45
85	RC ENV_STR(all)	64	5.18	78.28	306.21	83.85	80.82	16.47
85	RC ENV_STR(all)	54	19.03	48.91	228.51	57.4	221.5	41.7
86	RC ENV_STR(all)	86	14.33	29.36	143.97	26.72	126.3	49.45
86	RC ENV_STR(all)	58	18.73	48.91	228.51	57.4	221.5	41.7
86	RC ENV_STR(all)	75	4.83	78.28	306.21	82.99	80.82	16.47
87	RC ENV_STR(all)	76	62.12	18.64	248.86	128.3	332.28	26.27
87	RC ENV_STR(all)	65	24.54	136.63	54.58	291.98	126.53	52.3
87	RC ENV_STR(all)	64	44.08	125.66	350.35	73.76	278.48	30.04
88	RC ENV_STR(all)	77	33.91	21.56	97.1	17.04	71.14	5.63
88	RC ENV_STR(all)	66	6.13	207.54	218.08	74.18	94.64	76.74
88	RC ENV_STR(all)	65	36.33	227.29	88.07	198.61	23.28	71.24
89	RC ENV_STR(all)	67	25.38	271.34	129.6	23.35	68.75	99.57
89	RC ENV_STR(all)	66	61.08	281.34	60.12	42.56	134.14	89.52
89	RC ENV_STR(all)	77	75.56	11.19	191.25	27.79	63.12	10.91
90	RC ENV_STR(all)	77	64.57	21.7	147.91	81.37	123.87	21.27
90	RC ENV_STR(all)	68	8.3	264.32	35.49	215.2	72.03	73.44
90	RC ENV_STR(all)	67	64	245.2	199.85	167.42	250.81	54.49
91	RC ENV_STR(all)	70	36.94	222.88	98.4	22.89	97.06	61.85
91	RC ENV_STR(all)	69	36.94	222.88	98.4	22.89	97.06	61.85
91	RC ENV_STR(all)	78	64.85	3.57	199.72	0.87	53.16	2.44
92	RC ENV_STR(all)	71	5.81	264.32	35.49	214.67	74.62	73.44
92	RC ENV_STR(all)	79	62.77	23.32	147.91	80.33	130.9	21.27
92	RC ENV_STR(all)	72	61.85	245.2	199.85	167.42	250.81	54.49
93	RC ENV_STR(all)	73	61.08	281.34	60.12	42.56	134.14	89.52
93	RC ENV_STR(all)	72	25.38	271.34	129.6	23.35	68.75	99.57
93	RC ENV_STR(all)	79	75.56	11.19	191.25	27.79	63.12	10.91
94	RC ENV_STR(all)	74	38.35	227.29	88.07	198.61	23.28	71.24
94	RC ENV_STR(all)	73	6.4	207.54	218.08	74.18	94.64	76.74
94	RC ENV_STR(all)	79	33.99	21.56	97.1	17.04	71.14	5.63
95	RC ENV_STR(all)	80	56.9	22.66	248.86	114.62	345.04	26.27
95	RC ENV_STR(all)	75	44.53	125.66	350.35	75.87	278.48	30.04
95	RC ENV_STR(all)	74	24.54	136.63	54.58	291.98	126.53	52.3
96	RC ENV_STR(all)	78	146.41	454	517.76	61.09	211.43	0
96	RC ENV_STR(all)	69	40.78	335.9	294.05	54.03	200.51	0
96	RC ENV_STR(all)	68	155.5	392.69	272.63	65.73	314.06	0
96	RC ENV_STR(all)	77	53.3	396.16	458.88	43.49	147.54	0
97	RC ENV_STR(all)	71	153.1	393.74	272.63	65.73	314.06	0
97	RC ENV_STR(all)	70	40.78	335.9	294.05	46.25	200.51	0
97	RC ENV_STR(all)	78	137.61	460.58	517.76	46.24	221.96	0
97	RC ENV_STR(all)	79	53.3	396.16	458.88	43.49	147.54	0

Elem	Load	Node	FX (kN)	FY (kN)	FZ (kN)	MX (kN*m)	MY (kN*m)	MZ (kN*m)
98	RC ENV_STR(all)	82	54.53	90.86	220.29	178.07	48.7	25.6
98	RC ENV_STR(all)	76	70.75	131.69	274.81	272.9	272.4	28.54
98	RC ENV_STR(all)	64	16.61	40.83	86.88	41.46	45.48	47.88
99	RC ENV_STR(all)	83	150.24	86.09	57.37	496.1	229.66	112.08
99	RC ENV_STR(all)	65	9.17	174.84	217.6	230.34	182	179.42
99	RC ENV_STR(all)	76	143.5	245.45	572.26	100.09	117.15	74.99
100	RC ENV_STR(all)	65	61.76	155.46	156.36	131.82	106.98	125.79
100	RC ENV_STR(all)	83	7.65	347.93	65.85	117.72	94.15	204.79
100	RC ENV_STR(all)	77	59.7	503.38	356.03	33.5	92.7	79
101	RC ENV_STR(all)	74	66.03	151.06	156.36	131.82	106.98	125.79
101	RC ENV_STR(all)	79	75.69	489.75	356.03	33.5	92.7	79
101	RC ENV_STR(all)	84	17.9	340.56	65.85	117.72	94.15	204.79
102	RC ENV_STR(all)	74	9.17	174.84	217.6	230.34	182	179.42
102	RC ENV_STR(all)	84	150.24	86.09	57.37	496.1	229.66	112.08
102	RC ENV_STR(all)	80	143.5	245.45	572.26	100.09	117.15	74.99
103	RC ENV_STR(all)	75	17.13	40.5	86.88	42.21	45.48	47.88
103	RC ENV_STR(all)	80	72.64	130.38	274.81	271.95	283.75	28.54
103	RC ENV_STR(all)	85	55.83	89.89	220.29	174.84	53.24	25.6
104	RC ENV_STR(all)	64	10.7	2.31	24.86	3.59	20.67	4.98
104	RC ENV_STR(all)	81	14.33	29.36	143.97	26.72	126.3	49.45
104	RC ENV_STR(all)	82	25.03	27.32	161.96	57.3	86.24	54.2
105	RC ENV_STR(all)	75	10.7	2.31	24.86	3.59	20.67	4.98
105	RC ENV_STR(all)	85	25.03	27.32	161.96	54.25	86.24	54.2
105	RC ENV_STR(all)	86	14.33	29.36	143.97	26.72	126.3	49.45
106	RC ENV_STR(all)	83	18.86	41.74	223.71	275.29	79.08	98.17
106	RC ENV_STR(all)	78	11.9	145.31	76.97	80.29	46.29	28.86
106	RC ENV_STR(all)	77	24.46	107.07	528.27	84.5	393.36	113.83
107	RC ENV_STR(all)	78	9.72	146.72	76.97	80.29	48.16	28.86
107	RC ENV_STR(all)	84	18.78	42.33	223.71	275.29	84.22	98.17
107	RC ENV_STR(all)	79	22.37	111.3	528.27	83.39	393.36	113.83
108	RC ENV_STR(all)	82	36.6	211.23	62.91	14.04	83.18	17.15
108	RC ENV_STR(all)	83	45.29	68.42	55.86	165.9	26.96	48.25
108	RC ENV_STR(all)	76	14.48	153.09	322.17	123.39	98.07	61.2
109	RC ENV_STR(all)	83	27.11	175.59	308.17	85.53	277.19	67.02
109	RC ENV_STR(all)	84	27.11	175.59	308.17	85.53	277.19	67.02
109	RC ENV_STR(all)	78	54.23	4.66	402.02	22.59	604.84	0.46
110	RC ENV_STR(all)	84	45.29	68.42	55.86	165.9	26.96	48.25
110	RC ENV_STR(all)	85	36.6	211.23	62.91	14.04	83.18	17.15
110	RC ENV_STR(all)	80	14.48	153.09	322.17	123.39	98.07	61.2
111	RC ENV_STR(all)	32	36.45	119.55	284.95	27.59	0	40.42
111	RC ENV_STR(all)	103	76.92	92.77	100.67	0	0	81.52
111	RC ENV_STR(all)	99	14.5	31.93	59.43	0.32	0	10.59
111	RC ENV_STR(all)	22	31.78	180.88	98.07	62.04	0	13.42
112	RC ENV_STR(all)	25	31.78	180.88	98.07	62.04	0	13.42
112	RC ENV_STR(all)	102	14.5	31.93	59.43	0.32	0	10.59
112	RC ENV_STR(all)	104	76.92	92.77	100.67	0	0	81.52
112	RC ENV_STR(all)	43	36.45	119.55	284.95	27.59	0	40.42
113	RC ENV_STR(all)	64	36.81	119.6	282.57	27.47	0	40.53
113	RC ENV_STR(all)	105	78.18	92.87	97.23	0	0	81.85
113	RC ENV_STR(all)	107	14.5	31.96	59.04	0.32	0	10.59

Elem	Load	Node	FX (kN)	FY (kN)	FZ (kN)	MX (kN*m)	MY (kN*m)	MZ (kN*m)
113	RC ENV_STR(all)	82	32.7	180.76	97.21	61.86	0	13.42
114	RC ENV_STR(all)	85	32.7	180.76	97.21	61.86	0	13.42
114	RC ENV_STR(all)	110	14.5	31.96	59.04	0.32	0	10.59
114	RC ENV_STR(all)	106	78.18	92.87	97.23	0	0	81.85
114	RC ENV_STR(all)	75	36.81	119.6	282.57	27.47	0	40.53
115	RC ENV_STR(all)	115	218.88	204.53	221.41	10.75	0	229.78
115	RC ENV_STR(all)	100	69.48	56.03	138.22	25.12	0	27.76
115	RC ENV_STR(all)	23	176.65	259.91	222.71	108.29	0	23.09
115	RC ENV_STR(all)	33	111.08	181.07	308.45	50.69	0	113.94
116	RC ENV_STR(all)	24	176.65	259.91	222.71	108.32	0	22.97
116	RC ENV_STR(all)	101	70	56.03	137.81	25.13	0	27.72
116	RC ENV_STR(all)	124	218.88	204.53	221.41	11.03	0	229.72
116	RC ENV_STR(all)	42	112.16	181.07	307.89	50.81	0	113.89
117	RC ENV_STR(all)	33	109.76	122.19	84.21	0	10.15	21.3
117	RC ENV_STR(all)	115	10.47	258.68	397.54	0	6.55	43.88
117	RC ENV_STR(all)	103	76.92	92.77	100.67	0	0	81.52
117	RC ENV_STR(all)	32	153.72	228.9	555.3	0	10.85	41.5
118	RC ENV_STR(all)	43	153.72	228.9	555.3	0	10.85	41.5
118	RC ENV_STR(all)	104	76.92	92.77	100.67	0	0	81.52
118	RC ENV_STR(all)	124	10.47	258.68	397.54	0	6.55	43.88
118	RC ENV_STR(all)	42	109.76	122.19	84.21	0	10.15	21.3
119	RC ENV_STR(all)	65	108.99	120.21	80.11	0	9.85	22.97
119	RC ENV_STR(all)	125	11.71	249.79	387.76	0	7.08	47.31
119	RC ENV_STR(all)	105	78.18	92.87	97.23	0	0	81.85
119	RC ENV_STR(all)	64	154.46	222.13	544.5	0	10.63	41.7
120	RC ENV_STR(all)	75	154.46	222.13	544.5	0	10.63	41.7
120	RC ENV_STR(all)	106	78.18	92.87	97.23	0	0	81.85
120	RC ENV_STR(all)	134	11.71	249.79	387.76	0	7.08	47.31
120	RC ENV_STR(all)	74	108.99	120.21	80.11	0	9.85	22.97
121	RC ENV_STR(all)	125	203.82	204.28	205.23	10.05	0	226.77
121	RC ENV_STR(all)	108	64.24	56.37	131.7	25.64	0	27.73
121	RC ENV_STR(all)	83	163.53	261.77	199.61	109.37	0	23.37
121	RC ENV_STR(all)	65	103.89	179.81	294.99	51.06	0	112.51
122	RC ENV_STR(all)	84	163.53	261.77	199.61	109.4	0	23.25
122	RC ENV_STR(all)	109	64.76	56.37	131.29	25.64	0	27.69
122	RC ENV_STR(all)	134	203.82	204.28	205.23	10.32	0	226.72
122	RC ENV_STR(all)	74	104.98	179.81	294.44	51.19	0	112.46
123	RC ENV_STR(all)	34	30.11	115.72	61.4	0	19.98	90.03
123	RC ENV_STR(all)	116	152.41	114.27	173.4	0	6.52	148.67
123	RC ENV_STR(all)	115	194.72	66.61	111.51	0	7.23	261.17
123	RC ENV_STR(all)	33	84.29	99.46	211.72	0	23.09	135.21
124	RC ENV_STR(all)	35	92.4	116.02	90.16	0	53.94	24.37
124	RC ENV_STR(all)	117	140.66	105.37	160.85	0	8.23	34.16
124	RC ENV_STR(all)	116	195.88	64.74	20.62	0	19.31	145.03
124	RC ENV_STR(all)	34	110.15	98.59	236.12	0	41.25	93.73
125	RC ENV_STR(all)	36	109.42	170.85	84.24	0	70.68	34.09
125	RC ENV_STR(all)	118	94.44	113.24	149.53	0	6.38	72.48
125	RC ENV_STR(all)	117	140.54	76.69	56.17	0	25.67	28.47
125	RC ENV_STR(all)	35	101.23	141.73	230.3	0	57.33	33.27
126	RC ENV_STR(all)	37	116.12	100.31	157.76	0	81.76	19.65

Elem	Load	Node	FX (kN)	FY (kN)	FZ (kN)	MX (kN*m)	MY (kN*m)	MZ (kN*m)
126	RC ENV_STR(all)	119	38.31	106.11	91	0	1.5	104.58
126	RC ENV_STR(all)	118	78.1	106.09	79.28	0	19.06	77.02
126	RC ENV_STR(all)	36	90.54	104.3	149.68	0	75.29	16.09
127	RC ENV_STR(all)	38	101.91	121.55	167.31	0	81.41	28.84
127	RC ENV_STR(all)	120	29.33	100.62	99.51	0	9.28	106.57
127	RC ENV_STR(all)	119	29.33	100.62	99.51	0	9.28	106.57
127	RC ENV_STR(all)	37	101.91	121.55	167.31	0	81.41	28.84
128	RC ENV_STR(all)	39	90.54	104.3	149.68	0	75.29	16.09
128	RC ENV_STR(all)	121	78.1	106.09	79.28	0	19.06	77.02
128	RC ENV_STR(all)	120	38.31	106.11	91	0	1.5	104.58
128	RC ENV_STR(all)	38	116.12	100.31	157.76	0	81.76	19.65
129	RC ENV_STR(all)	40	101.23	141.73	230.3	0	57.33	33.27
129	RC ENV_STR(all)	122	140.54	76.69	56.17	0	25.67	28.47
129	RC ENV_STR(all)	121	94.44	113.24	149.53	0	6.38	72.48
129	RC ENV_STR(all)	39	109.42	170.85	84.24	0	70.68	34.09
130	RC ENV_STR(all)	41	110.15	98.59	236.12	0	41.25	93.73
130	RC ENV_STR(all)	123	195.88	64.74	20.62	0	19.31	145.03
130	RC ENV_STR(all)	122	140.66	105.37	160.85	0	8.23	34.16
130	RC ENV_STR(all)	40	92.4	116.03	90.16	0	53.94	24.37
131	RC ENV_STR(all)	42	84.29	99.46	211.72	0	23.09	135.21
131	RC ENV_STR(all)	124	194.72	66.61	111.51	0	7.23	261.17
131	RC ENV_STR(all)	123	152.41	114.27	173.4	0	6.52	148.67
131	RC ENV_STR(all)	41	30.11	115.72	61.4	0	19.98	90.03
132	RC ENV_STR(all)	66	28.67	117.25	64.91	0	18.64	90.11
132	RC ENV_STR(all)	126	138.15	109.45	174.05	0	5.06	148.16
132	RC ENV_STR(all)	125	179.82	62.56	115.43	0	7.97	254.59
132	RC ENV_STR(all)	65	84.32	100.77	209.44	0	22	130.29
133	RC ENV_STR(all)	67	86.87	116.25	89.6	0	49.12	26.36
133	RC ENV_STR(all)	127	129.65	100.28	158.99	0	7.07	39.23
133	RC ENV_STR(all)	126	185.25	60.85	19.57	0	17.21	145.18
133	RC ENV_STR(all)	66	112.05	99.58	232.83	0	37.92	91.6
134	RC ENV_STR(all)	68	103.41	170.82	85.36	0	63.95	31.84
134	RC ENV_STR(all)	128	86.97	108.22	148.41	0	5.76	64.98
134	RC ENV_STR(all)	127	134.42	72.57	53.88	0	23.66	34.07
134	RC ENV_STR(all)	67	102.63	142.72	228.92	0	51.86	33.51
135	RC ENV_STR(all)	69	111.89	98.7	158.77	0	73.98	17.35
135	RC ENV_STR(all)	129	34.06	101.21	91.26	0	1.46	96.13
135	RC ENV_STR(all)	128	75.83	101.66	80.29	0	17.63	69.21
135	RC ENV_STR(all)	68	89.54	103.22	149.95	0	68.15	16.94
136	RC ENV_STR(all)	70	99.19	120.94	167.93	0	73.49	27.14
136	RC ENV_STR(all)	130	30.42	95.85	100.14	0	8.54	98.02
136	RC ENV_STR(all)	129	30.42	95.85	100.14	0	8.54	98.02
136	RC ENV_STR(all)	69	99.19	120.94	167.93	0	73.49	27.14
137	RC ENV_STR(all)	71	89.54	103.22	149.95	0	68.15	16.94
137	RC ENV_STR(all)	131	75.83	101.66	80.29	0	17.63	69.21
137	RC ENV_STR(all)	130	34.06	101.21	91.26	0	1.46	96.13
137	RC ENV_STR(all)	70	111.89	98.7	158.77	0	73.98	17.35
138	RC ENV_STR(all)	72	102.63	142.72	228.92	0	51.86	33.51
138	RC ENV_STR(all)	132	134.42	72.57	53.88	0	23.66	34.07
138	RC ENV_STR(all)	131	86.97	108.22	148.41	0	5.76	64.98

Elem	Load	Node	FX (kN)	FY (kN)	FZ (kN)	MX (kN*m)	MY (kN*m)	MZ (kN*m)
138	RC ENV_STR(all)	71	103.41	170.82	85.36	0	63.95	31.84
139	RC ENV_STR(all)	73	112.05	99.58	232.83	0	37.92	91.6
139	RC ENV_STR(all)	133	185.25	60.85	19.57	0	17.21	145.18
139	RC ENV_STR(all)	132	129.65	100.28	158.99	0	7.07	39.23
139	RC ENV_STR(all)	72	86.87	116.26	89.6	0	49.12	26.36
140	RC ENV_STR(all)	74	84.32	100.77	209.44	0	22	130.29
140	RC ENV_STR(all)	134	179.82	62.56	115.43	0	7.97	254.59
140	RC ENV_STR(all)	133	138.15	109.45	174.05	0	5.06	148.16
140	RC ENV_STR(all)	73	28.67	117.25	64.91	0	18.64	90.11
141	RC ENV_STR(all)	99	14.5	31.93	59.43	0.38	0	10.54
141	RC ENV_STR(all)	95	0	0	0	0	0	0
141	RC ENV_STR(all)	87	0	0	0	0	0	0
141	RC ENV_STR(all)	22	14.5	82.91	38.34	47.76	0	59.34
142	RC ENV_STR(all)	100	27.57	80.53	69.24	32.61	0	45.69
142	RC ENV_STR(all)	96	26.38	16.71	13.95	27.4	0	2.6
142	RC ENV_STR(all)	88	0	0	0	0	0	0
142	RC ENV_STR(all)	23	35.42	142.48	82.47	98.03	0	128.73
143	RC ENV_STR(all)	24	23.76	142.48	82.47	96.22	0	129.96
143	RC ENV_STR(all)	89	0	0	0	0	0	0
143	RC ENV_STR(all)	97	24	16.71	14.65	27.19	0	2.9
143	RC ENV_STR(all)	101	19.14	80.53	77.83	32.02	0	46.35
144	RC ENV_STR(all)	25	14.5	82.91	38.34	47.73	0	59.38
144	RC ENV_STR(all)	90	0	0	0	0	0	0
144	RC ENV_STR(all)	98	0	0	0	0	0	0
144	RC ENV_STR(all)	102	14.5	31.93	59.43	0.32	0	10.59
145	RC ENV_STR(all)	107	14.5	31.96	59.04	0.38	0	10.55
145	RC ENV_STR(all)	111	0	0	0	0	0	0
145	RC ENV_STR(all)	91	0	0	0	0	0	0
145	RC ENV_STR(all)	82	14.5	82.89	38.57	47.66	0	59.34
146	RC ENV_STR(all)	108	25.08	80.56	61.18	32.91	0	45.67
146	RC ENV_STR(all)	112	24.56	17.02	14.47	27.57	0	2.63
146	RC ENV_STR(all)	92	0	0	0	0	0	0
146	RC ENV_STR(all)	83	36	142.75	83.81	98.75	0	129.34
147	RC ENV_STR(all)	84	23.89	142.75	83.81	97.23	0	130.57
147	RC ENV_STR(all)	93	0	0	0	0	0	0
147	RC ENV_STR(all)	113	22.18	17.02	16.09	27.37	0	2.93
147	RC ENV_STR(all)	109	16.66	80.56	72.5	32.4	0	46.34
148	RC ENV_STR(all)	85	14.5	82.89	38.57	47.63	0	59.38
148	RC ENV_STR(all)	94	0	0	0	0	0	0
148	RC ENV_STR(all)	114	0	0	0	0	0	0
148	RC ENV_STR(all)	110	14.5	31.96	59.04	0.32	0	10.59
149	RC ENV_STR(all)	201	28.33	40.68	18.17	4.77	0	2.24
149	RC ENV_STR(all)	199	0	0	0	0	0	0
149	RC ENV_STR(all)	96	26.38	16.71	13.95	27.4	0	2.6
149	RC ENV_STR(all)	100	1.94	34.64	23.26	28.78	0	9.95
150	RC ENV_STR(all)	97	26.38	16.71	13.95	27.4	0	2.6
150	RC ENV_STR(all)	200	0	0	0	0	0	0
150	RC ENV_STR(all)	202	28.33	40.68	18.17	4.77	0	2.24
150	RC ENV_STR(all)	101	1.94	34.64	23.26	28.78	0	9.95
151	RC ENV_STR(all)	203	26.28	40.86	17.42	4.85	0	2.6

Elem	Load	Node	FX (kN)	FY (kN)	FZ (kN)	MX (kN*m)	MY (kN*m)	MZ (kN*m)
151	RC ENV_STR(all)	205	0	0	0	0	0	0
151	RC ENV_STR(all)	112	24.56	17.02	14.47	27.57	0	2.63
151	RC ENV_STR(all)	108	1.71	35.13	23.06	28.95	0	10.2
152	RC ENV_STR(all)	113	24.56	17.02	14.47	27.57	0	2.63
152	RC ENV_STR(all)	206	0	0	0	0	0	0
152	RC ENV_STR(all)	204	26.28	40.86	17.42	4.85	0	2.6
152	RC ENV_STR(all)	109	1.71	35.13	23.06	28.95	0	10.2
153	RC ENV_STR(all)	207	50.43	63.92	39.02	0	0	70.37
153	RC ENV_STR(all)	201	28.33	40.68	18.17	4.71	0	2.26
153	RC ENV_STR(all)	100	51.3	10.16	44.35	28.89	0	9.45
153	RC ENV_STR(all)	115	28.25	13.94	90.95	11.03	0	103.08
154	RC ENV_STR(all)	101	51.34	10.16	44.35	28.93	0	9.34
154	RC ENV_STR(all)	202	28.33	40.68	18.17	4.77	0	2.24
154	RC ENV_STR(all)	216	50.43	63.92	39.02	0	0	70.37
154	RC ENV_STR(all)	124	28.36	13.94	90.95	11.03	0	103.08
155	RC ENV_STR(all)	217	47.7	65.13	38.59	0	0	69.1
155	RC ENV_STR(all)	203	26.28	40.86	17.42	4.79	0	2.61
155	RC ENV_STR(all)	108	48.79	10.95	44.14	29.55	0	9.22
155	RC ENV_STR(all)	125	26.41	12.11	90.4	10.32	0	101.87
156	RC ENV_STR(all)	109	48.82	10.95	44.14	29.59	0	9.11
156	RC ENV_STR(all)	204	26.28	40.86	17.42	4.85	0	2.6
156	RC ENV_STR(all)	226	47.7	65.13	38.59	0	0	69.1
156	RC ENV_STR(all)	134	26.52	12.11	90.4	10.32	0	101.87
239	RC ENV_STR(all)	116	52.24	37.74	41.74	0	2.97	12.41
239	RC ENV_STR(all)	208	46.2	24.49	39.78	0	0.77	20.02
239	RC ENV_STR(all)	207	50.43	63.92	39.02	0	0	70.37
239	RC ENV_STR(all)	115	57.57	24.79	58.9	0	0.78	42.5
240	RC ENV_STR(all)	117	3.93	21.22	25.56	0	11.03	7.84
240	RC ENV_STR(all)	209	27.1	34.73	6.24	0	2	3.79
240	RC ENV_STR(all)	208	46.2	24.49	39.78	0	0.77	20.02
240	RC ENV_STR(all)	116	3.2	32.18	16.56	0	9.99	16.34
241	RC ENV_STR(all)	118	9.17	31.11	15.44	0	7.78	10.65
241	RC ENV_STR(all)	210	14.84	35.24	3.94	0	0.94	9.29
241	RC ENV_STR(all)	209	27.1	34.73	6.24	0	2	3.79
241	RC ENV_STR(all)	117	6.39	31.63	10.46	0	6.45	2.18
242	RC ENV_STR(all)	119	6.83	27.66	6.2	0	5.83	11.15
242	RC ENV_STR(all)	211	4.67	45.91	6.57	0	0.35	11.07
242	RC ENV_STR(all)	210	14.84	35.24	3.94	0	0.94	9.29
242	RC ENV_STR(all)	118	1.96	38.32	25.37	0	4.91	6.12
243	RC ENV_STR(all)	120	4.4	33.16	8.08	0	4.82	9.17
243	RC ENV_STR(all)	212	4.67	45.91	6.57	0	0.35	11.07
243	RC ENV_STR(all)	211	4.67	45.91	6.57	0	0.35	11.07
243	RC ENV_STR(all)	119	4.4	33.16	8.08	0	4.82	9.17
244	RC ENV_STR(all)	121	1.96	38.32	25.37	0	4.91	6.12
244	RC ENV_STR(all)	213	14.84	35.24	3.94	0	0.94	9.29
244	RC ENV_STR(all)	212	4.67	45.91	6.57	0	0.35	11.07
244	RC ENV_STR(all)	120	6.83	27.66	6.2	0	5.83	11.15
245	RC ENV_STR(all)	122	6.39	31.63	10.46	0	6.45	2.18
245	RC ENV_STR(all)	214	27.1	34.73	6.24	0	2	3.79
245	RC ENV_STR(all)	213	14.84	35.24	3.94	0	0.94	9.29

Elem	Load	Node	FX (kN)	FY (kN)	FZ (kN)	MX (kN*m)	MY (kN*m)	MZ (kN*m)
245	RC ENV_STR(all)	121	9.17	31.11	15.44	0	7.78	10.65
246	RC ENV_STR(all)	123	3.2	32.18	16.56	0	9.99	16.34
246	RC ENV_STR(all)	215	46.2	24.49	39.78	0	0.77	20.02
246	RC ENV_STR(all)	214	27.1	34.73	6.24	0	2	3.79
246	RC ENV_STR(all)	122	3.93	21.22	25.56	0	11.03	7.84
247	RC ENV_STR(all)	124	57.57	24.79	58.9	0	0.78	42.5
247	RC ENV_STR(all)	216	50.43	63.92	39.02	0	0	70.37
247	RC ENV_STR(all)	215	46.2	24.49	39.78	0	0.77	20.02
247	RC ENV_STR(all)	123	52.24	37.74	41.74	0	2.97	12.41
248	RC ENV_STR(all)	126	51.28	39.32	42.1	0	2.62	12.8
248	RC ENV_STR(all)	218	44	25.51	39.06	0	0.9	19.94
248	RC ENV_STR(all)	217	47.7	65.13	38.59	0	0	69.1
248	RC ENV_STR(all)	125	56.82	23.77	58.06	0	0.99	41.42
249	RC ENV_STR(all)	127	4.35	22.67	25.25	0	10.51	7.03
249	RC ENV_STR(all)	219	25.56	33.37	5.66	0	1.91	3.22
249	RC ENV_STR(all)	218	44	25.51	39.06	0	0.9	19.94
249	RC ENV_STR(all)	126	3.76	30.65	15.87	0	9.68	16.06
250	RC ENV_STR(all)	128	8.65	29.85	15.81	0	7.3	9.77
250	RC ENV_STR(all)	220	13.95	33.4	3.6	0	0.88	8.52
250	RC ENV_STR(all)	219	25.56	33.37	5.66	0	1.91	3.22
250	RC ENV_STR(all)	127	5.74	29.87	10.25	0	6.12	2.46
251	RC ENV_STR(all)	129	6.53	26.02	6.39	0	5.41	10.33
251	RC ENV_STR(all)	221	4.38	43.85	6.48	0	0.33	10.24
251	RC ENV_STR(all)	220	13.95	33.4	3.6	0	0.88	8.52
251	RC ENV_STR(all)	128	1.86	36.47	25.27	0	4.57	5.55
252	RC ENV_STR(all)	130	4.43	31.38	8.14	0	4.45	8.44
252	RC ENV_STR(all)	222	4.38	43.85	6.48	0	0.33	10.24
252	RC ENV_STR(all)	221	4.38	43.85	6.48	0	0.33	10.24
252	RC ENV_STR(all)	129	4.43	31.38	8.14	0	4.45	8.44
253	RC ENV_STR(all)	131	1.86	36.47	25.27	0	4.57	5.55
253	RC ENV_STR(all)	223	13.95	33.4	3.6	0	0.88	8.52
253	RC ENV_STR(all)	222	4.38	43.85	6.48	0	0.33	10.24
253	RC ENV_STR(all)	130	6.53	26.02	6.39	0	5.41	10.33
254	RC ENV_STR(all)	132	5.74	29.87	10.25	0	6.12	2.46
254	RC ENV_STR(all)	224	25.56	33.37	5.66	0	1.91	3.22
254	RC ENV_STR(all)	223	13.95	33.4	3.6	0	0.88	8.52
254	RC ENV_STR(all)	131	8.65	29.85	15.81	0	7.3	9.77
255	RC ENV_STR(all)	133	3.76	30.65	15.87	0	9.68	16.06
255	RC ENV_STR(all)	225	44	25.51	39.06	0	0.9	19.94
255	RC ENV_STR(all)	224	25.56	33.37	5.66	0	1.91	3.22
255	RC ENV_STR(all)	132	4.35	22.67	25.25	0	10.51	7.03
256	RC ENV_STR(all)	134	56.82	23.77	58.06	0	0.99	41.42
256	RC ENV_STR(all)	226	47.7	65.13	38.59	0	0	69.1
256	RC ENV_STR(all)	225	44	25.51	39.06	0	0.9	19.94
256	RC ENV_STR(all)	133	51.28	39.32	42.1	0	2.62	12.8

ზომე-სამირჩვლების მზიდუნარიანობის ანგარიში

განაპირა ბურჯების საძირკვლების ხიმინჯების მზიდუნარიანობისა და ჯდენების პირობები საანგარიშო დატვირთვებისათვის სიმტკიცისა და დეფორმაციების ზღვრული მდგომარეობების მიხედვით შემოწმებულია კომერციულად ხელმისაწვდომ საინჟინო-გეოლოგიურ პროგრამულ მოდულში. საპროექტო ხიმინჯის დერძული მზიდუნარიანობა შემოწმებულია, ასევე, ხელით ანგარიშით, “ექსელის” საანგარიშო მატრიცების გამოყენებით.

ხიმინჯის ანგარიში მოცემულია მაქსიმალურად დატვირთული ხიმინჯისათვის AASHTO LRFD პროექტირების სტანდარტის მიხედვით(იხ. საინჟინრო ანგარიშის ტექსტური ნაწილი).

ხიმინჯის მზიდუნარიანობა შემოწმდა 1000 მმ დიამეტრის ხიმინჯისათვის, რომლის შედეგები დადგებითია, როგორც დეფორმაციების ზღვრული მდგომარეობის პირობისათვის, ასევე კონსტრუქციული სიმტკიცის პიტობით.

სამშენებლო ნახაზები ითვალისწინებს 1000 მმ დიამეტრის ხიმინჯის მშენებლობას. შემოწმებულია მაქსიმალურად დატვირთული როგორც ცალკეული ხიმინჯის, ისე ხიმინჯის ჯგუფის მზიდუნარიანობა.

სახიდე გადასასვლელის მშენებლობა მდ. კუთაისი. წყალტუბო-ხონის ს/გ-ის მე-13 კილომეტრი.
პროექტის საინჟინრო ანგარიში
დანართი 3: სტატიკური ანალიზი და კონსტრუქციული ანგარიშები

1 000 მმ დიამეტრის, 12 მ სიმრბის ხილი

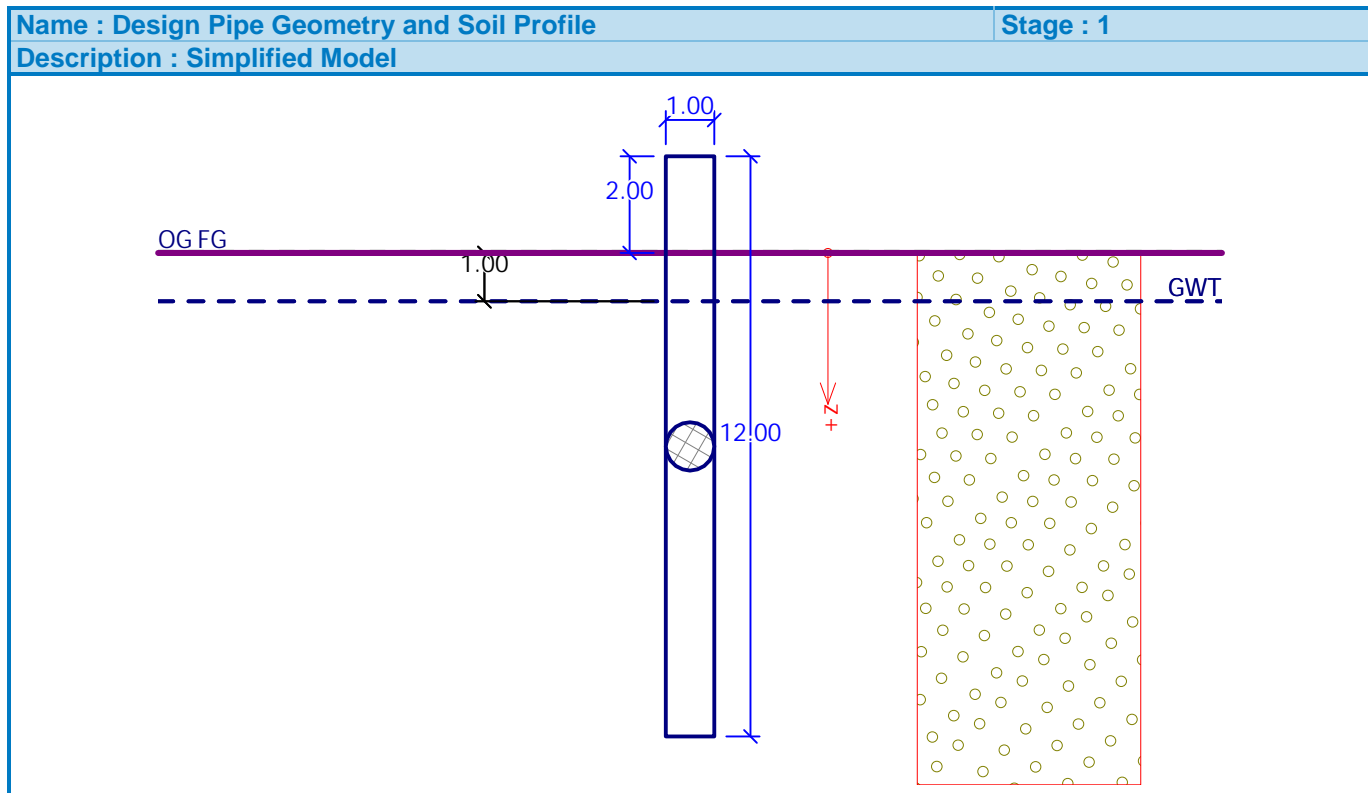
(დადასტურებულია)

Pile verification

Input data

Project

Task : KUKHA Bridge Construction
 Part : Abutment Foundation Design
 Descript. : Pile Verification
 Author : Dimitri Ukleba
 Customer : GoG
 Date : 29.05.2014



Settings

Standard - LRFD

Materials and standards

Concrete structures : ACI 318-11

Piles

Safety factors			
Permanent design situation			
Safety factor for compressive pile :	$SF_{cp} =$	2.00	[–]
Safety factor for tensile pile :	$SF_{tp} =$	3.00	[–]

Basic soil parameters

No.	Name	Pattern	Φ_{ef} [°]	C_{ef} [kPa]	γ [kN/m³]	v [–]
1	EGE - 2: Clayey Gravel		40.00	4.00	20.00	0.25
2	EGE - 1: Stiff Clay		15.20	4.00	18.30	0.40

All soils are considered as cohesionless for at rest pressure analysis.

No.	Name	Pattern	E_{oed} [MPa]	E_{def} [MPa]	γ_{sat} [kN/m ³]	γ_s [kN/m ³]	n [-]
1	EGE - 2: Clayey Gravel		-	100.00	20.00	-	-
2	EGE - 1: Stiff Clay		-	13.16	19.00	-	-

Parameters of soils to compute modulus of subsoil reaction

No.	Name	Pattern	E
1	EGE - 2: Clayey Gravel		100.00
2	EGE - 1: Stiff Clay		50.00

Soil parameters

EGE - 2: Clayey Gravel

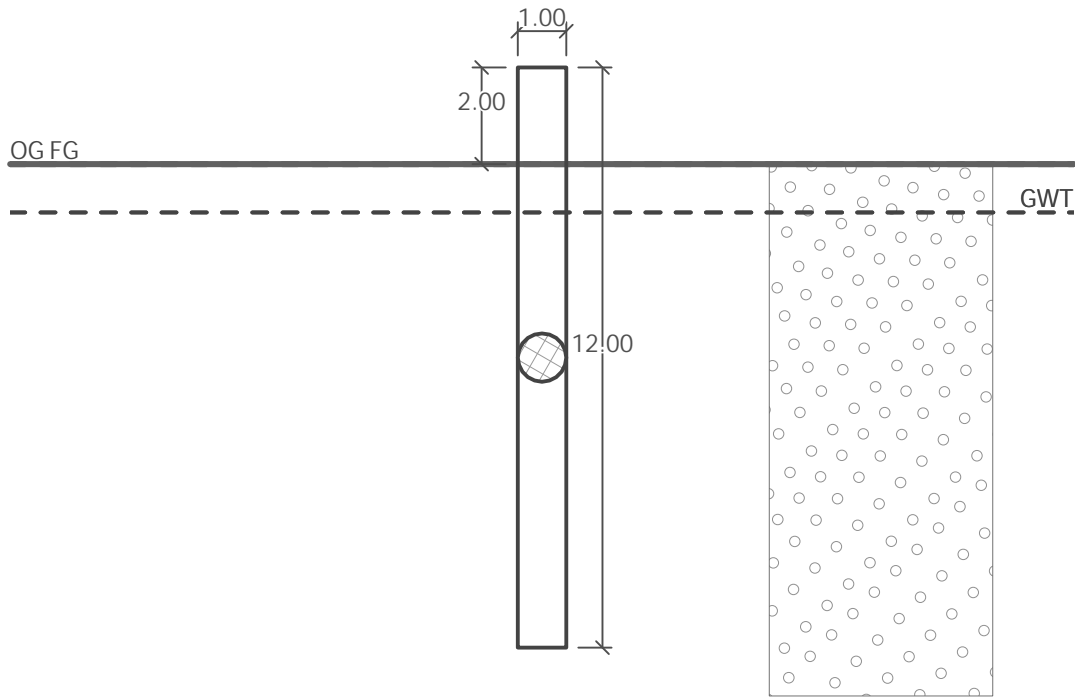
Unit weight : γ = 20.00 kN/m³
 Angle of internal friction : ϕ_{ef} = 40.00 °
 Cohesion of soil : c_{ef} = 4.00 kPa
 Poisson's ratio : ν = 0.25
 Deformation modulus : E_{def} = 100.00 MPa
 Saturated unit weight : γ_{sat} = 20.00 kN/m³
 Elastic modulus : E = 100.00 MPa

EGE - 1: Stiff Clay

Unit weight : γ = 18.30 kN/m³
 Angle of internal friction : ϕ_{ef} = 15.20 °
 Cohesion of soil : c_{ef} = 4.00 kPa
 Poisson's ratio : ν = 0.40
 Deformation modulus : E_{def} = 13.16 MPa
 Saturated unit weight : γ_{sat} = 19.00 kN/m³
 Elastic modulus : E = 50.00 MPa

Name : Soils

Stage : 1



Geometry

Pile profile: circular

Dimensions

Diameter $d = 1.00 \text{ m}$

Length $l = 12.00 \text{ m}$

Location

Off ground height $h = 2.00 \text{ m}$

Depth of finished grade $h_z = 0.00 \text{ m}$

Technology

Piles with excavation of soil from a bore hole

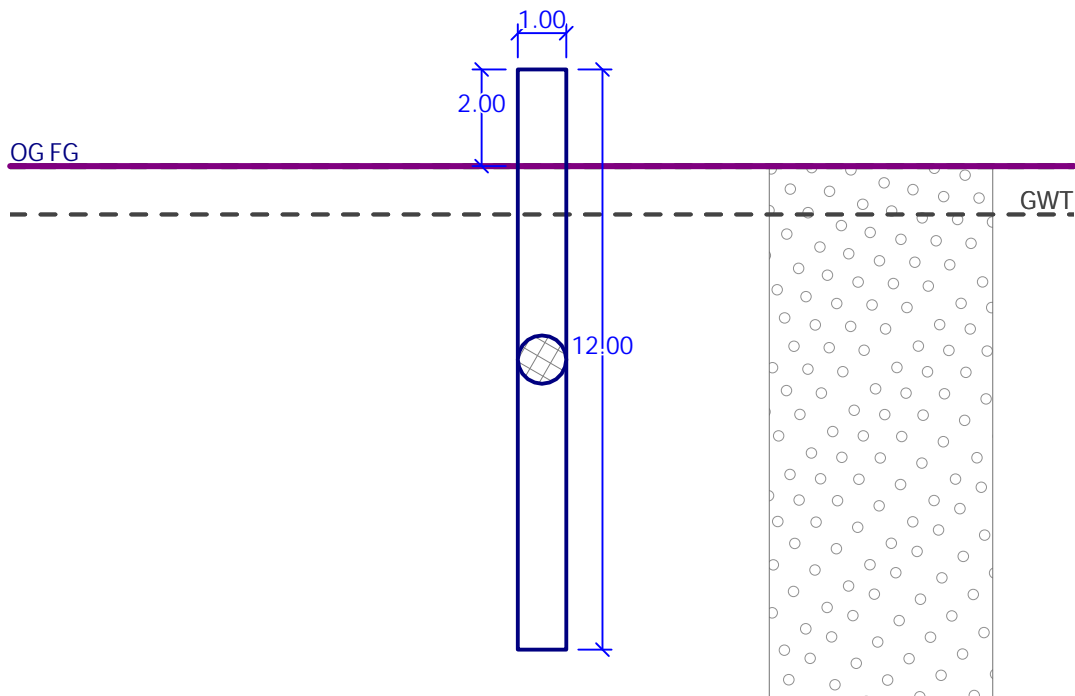
Pile type: continuous flight auger pile

Base resistance reduction = 0.80

Skin resistance reduction = 0.60

Name : Geometry

Stage : 1



Modulus of subsoil reaction considered according to Vesic.

Material of structure

Unit weight $\gamma = 23.00 \text{ kN/m}^3$

Analysis of concrete structures carried out according to the standard ACI 318-11.

Concrete : Concrete ACI

Compressive strength

$$f_c' = 28.00 \text{ MPa}$$

Tensile-bending strength

$$f_r = 3.30 \text{ MPa}$$

Elasticity modulus

$$E_{cm} = 25044.56 \text{ MPa}$$

Shear modulus

$$G = 10518.71 \text{ MPa}$$

Longitudinal steel : A616/60

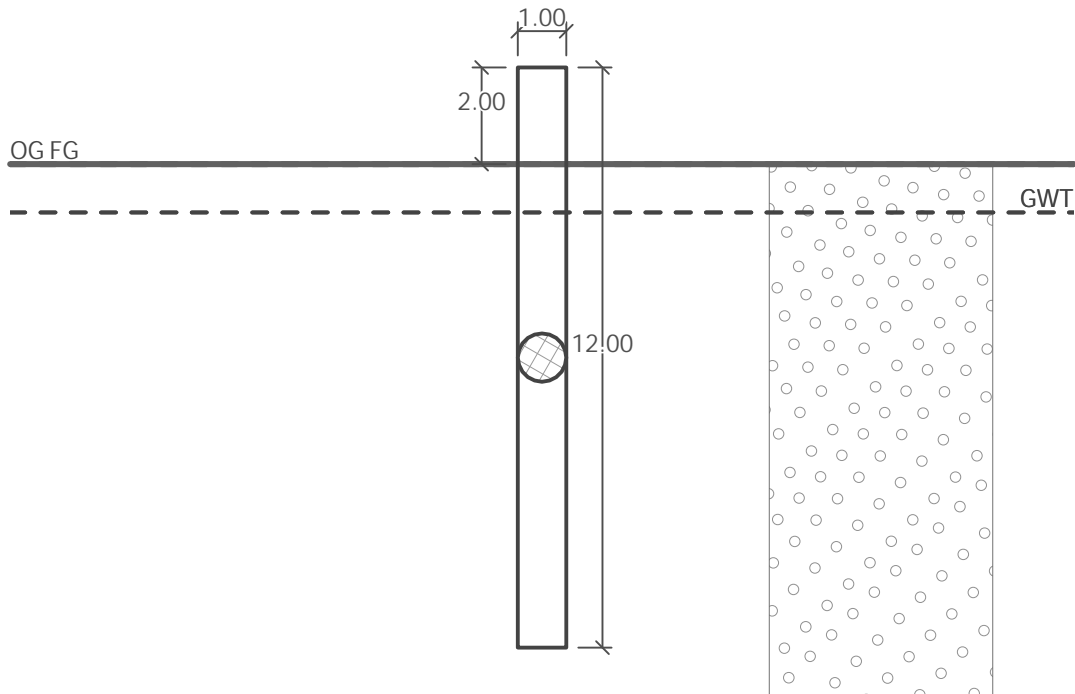
Tensile strength $f_y = 413.69 \text{ MPa}$

Geological profile and assigned soils

No.	Layer [m]	Assigned soil	Pattern
1	-	EGE - 2: Clayey Gravel	[Soil Pattern: A square divided into four quadrants, each containing a small circle.]

Name : Profile and assignment

Stage : 1



Load

No.	Load new change	Name	Type	N [kN]	M _x [kNm]	M _y [kNm]	H _x [kN]	H _y [kN]
1	YES	Load No. 1	Design	2308.41	857.68	45.65	15.38	289.44
2	YES	Load No. 1 - service	Service	1669.60	555.21	5.17	1.61	186.78

Ground water table

The ground water table is at a depth of 1.00 m from the original terrain.

Global settings

Analysis of vertical bearing capacity : spring method

Analysis type : analysis for drained conditions

Settings of the stage of construction

Design situation : permanent

Verification methodology : with reduction of soil parameters (limit states)

Reduction coeff. of internal friction $\gamma_{m\phi} = 1.00$

Reduction coeff. of cohesion $\gamma_{mc} = 1.00$

Verification No. 1

Input data

Maximum displacement 25.0 mm

Coeff. of increase of limit skin friction due to technology 1

Depth of influence zone is post-computed.

Load transfer curve

No.	Load [kN]	Settlement [mm]
1	0.00	0.0
2	533.69	1.3
3	969.46	2.6
4	1229.29	3.4
5	1461.54	4.3
6	1666.62	5.2
7	1844.60	6.0
8	1995.62	6.9
9	2120.00	7.7
10	2217.62	8.6
11	2288.55	9.5
12	3077.35	25.0

Loading Q = 2308.41 kN yields pile settlement 9.8 mm, depth of influence zone below the pile base is 1.33 m (1.327 x D)

Analysis for load F = 533.69 kN

x [m]	Norm. force [kN]	Rel. norm. [-]	Shear [kN]	Rel. shear [-]
0.00	533.69	1.00	0.00	0.00
2.00	533.69	1.00	0.00	0.00
3.00	494.76	0.93	38.93	0.07
4.00	455.93	0.85	77.76	0.15
5.00	417.12	0.78	116.56	0.22
6.00	378.34	0.71	155.34	0.29
7.00	339.59	0.64	194.09	0.36
8.00	300.86	0.56	232.83	0.44
9.00	262.15	0.49	271.53	0.51
10.00	223.45	0.42	310.24	0.58
11.00	184.76	0.35	348.93	0.65
12.00	146.08	0.27	387.60	0.73

Analysis for load F = 969.46 kN

x [m]	Norm. force [kN]	Rel. norm. [-]	Shear [kN]	Rel. shear [-]
0.00	969.46	1.00	0.00	0.00
2.00	969.46	1.00	0.00	0.00
3.00	930.54	0.96	38.93	0.04
4.00	852.07	0.88	117.40	0.12
5.00	773.67	0.80	195.80	0.20
6.00	695.30	0.72	274.17	0.28
7.00	617.02	0.64	352.45	0.36
8.00	538.77	0.56	430.69	0.44
9.00	460.55	0.48	508.92	0.52
10.00	382.36	0.39	587.11	0.61
11.00	304.19	0.31	665.28	0.69
12.00	226.08	0.23	743.39	0.77

Analysis for load F = 1229.29 kN

x [m]	Norm. force [kN]	Rel. norm. [-]	Shear [kN]	Rel. shear [-]
0.00	1229.29	1.00	0.00	0.00
2.00	1229.29	1.00	0.00	0.00
3.00	1190.37	0.97	38.93	0.03
4.00	1111.90	0.90	117.40	0.10
5.00	1007.07	0.82	222.23	0.18
6.00	902.30	0.73	327.00	0.27
7.00	797.55	0.65	431.75	0.35
8.00	692.87	0.56	536.43	0.44
9.00	588.29	0.48	641.01	0.52
10.00	483.76	0.39	745.53	0.61
11.00	379.24	0.31	850.05	0.69
12.00	274.80	0.22	954.50	0.78

Analysis for load F = 1461.54 kN

x [m]	Norm. force [kN]	Rel. norm. [-]	Shear [kN]	Rel. shear [-]
0.00	1461.54	1.00	0.00	0.00
2.00	1461.54	1.00	0.00	0.00
3.00	1422.62	0.97	38.93	0.03
4.00	1344.15	0.92	117.40	0.08
5.00	1239.32	0.85	222.23	0.15
6.00	1108.12	0.76	353.42	0.24
7.00	976.98	0.67	484.56	0.33
8.00	845.92	0.58	615.62	0.42
9.00	714.87	0.49	746.67	0.51
10.00	583.90	0.40	877.65	0.60
11.00	453.02	0.31	1008.53	0.69
12.00	322.19	0.22	1139.35	0.78

Analysis for load F = 1666.62 kN

x [m]	Norm. force [kN]	Rel. norm. [-]	Shear [kN]	Rel. shear [-]
0.00	1666.62	1.00	0.00	0.00
2.00	1666.62	1.00	0.00	0.00
3.00	1627.70	0.98	38.93	0.02
4.00	1549.23	0.93	117.40	0.07
5.00	1444.40	0.87	222.23	0.13
6.00	1313.21	0.79	353.42	0.21
7.00	1155.65	0.69	510.97	0.31
8.00	998.14	0.60	668.48	0.40
9.00	840.73	0.50	825.90	0.50
10.00	683.29	0.41	983.33	0.59
11.00	525.94	0.32	1140.68	0.68
12.00	368.69	0.22	1297.94	0.78

Analysis for load F = 1844.60 kN

x [m]	Norm. force [kN]	Rel. norm. [-]	Shear [kN]	Rel. shear [-]
0.00	1844.60	1.00	0.00	0.00
2.00	1844.60	1.00	0.00	0.00
3.00	1805.67	0.98	38.93	0.02
4.00	1727.20	0.94	117.40	0.06
5.00	1622.37	0.88	222.23	0.12
6.00	1491.18	0.81	353.42	0.19
7.00	1333.63	0.72	510.97	0.28
8.00	1149.72	0.62	694.88	0.38
9.00	965.82	0.52	878.78	0.48
10.00	782.04	0.42	1062.56	0.58
11.00	598.31	0.32	1246.29	0.68
12.00	414.58	0.22	1430.02	0.78

Analysis for load F = 1995.62 kN

x [m]	Norm. force [kN]	Rel. norm. [-]	Shear [kN]	Rel. shear [-]
0.00	1995.62	1.00	0.00	0.00
2.00	1995.62	1.00	0.00	0.00
3.00	1956.69	0.98	38.93	0.02
4.00	1878.22	0.94	117.40	0.06
5.00	1773.39	0.89	222.23	0.11
6.00	1642.20	0.82	353.42	0.18
7.00	1484.65	0.74	510.97	0.26
8.00	1300.74	0.65	694.88	0.35
9.00	1090.46	0.55	905.16	0.45
10.00	880.20	0.44	1115.42	0.56
11.00	670.05	0.34	1325.57	0.66
12.00	459.98	0.23	1535.63	0.77

Analysis for load F = 2120.00 kN

x [m]	Norm. force [kN]	Rel. norm. [-]	Shear [kN]	Rel. shear [-]
0.00	2120.00	1.00	0.00	0.00
2.00	2120.00	1.00	0.00	0.00
3.00	2081.07	0.98	38.93	0.02
4.00	2002.60	0.94	117.40	0.06
5.00	1897.77	0.90	222.23	0.10
6.00	1766.58	0.83	353.42	0.17
7.00	1609.03	0.76	510.97	0.24
8.00	1425.12	0.67	694.88	0.33
9.00	1214.84	0.57	905.16	0.43
10.00	978.21	0.46	1141.79	0.54
11.00	741.58	0.35	1378.42	0.65
12.00	505.06	0.24	1614.94	0.76

Analysis for load F = 2217.62 kN

x [m]	Norm. force [kN]	Rel. norm. [-]	Shear [kN]	Rel. shear [-]
0.00	2217.62	1.00	0.00	0.00
2.00	2217.62	1.00	0.00	0.00
3.00	2178.69	0.98	38.93	0.02
4.00	2100.22	0.95	117.40	0.05
5.00	1995.39	0.90	222.23	0.10
6.00	1864.20	0.84	353.42	0.16
7.00	1706.65	0.77	510.97	0.23
8.00	1522.74	0.69	694.88	0.31
9.00	1312.46	0.59	905.16	0.41
10.00	1075.83	0.49	1141.79	0.51
11.00	812.83	0.37	1404.79	0.63
12.00	549.84	0.25	1667.78	0.75

Analysis for load F = 2288.55 kN

x [m]	Norm. force [kN]	Rel. norm. [-]	Shear [kN]	Rel. shear [-]
0.00	2288.55	1.00	0.00	0.00
2.00	2288.55	1.00	0.00	0.00
3.00	2249.63	0.98	38.93	0.02
4.00	2171.16	0.95	117.40	0.05
5.00	2066.33	0.90	222.23	0.10
6.00	1935.14	0.85	353.42	0.15
7.00	1777.58	0.78	510.97	0.22
8.00	1593.67	0.70	694.88	0.30
9.00	1383.40	0.60	905.16	0.40
10.00	1146.76	0.50	1141.79	0.50
11.00	883.76	0.39	1404.79	0.61
12.00	594.41	0.26	1694.15	0.74

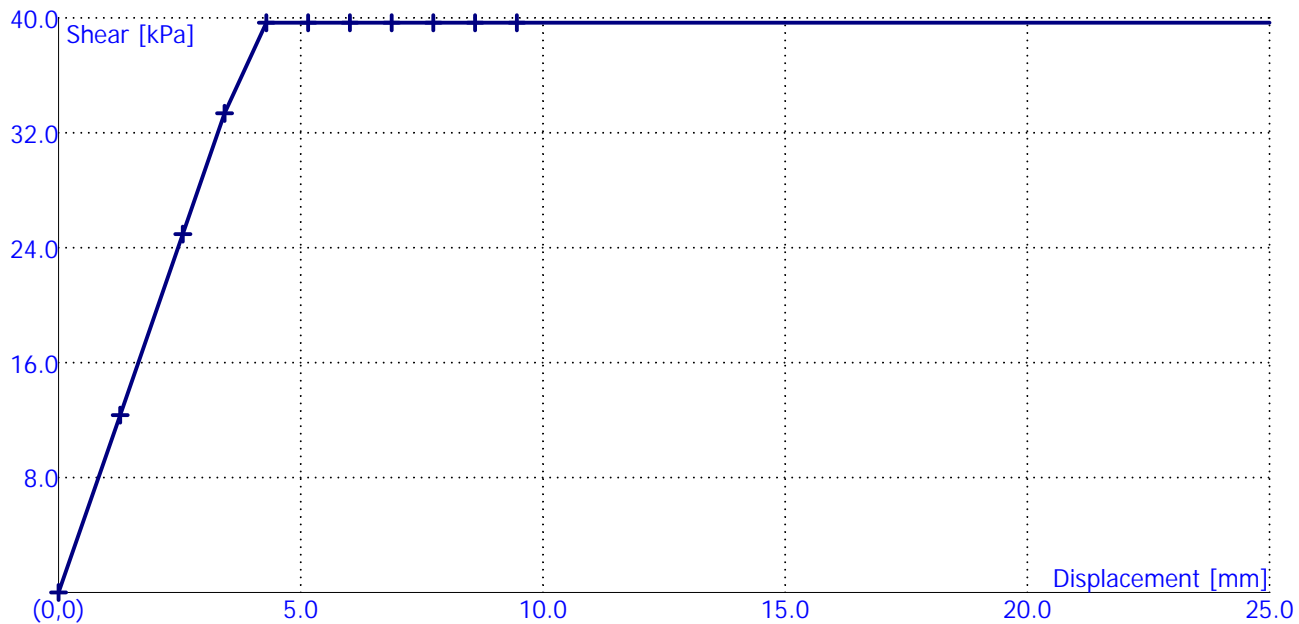
Shear - deformation dependence at a depth of 5.25m

No.	Displacement [mm]	Shear [kPa]
1	0.0	0.00
2	1.3	12.35
3	2.6	24.95
4	3.4	33.35
5	4.3	39.66
6	5.2	39.66
7	6.0	39.66
8	6.9	39.66
9	7.7	39.66
10	8.6	39.66
11	9.5	39.66
12	25.0	39.66

Name : Vert. cap. (springs)

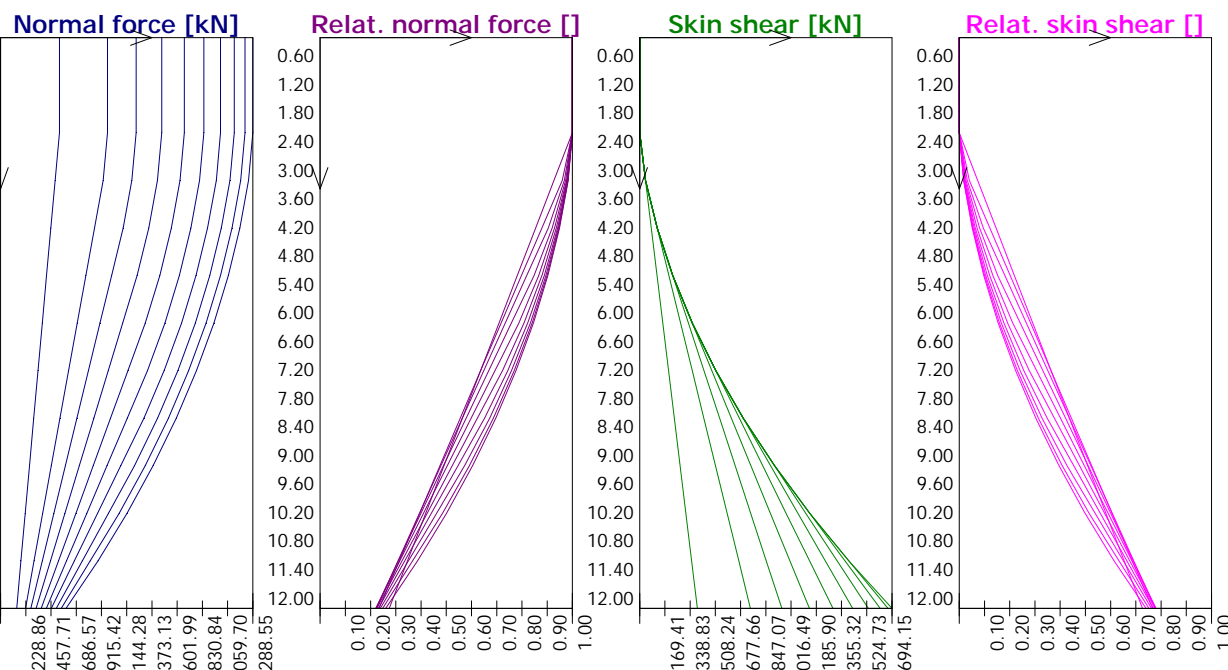
Stage : 1; Verification : 1

Shear - deformation dependence (at a depth of 5.25 m)



Name : Vert. cap. (springs)

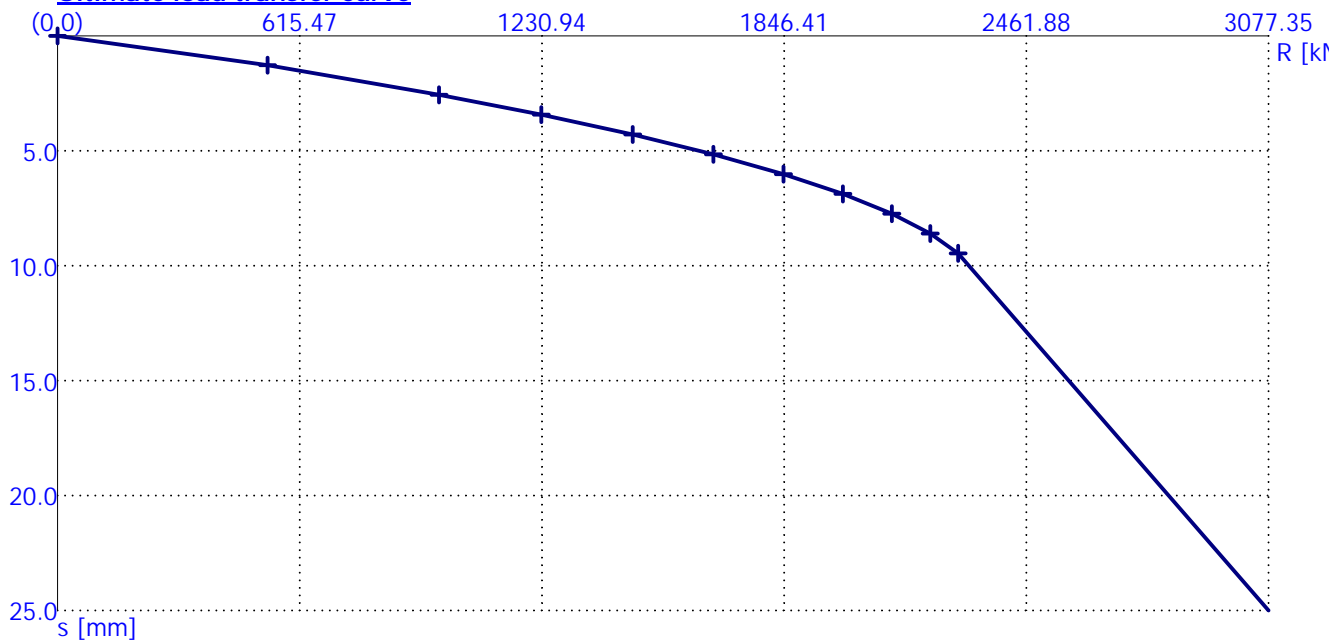
Stage : 1; Verification : 1



Name : Vert. cap. (springs)

Stage : 1; Verification : 1

Ultimate load transfer curve



Pile Axial Capacity Verification			Abutment
Reference 1 AASHTO LRFD-02, 2007			
Reference 2 M.J. Tomlinson, Pile design and construction practice, 5th edition, 2008			
Geotechnical&Hydrological Parameters Brought Forward			
EGE - 2: Clayey Gravel	$h_1 =$	10.00	1
	$h_2 =$		20.00
	$h_3 =$		
	$h_4 =$		
	$h_5 =$		
	$h_6 =$		
Pile length, m, L	12.00		Strata Depth, m, h= 10.00
Pile diam, m, d	1.00		L-h= 2.00
Factored Axial Load			
Self Weight:	231 KN		
Pile Head Reactions (Strength Envelope):	2 308 KN		
Factored Axial Load:	2 540 KN		
Reduced Pile Bearing Capacity			
Side Resistance,KN, $\phi_{qs}R_s$ =	2 076 KN		
Tip Resistance,KN, $\phi_{qp}R_p$ =	544 KN		
Total Resistanse: =	2 620 KN		
Verification Output			OK
			103.2%

Side Resistance,KN, $\phi_{qs} R_s$	2 076	<i>Applicable</i>	1
(Granular soil),KN, $\phi_{qs} R_s$	2 076	0	G
Side resistance factor,dml, ϕ_{qp}	= 0.55	[4], tbl. 10.5.5.2.4-1	
Nominal pile side resistance,KN, $R_s=1000q_s A_s$	= 3 773.695		
Pile Side Friction Area, m^2 , $A_s=\pi d h_i$	31.415		
Relevant Soil Strata thickness,m, h_i			
m, h	= 10.00		
Unit side resistance in relevant soil strata,MPa, $q_s=\beta \sigma_v'$ $\beta=1.5-(7.7\times 10^{-3}\sqrt{z})$ or $\beta=2-0.00082(z)^{0.75}$ {when $N_{60}\geq 15$ }; $\beta=N_{60}/15(1.5-7.7\times 10^{-3}\sqrt{z})$ {when $N_{60}<15$ }		[4], eq. 10.8.3.5.2b-1	
N - from Geotechnical Report:	51.00		
SPT blow count(corrected only for hammer efficiency),dml, $N_{60}=N$	= 51.0000		
Vertical effective stress at soil layer mid depth,MPa, $\sigma_v'=\sum(z_i\gamma_i-h_{wi}\gamma_w)$		$\beta_i \sigma_{vi}', \text{ MPa}$	
$q_s=\beta_i \sigma_{vi}'$	= 0.120	1.1800	0.1018
Soil layer mid depth from the design ground surface, mm, z_i		h_{wi} - Thickness of present subsurface water	
z	= 10 000.00	h_{w1}	10.00

Tip Resistance,KN, $\phi_{qp}R_p$	544	<i>Applicable</i>	1
(Granular Soil),KN, $\phi_{qp}R_p$ 544			
Tip resistance factor,dml, ϕ_{qp}	0.50	[4], tbl. 10.5.5.2.4-1	
Nominal pile tip resistance,KN, $R_p=1000q_pA_p$	1 088.910		
Area of pile tip,m ² , $A_p=A$	0.785		
Unit tip resistance,MPa,	= 1.39	[4], eq. 10.8.3.5.2c-1	
$q_p=1.2N_{60}$ or $q_p=0.59(N_{60}P_a/\sigma_v')^{0.8}\sigma_v'$		[4], eq. 10.8.3.5.2c-2	
SPT blow count (corrected only for hammer efficiency),dml, $N_{60}=N$	51.00	Geotechnical Report	
Atmospheric pressure, MPa, $P_a=0.101 = 0.101$			
Vertical effective stress at the tip elevation of pile,MPa, $\sigma_v'=\sum(h_i\gamma_i-h_{wi}\gamma_w)$	0.102	h_{wi} - Thickness of present subsurface water	
			h_{w1} 10.00

სახიდე გადასასვლელის მშენებლობა მდ. კუთაისი. წყალტუბო-ხონის ს/გ-ის მე-13 კილომეტრი.
პროექტის საინჟინრო ანგარიში
დანართი 3: სტატიკური ანალიზი და კონსტრუქციული ანგარიშები

ხილის ჯაჭვის ანგარიში (10 ცალი 1000 მმ დღა. ხილის როსტვერპლი)

(დადასტურებულია)

Verification of pile group

Input data

Project

Task : KUKHA Bridge Construction
 Part : Abutment Design
 Descript. : Pile Groupe Verification
 Author : Dimitri Ukleba
 Customer : GoG
 Date : 02.06.2014

Settings

Standard - LRFD

Materials and standards

Concrete structures : ACI 318-11

Pile group

Analysis for drained conditions : NAVFAC DM 7.2
 Efficiency of pile group : La Barré (CSN 73 1002)
 Verification methodology : Safety factors (ASD)

Safety factors		Permanent design situation	
Safety factor :		SF _{cp} =	2.00 [-]

Soil parameters

EGE - 4: Sandy Clay

Unit weight : γ = 19.50 kN/m³
 Deformation modulus : E_{def} = 6.50 MPa
 Poisson's ratio : ν = 0.30
 Saturated unit weight : γ_{sat} = 20.00 kN/m³
 Cohesion of soil : c_u = 186.50 kPa
 Adhesion factor : α = 0.52
 Angle of internal friction : φ_{ef} = 35.00 °

EGE - 6: Gravel

Unit weight : γ = 20.00 kN/m³
 Deformation modulus : E_{def} = 90.00 MPa
 Poisson's ratio : ν = 0.30
 Saturated unit weight : γ_{sat} = 20.00 kN/m³
 Angle of internal friction : φ_{ef} = 44.00 °

EGE - 5: Gravelly Clay

Unit weight : γ = 19.00 kN/m³
 Deformation modulus : E_{def} = 90.00 MPa
 Poisson's ratio : ν = 0.30
 Saturated unit weight : γ_{sat} = 20.00 kN/m³
 Cohesion of soil : c_u = 199.50 kPa
 Adhesion factor : α = 0.50
 Angle of internal friction : φ_{ef} = 44.00 °

EGE - 2: Stiff Clay

Unit weight : γ = 18.50 kN/m³
 Deformation modulus : E_{def} = 9.80 MPa
 Poisson's ratio : ν = 0.30
 Saturated unit weight : γ_{sat} = 19.00 kN/m³

Cohesion of soil : $c_u = 69.00 \text{ kPa}$
 Adhesion factor : $\alpha = 0.55$
 Angle of internal friction : $\phi_{ef} = 35.00^\circ$

EGE - 3: Semi Firm Clay

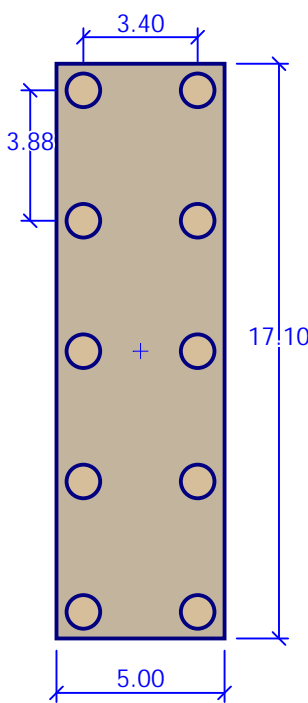
Unit weight : $\gamma = 18.90 \text{ kN/m}^3$
 Deformation modulus : $E_{def} = 9.50 \text{ MPa}$
 Poisson's ratio : $\nu = 0.30$
 Saturated unit weight : $\gamma_{sat} = 19.00 \text{ kN/m}^3$
 Cohesion of soil : $c_u = 86.00 \text{ kPa}$
 Adhesion factor : $\alpha = 0.55$
 Angle of internal friction : $\phi_{ef} = 35.00^\circ$

Construction

Width of pile cap $b_x = 5.00 \text{ m}$
 $b_y = 17.10 \text{ m}$
 Pile diameter $d = 1.00 \text{ m}$
 Number of piles $n_x = 2$
 $n_y = 5$
 Spacing of piles $s_x = 3.40 \text{ m}$
 $s_y = 3.88 \text{ m}$

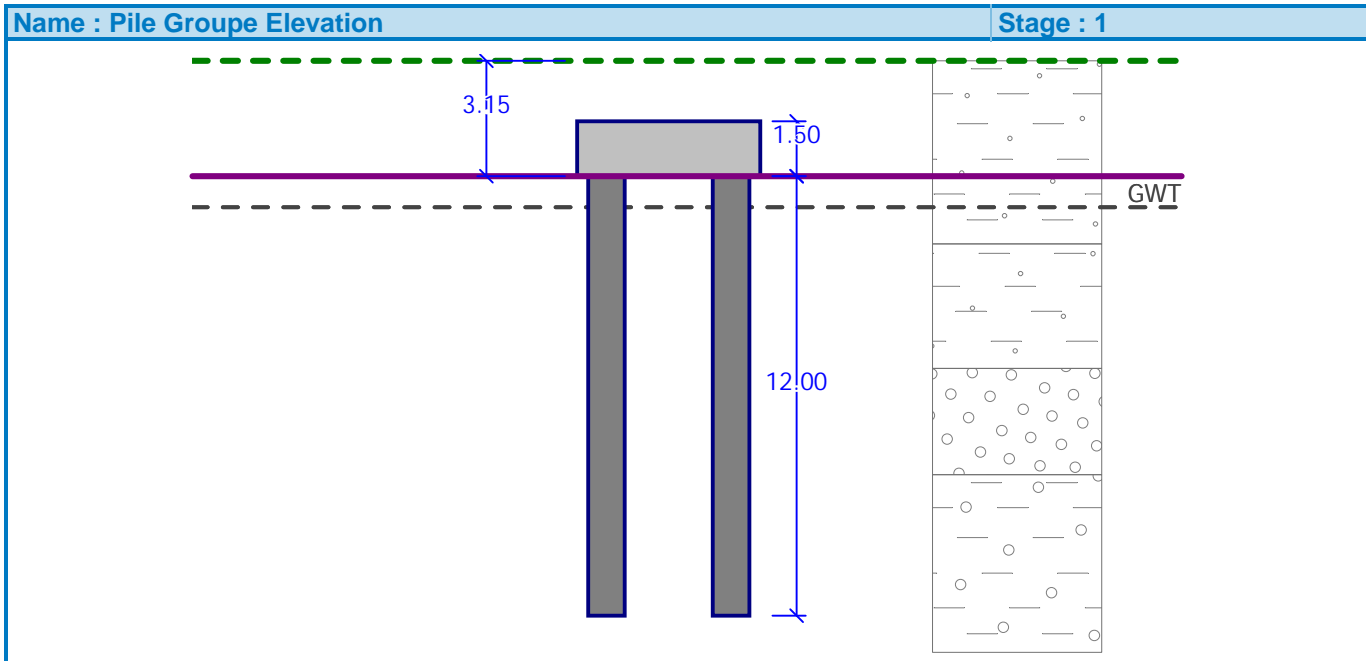
Name : Pile Groupe Layout

Stage : 1



Geometry

Depth from ground surface $h_z = 3.15 \text{ m}$
 Pile head offset $h = 0.00 \text{ m}$
 Thickness of pile cap $t = 1.50 \text{ m}$
 Length of piles $l = 12.00 \text{ m}$



Material of structure

Unit weight $\gamma = 25.00 \text{ kN/m}^3$

Analysis of concrete structures carried out according to the standard ACI 318-11.

Concrete : Concrete ACI

Compressive strength

$$f_c' = 30.00 \text{ MPa}$$

Tensile-bending strength

$$f_r = 3.41 \text{ MPa}$$

Elasticity modulus

$$E_{cm} = 25923.58 \text{ MPa}$$

Shear modulus

$$G = 10887.90 \text{ MPa}$$

Longitudinal steel : A615/40

Tensile strength

$$f_y = 275.79 \text{ MPa}$$

Horizontal modulus of subsoil reaction

Depth [m]	k_h [MN/m ³]
0.00	0.00
10.00	10.00
12.00	10.00

Determination of vertical springs

Shear modulus of subsoil reaction

Depth [m]	k_v [MN/m ³]
0.00	0.00
10.00	10.00
12.00	10.00

Geological profile and assigned soils

No.	Layer [m]	Assigned soil	Pattern
1	5.00	EGE - 2: Stiff Clay	

No.	Layer [m]	Assigned soil	Pattern
2	3.40	EGE - 3: Semi Firm Clay	
3	2.90	EGE - 6: Gravel	
4	-	EGE - 5: Gravelly Clay	

Load

No.	Load new change	Name	Type	N [kN]	M _x [kNm]	M _y [kNm]	H _x [kN]	H _y [kN]	M _z [kNm]
1	YES	Load No. 1	Design	6400.00	500.00	500.00	500.00	500.00	20.00
2	YES	Load No. 1 - service	Service	6166.67	416.67	416.67	416.67	416.67	20.00

Ground water table

The ground water table is at a depth of 4.00 m from the original terrain.

Global settings

Analysis type : analytical solution

Type of soil : cohesionless soil

Settings of the stage of construction

Design situation : permanent

Verification No. 1

Analysis of bearing capacity - input data

Analysis carried out with an automatic selection of the most unfavorable load cases.

Factor determining critical depth : $k_{dc} = 1.00$

Factor of bearing capacity N_q was computed.

Analysis of bearing capacity of pile group in cohesionless soils

Max. vertical force includes self-weight of pile cap.

Pile skin bearing capacity $R_s = 2135.53$ kN

Pile base bearing capacity $R_b = 1410.18$ kN

Vertical bearing capacity of single pile $R_c = 3545.71$ kN

Efficiency of pile group $\eta_g = 0.78$

Vertical bearing capacity of pile group $R_g = 27589.54$ kN

Maximum vertical force $V_d = 9693.69$ kN

Safety factor = 2.85 > 2.00

Vertical bearing capacity of pile group is SATISFACTORY

სახიდე გადასასვლელის მშენებლობა მდ. კუთაისი. წყალტუბო-ხონის ს/გ-ის მე-13 კილომეტრი.
პროექტის საინჟინრო ანგარიში
დანართი 3: სტატიკური ანალიზი და კონსტრუქციული ანგარიშები

პონსტრუქციული ანგარიშები

კონსტრუქციული ანგარიშები ჩატარებულია მზიდი ელემენტებისათვის:

1. წინასწარდამზადებული რკინაბეტონის კოჭი
2. ხიმინჯი
3. განაპირა ბურჯის როსტვერკი
4. განაპირა ბურჯის კედელი
5. ფრთები
6. რკინაბეტონის სარეგულაციო კედლები

შემოწმებულია მზიდი ელემენტების დანიშნული კვეთებისა და არმატურის მზიდუნარიანობა სიმტკიცისა და დეფორმაციების ზღვრული მდგომარეობების პირობებისათვის.

სახიდე გადასასვლელის მშენებლობა მდ. კუთაისი. წყალტუბო-ხონის ს/გ-ის მე-13 კილომეტრი.
პროექტის საინჟინრო ანგარიში
დანართი 3: სტატიკური ანალიზი და კონსტრუქციული ანგარიშები

სისტემატიკური რეკომენდაციები

	Company		Project Title	
	Author		File Name	Z:\...KUKHA Main Girder Design.mcb

1. Design Information

Member Number: 23

Design Code : AASHTO-LRFD02

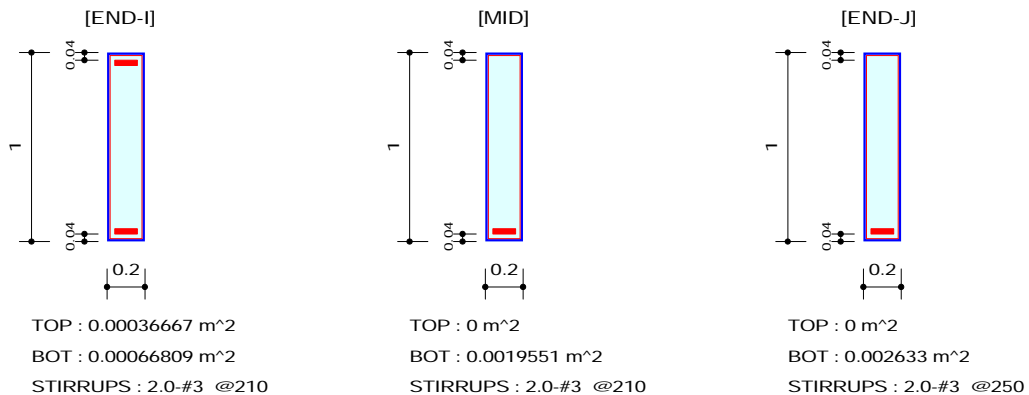
Unit System : kN, m

Material Data : $f'_c = 34473.8$, $f_y = 413686$, $f_{ys} = 413686$ KPa

Beam Span : 2.4 m

Section Property: T-Girder (No : 1)

2. Section Diagram



3. Bending Moment Capacity

	END-I	MID	END-J
Negative Moment (M_u)	18.81	0.00	0.00
Load Combination No.	3-	27-	27-
Strength (M_r)	129.04	0.00	0.00
Check Ratio (M_u/M_r)	0.1457	0.0000	0.0000
Positive Moment (M_u)	226.54	630.07	829.92
Load Combination No.	1+	1+	1+
Strength (M_r)	232.25	647.61	849.26
Check Ratio (M_u/M_r)	0.9754	0.9729	0.9772
Required Top As	0.0004	0.0000	0.0000
Required Bot As	0.0007	0.0020	0.0026

4. Shear Capacity

	END-I	MID	END-J
Factored Shear Force (V_u)	376.20	363.94	329.68
Shear Strength by Conc.(ΦV_c)	138.70	137.67	138.02
Shear Strength by Rebar.(ΦV_s)	240.90	239.11	203.39
Required Shear Reinf. (A_v)	0.0007	0.0007	0.0006
Required Stirrups Spacing	2.0-#3 @210	2.0-#3 @210	2.0-#3 @250
Check Ratio	0.9911	0.9659	0.9656

	Company		Project Title	
	Author		File Name	Z:\...KUKHA Main Girder Design.mcb

1. Design Information

Member Number: 24

Design Code : AASHTO-LRFD02

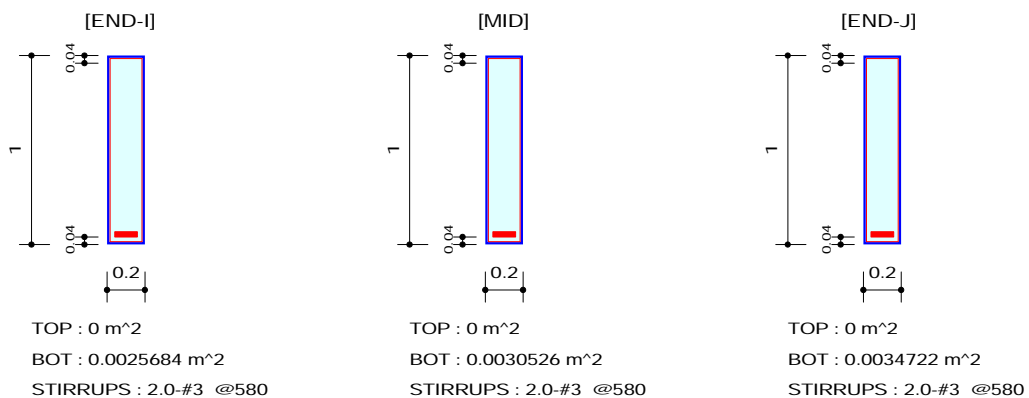
Unit System : kN, m

Material Data : $f'_c = 34473.8$, $f_y = 413686$, $f_{ys} = 413686$ KPa

Beam Span : 2.4 m

Section Property: T-Girder (No : 1)

2. Section Diagram



3. Bending Moment Capacity

	END-I	MID	END-J
Negative Moment (M_u)	0.00	0.00	0.00
Load Combination No.	27-	27-	27-
Strength (M_r)	0.00	0.00	0.00
Check Ratio (M_u/M_r)	0.0000	0.0000	0.0000
Positive Moment (M_u)	812.90	939.76	1049.48
Load Combination No.	1+	1+	1+
Strength (M_r)	831.24	967.28	1080.80
Check Ratio (M_u/M_r)	0.9779	0.9716	0.9710
Required Top As	0.0000	0.0000	0.0000
Required Bot As	0.0026	0.0031	0.0035

4. Shear Capacity

	END-I	MID	END-J
Factored Shear Force (V_u)	265.15	252.89	228.36
Shear Strength by Conc.(ΦV_c)	169.27	170.52	169.71
Shear Strength by Rebar.(ΦV_s)	104.52	105.57	105.02
Required Shear Reinf. (Av)	0.0002	0.0002	0.0002
Required Stirrups Spacing	2.0-#3 @580	2.0-#3 @580	2.0-#3 @580
Check Ratio	0.9685	0.9159	0.8312

	Company		Project Title	
	Author		File Name	Z:\...KUKHA Main Girder Design.mcb

1. Design Information

Member Number: 25

Design Code : AASHTO-LRFD02

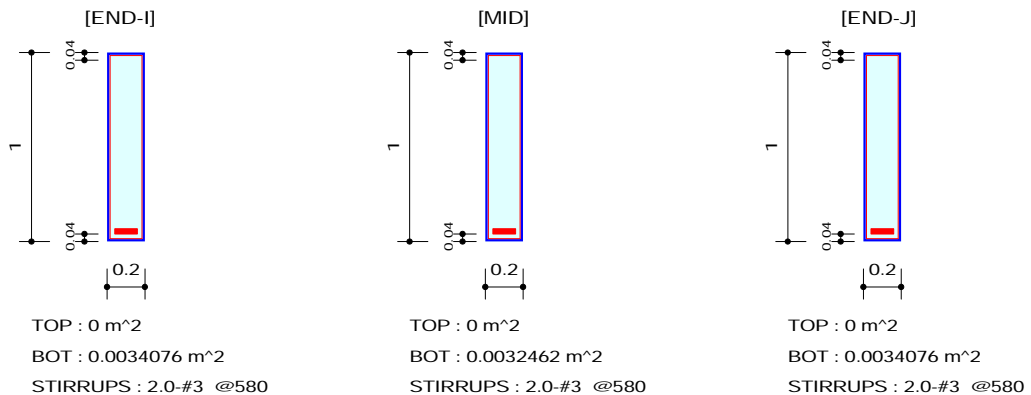
Unit System : kN, m

Material Data : $f'_c = 34473.8$, $f_y = 413686$, $f_{ys} = 413686$ KPa

Beam Span : 2.4 m

Section Property: T-Girder (No : 1)

2. Section Diagram



3. Bending Moment Capacity

	END-I	MID	END-J
Negative Moment (M_u)	0.00	0.00	0.00
Load Combination No.	27-	27-	27-
Strength (M_r)	0.00	0.00	0.00
Check Ratio (M_u/M_r)	0.0000	0.0000	0.0000
Positive Moment (M_u)	1038.94	996.21	1038.94
Load Combination No.	1+	1+	1+
Strength (M_r)	1064.07	1018.85	1064.07
Check Ratio (M_u/M_r)	0.9764	0.9778	0.9764
Required Top As	0.0000	0.0000	0.0000
Required Bot As	0.0034	0.0032	0.0034

4. Shear Capacity

	END-I	MID	END-J
Factored Shear Force (V_u)	188.31	176.04	188.31
Shear Strength by Conc.(ΦV_c)	173.25	170.93	168.89
Shear Strength by Rebar.(ΦV_s)	107.68	107.84	105.95
Required Shear Reinf. (Av)	0.0002	0.0002	0.0002
Required Stirrups Spacing	2.0-#3 @580	2.0-#3 @580	2.0-#3 @580
Check Ratio	0.6703	0.6315	0.6851

	Company		Project Title	
	Author		File Name	Z:\...KUKHA Main Girder Design.mcb

1. Design Information

Member Number: 26

Design Code : AASHTO-LRFD02

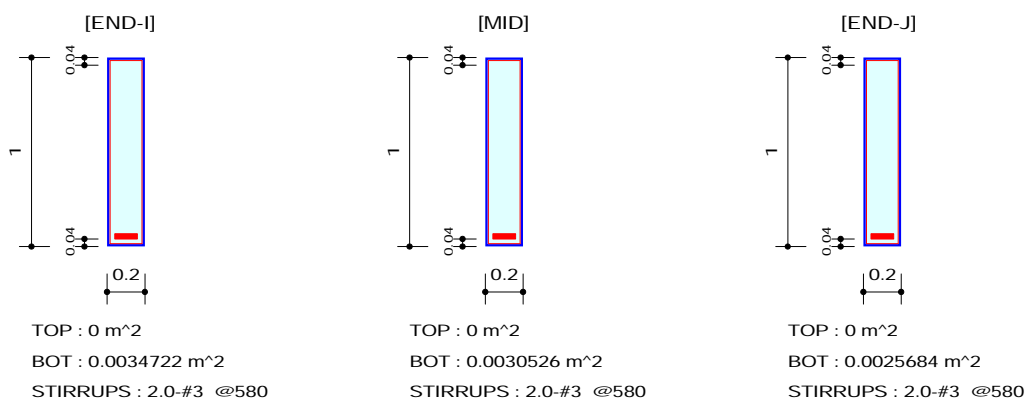
Unit System : kN, m

Material Data : $f'_c = 34473.8$, $f_y = 413686$, $f_{ys} = 413686$ KPa

Beam Span : 2.4 m

Section Property: T-Girder (No : 1)

2. Section Diagram



3. Bending Moment Capacity

	END-I	MID	END-J
Negative Moment (M_u)	0.00	0.00	0.00
Load Combination No.	27-	27-	27-
Strength (M_r)	0.00	0.00	0.00
Check Ratio (M_u/M_r)	0.0000	0.0000	0.0000
Positive Moment (M_u)	1049.48	939.76	812.90
Load Combination No.	1+	1+	1+
Strength (M_r)	1080.80	967.28	831.24
Check Ratio (M_u/M_r)	0.9710	0.9716	0.9779
Required Top As	0.0000	0.0000	0.0000
Required Bot As	0.0035	0.0031	0.0026

4. Shear Capacity

	END-I	MID	END-J
Factored Shear Force (V_u)	228.36	252.89	265.15
Shear Strength by Conc.(ΦV_c)	168.41	171.21	166.94
Shear Strength by Rebar.(ΦV_s)	105.57	108.11	104.24
Required Shear Reinf. (Av)	0.0002	0.0002	0.0002
Required Stirrups Spacing	2.0-#3 @580	2.0-#3 @580	2.0-#3 @580
Check Ratio	0.8335	0.9054	0.9778

	Company		Project Title	
	Author		File Name	Z:\...KUKHA Main Girder Design.mcb

1. Design Information

Member Number: 27

Design Code : AASHTO-LRFD02

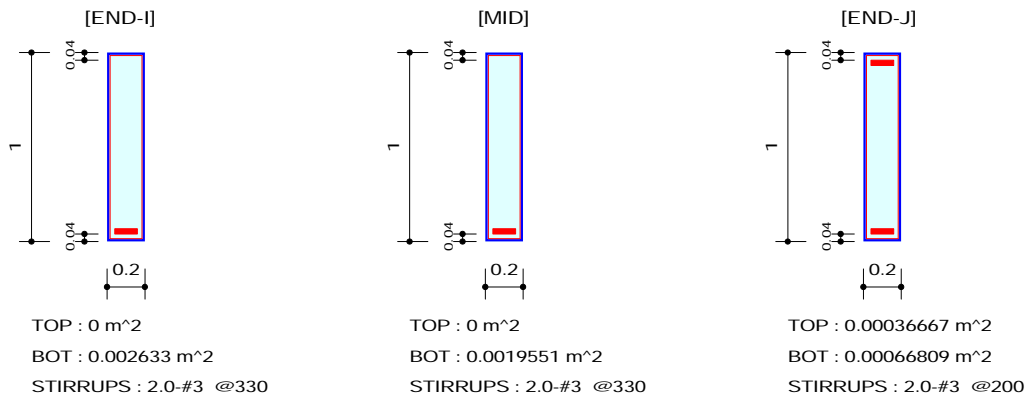
Unit System : kN, m

Material Data : $f'_c = 34473.8$, $f_y = 413686$, $f_{ys} = 413686$ KPa

Beam Span : 2.4 m

Section Property: T-Girder (No : 1)

2. Section Diagram



3. Bending Moment Capacity

	END-I	MID	END-J
Negative Moment (M_u)	0.00	0.00	18.81
Load Combination No.	27-	27-	3-
Strength (M_r)	0.00	0.00	129.04
Check Ratio (M_u/M_r)	0.0000	0.0000	0.1457
Positive Moment (M_u)	829.92	630.07	226.54
Load Combination No.	1+	1+	1+
Strength (M_r)	849.26	647.61	232.25
Check Ratio (M_u/M_r)	0.9772	0.9729	0.9754
Required Top As	0.0000	0.0000	0.0004
Required Bot As	0.0026	0.0020	0.0007

4. Shear Capacity

	END-I	MID	END-J
Factored Shear Force (V_u)	339.40	363.94	376.20
Shear Strength by Conc.(ΦV_c)	164.28	177.51	137.16
Shear Strength by Rebar.(ΦV_s)	180.94	198.81	253.10
Required Shear Reinf. (A_v)	0.0004	0.0004	0.0007
Required Stirrups Spacing	2.0-#3 @330	2.0-#3 @330	2.0-#3 @200
Check Ratio	0.9831	0.9671	0.9640

	Company		Project Title	
	Author		File Name	Z:\...KUKHA Main Girder Design.mcb

1. Design Information

Member Number: 23

Design Code : AASHTO-LRFD02

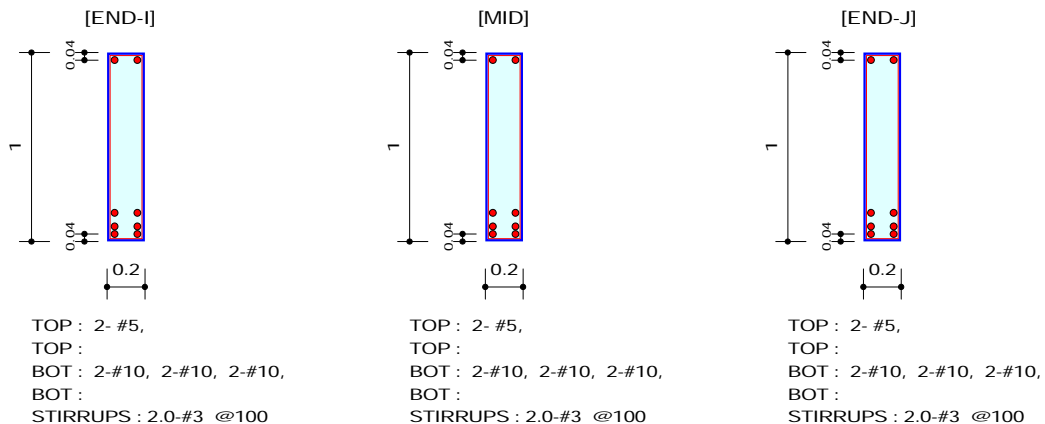
Unit System : kN, m

Material Data : $f'_c = 34473.8$, $f_y = 413686$, $f_{ys} = 413686$ KPa

Beam Span : 2.4 m

Section Property: T-Girder (No : 1)

2. Section Diagram



3. Bending Moment Capacity

	END-I	MID	END-J
Negative Moment (M_u)	18.81	0.00	0.00
Load Combination No.	3-	27-	27-
Strength (M_r)	140.59	0.00	140.59
Check Ratio (M_u/M_r)	0.1338	0.0000	0.0000
Positive Moment (M_u)	226.54	630.07	829.92
Load Combination No.	1+	1+	1+
Strength (M_r)	1347.08	1347.08	1347.08
Check Ratio (M_u/M_r)	0.1682	0.4677	0.6161
Using Rebar Top (As_top)	0.0004	0.0000	0.0004
Using Rebar Bot (As_bot)	0.0049	0.0049	0.0049

4. Shear Capacity

	END-I	MID	END-J
Factored Shear Force (V_u)	376.20	363.94	339.40
Shear Strength by Conc.(ΦV_c)	196.29	198.39	202.56
Shear Strength by Rebar.(ΦV_s)	795.46	802.31	816.28
Using Shear Reinf. (Av)	0.0014	0.0014	0.0014
Using Stirrups Spacing	2.0-#3 @100	2.0-#3 @100	2.0-#3 @100
Check Ratio	0.3793	0.3637	0.3331

	Company		Project Title	
	Author		File Name	Z:\...KUKHA Main Girder Design.mcb

1. Design Information

Member Number: 24

Design Code : AASHTO-LRFD02

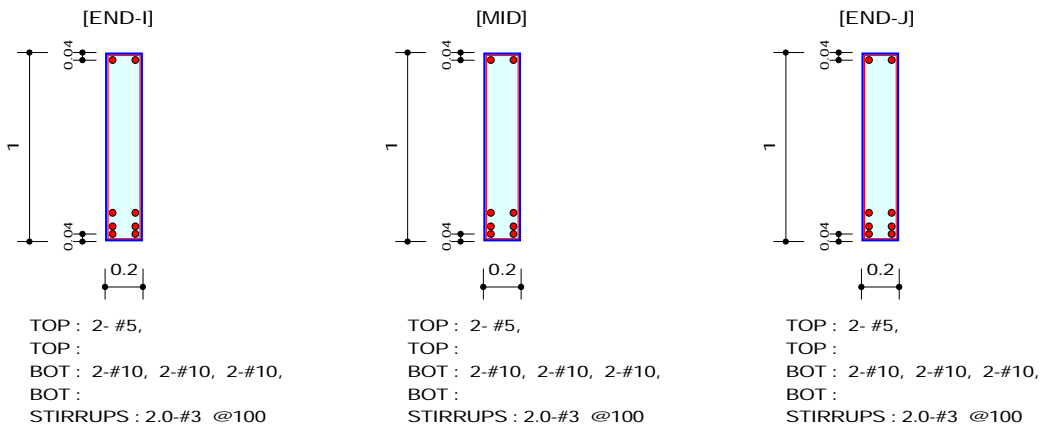
Unit System : kN, m

Material Data : $f'_c = 34473.8$, $f_y = 413686$, $f_{ys} = 413686$ KPa

Beam Span : 2.4 m

Section Property: T-Girder (No : 1)

2. Section Diagram



3. Bending Moment Capacity

	END-I	MID	END-J
Negative Moment (M_u)	0.00	0.00	0.00
Load Combination No.	27-	27-	27-
Strength (M_r)	140.59	0.00	140.59
Check Ratio (M_u/M_r)	0.0000	0.0000	0.0000
Positive Moment (M_u)	812.90	939.76	1049.48
Load Combination No.	1+	1+	1+
Strength (M_r)	1347.08	1347.08	1347.08
Check Ratio (M_u/M_r)	0.6035	0.6976	0.7791
Using Rebar Top (As_top)	0.0004	0.0000	0.0004
Using Rebar Bot (As_bot)	0.0049	0.0049	0.0049

4. Shear Capacity

	END-I	MID	END-J
Factored Shear Force (V_u)	265.15	252.89	228.36
Shear Strength by Conc.(ΦV_c)	206.24	201.93	200.02
Shear Strength by Rebar.(ΦV_s)	836.33	812.92	802.90
Using Shear Reinf. (Av)	0.0014	0.0014	0.0014
Using Stirrups Spacing	2.0-#3 @100	2.0-#3 @100	2.0-#3 @100
Check Ratio	0.2543	0.2492	0.2277

	Company		Project Title	
	Author		File Name	Z:\...KUKHA Main Girder Design.mcb

1. Design Information

Member Number: 25

Design Code : AASHTO-LRFD02

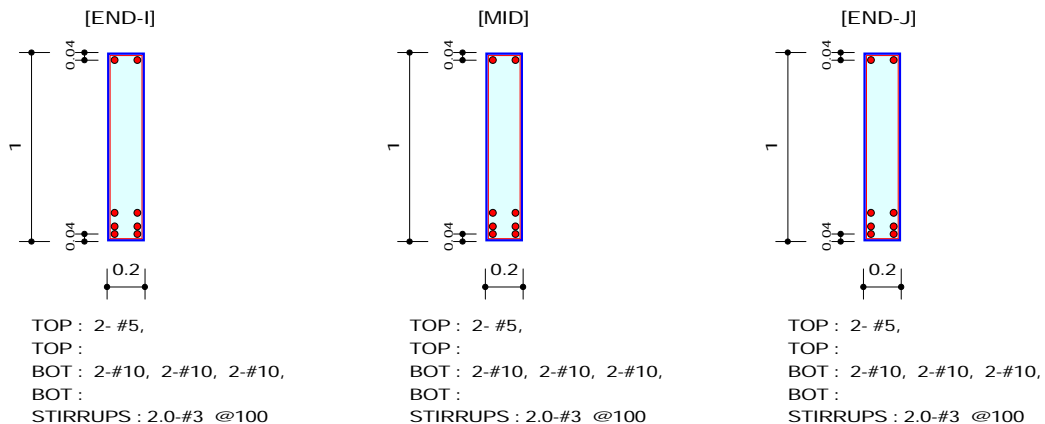
Unit System : kN, m

Material Data : $f'_c = 34473.8$, $f_y = 413686$, $f_{ys} = 413686$ KPa

Beam Span : 2.4 m

Section Property: T-Girder (No : 1)

2. Section Diagram



3. Bending Moment Capacity

	END-I	MID	END-J
Negative Moment (M_u)	0.00	0.00	0.00
Load Combination No.	27-	27-	27-
Strength (M_r)	140.59	0.00	140.59
Check Ratio (M_u/M_r)	0.0000	0.0000	0.0000
Positive Moment (M_u)	1038.94	996.21	1038.94
Load Combination No.	1+	1+	1+
Strength (M_r)	1347.08	1347.08	1347.08
Check Ratio (M_u/M_r)	0.7713	0.7395	0.7713
Using Rebar Top (As_top)	0.0004	0.0000	0.0004
Using Rebar Bot (As_bot)	0.0049	0.0049	0.0049

4. Shear Capacity

	END-I	MID	END-J
Factored Shear Force (V_u)	151.51	176.04	188.31
Shear Strength by Conc.(ΦV_c)	169.80	172.57	169.22
Shear Strength by Rebar.(ΦV_s)	642.07	657.58	638.56
Using Shear Reinf. (Av)	0.0014	0.0014	0.0014
Using Stirrups Spacing	2.0-#3 @100	2.0-#3 @100	2.0-#3 @100
Check Ratio	0.1866	0.2121	0.2331

	Company		Project Title	
	Author		File Name	Z:\...KUKHA Main Girder Design.mcb

1. Design Information

Member Number: 26

Design Code : AASHTO-LRFD02

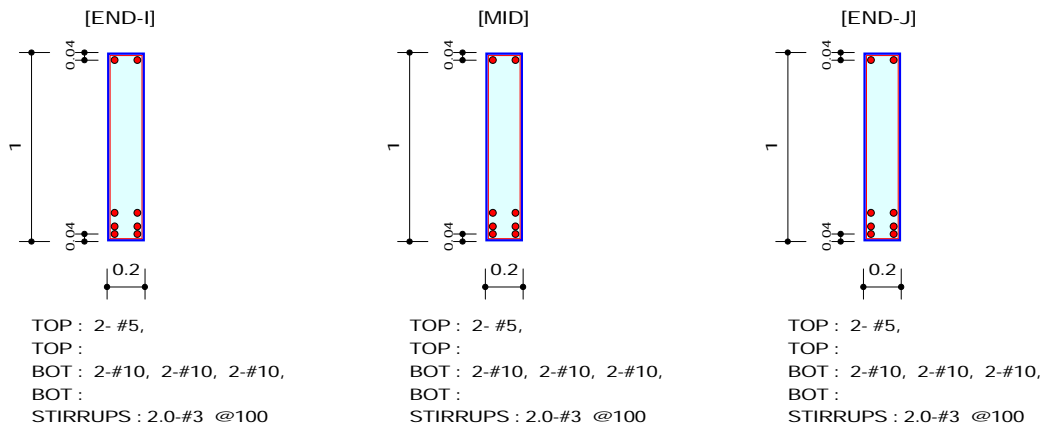
Unit System : kN, m

Material Data : $f'_c = 34473.8$, $f_y = 413686$, $f_{ys} = 413686$ KPa

Beam Span : 2.4 m

Section Property: T-Girder (No : 1)

2. Section Diagram



3. Bending Moment Capacity

	END-I	MID	END-J
Negative Moment (M_u)	0.00	0.00	0.00
Load Combination No.	27-	27-	27-
Strength (M_r)	140.59	0.00	140.59
Check Ratio (M_u/M_r)	0.0000	0.0000	0.0000
Positive Moment (M_u)	1049.48	939.76	812.90
Load Combination No.	1+	1+	1+
Strength (M_r)	1347.08	1347.08	1347.08
Check Ratio (M_u/M_r)	0.7791	0.6976	0.6035
Using Rebar Top (As_top)	0.0004	0.0000	0.0004
Using Rebar Bot (As_bot)	0.0049	0.0049	0.0049

4. Shear Capacity

	END-I	MID	END-J
Factored Shear Force (V_u)	228.36	252.89	265.15
Shear Strength by Conc.(ΦV_c)	168.29	175.10	176.23
Shear Strength by Rebar.(ΦV_s)	633.00	671.19	677.38
Using Shear Reinf. (Av)	0.0014	0.0014	0.0014
Using Stirrups Spacing	2.0-#3 @100	2.0-#3 @100	2.0-#3 @100
Check Ratio	0.2850	0.2988	0.3106

	Company		Project Title	
	Author		File Name	Z:\...KUKHA Main Girder Design.mcb

1. Design Information

Member Number: 27

Design Code : AASHTO-LRFD02

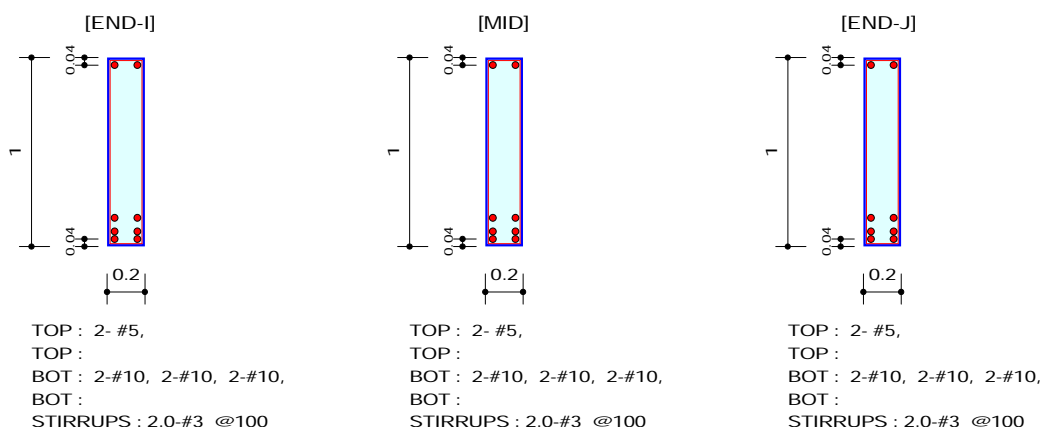
Unit System : kN, m

Material Data : $f'_c = 34473.8$, $f_y = 413686$, $f_{ys} = 413686$ KPa

Beam Span : 2.4 m

Section Property: T-Girder (No : 1)

2. Section Diagram



3. Bending Moment Capacity

	END-I	MID	END-J
Negative Moment (M_u)	0.00	0.00	18.81
Load Combination No.	27-	27-	3-
Strength (M_r)	140.59	0.00	140.59
Check Ratio (M_u/M_r)	0.0000	0.0000	0.1338
Positive Moment (M_u)	829.92	630.07	226.54
Load Combination No.	1+	1+	1+
Strength (M_r)	1347.08	1347.08	1347.08
Check Ratio (M_u/M_r)	0.6161	0.4677	0.1682
Using Rebar Top (As_top)	0.0004	0.0000	0.0004
Using Rebar Bot (As_bot)	0.0049	0.0049	0.0049

4. Shear Capacity

	END-I	MID	END-J
Factored Shear Force (V_u)	339.40	363.94	376.20
Shear Strength by Conc.(ΦV_c)	173.55	189.15	196.29
Shear Strength by Rebar.(ΦV_s)	662.81	754.29	795.46
Using Shear Reinf. (Av)	0.0014	0.0014	0.0014
Using Stirrups Spacing	2.0-#3 @100	2.0-#3 @100	2.0-#3 @100
Check Ratio	0.4058	0.3858	0.3793

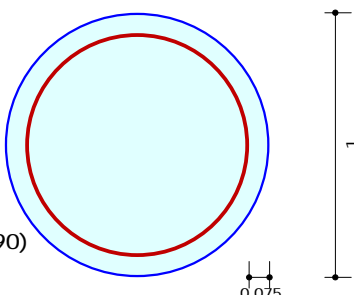
სახიდე გადასასვლელის მშენებლობა მდ. კუთავე. წყალტუბო-ხონის ს/გ-ის მე-13 კილომეტრი.
პროექტის საინჟინრო ანგარიში
დანართი 3: სტატიკური ანალიზი და კონსტრუქციული ანგარიშები

1000 მმ დიამეტრის ხილი

	Company		Project Title	
	Author		File Name	Z:\...\KUKHA Bridge Design.mcb

1. Design Condition

Design Code AASHTO-LRFD02
 Unit System kN, m
 Member Number 1 (PM), 5 (Shear)
 Material Data $f'_c = 27579$, $f_y = 413686$, $f_{ys} = 413686$ KPa
 Column Height 6 m
 Section Property Pile (No : 8)
 Rebar Pattern Total Rebar Area $A_{st} = 0.00706858 \text{ m}^2$ ($\rho_{host} = 0.0090$)



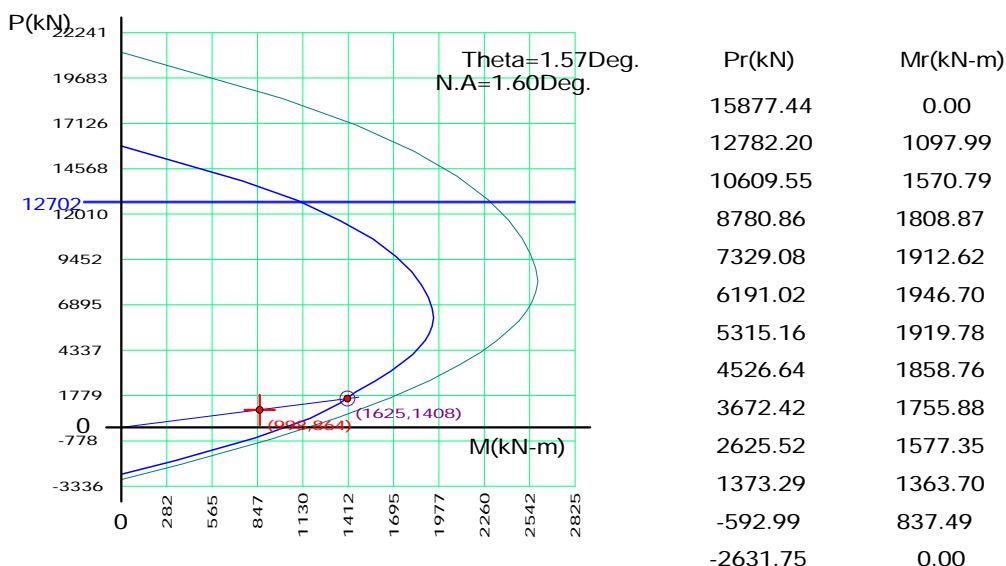
2. Applied Loads

Load Combination 85+ AT (J) Point
 $P_u = 998.049 \text{ kN}$, $M_{cy} = 863.216$, $M_{cz} = 24.1011$, $M_c = 863.553 \text{ kN-m}$

3. Axial Forces and Moments Capacity Check

Concentric Max. Axial Load	P_{r-max}	= 12701.9 kN
Axial Load Ratio	P_u/P_r	= 998.049 / 1625.36 = 0.614 < 1.000 O.K
Moment Ratio	M_{cy}/M_{ry}	= 863.216 / 1407.11 = 0.613 < 1.000 O.K
	M_{cz}/M_{rz}	= 24.1011 / 38.4589 = 0.627 < 1.000 O.K
	M_c/M_r	= 863.553 / 1407.63 = 0.613 < 1.000 O.K

4. P-M Interaction Diagram



5. Shear Force Capacity Check

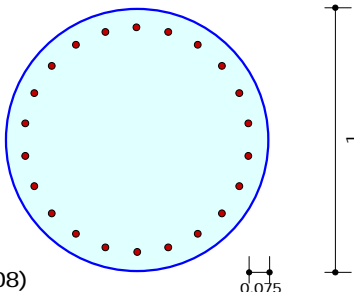
Applied Shear Strength $V_u = 280.465 \text{ kN}$ (Load Combination 86-)
 Shear Strength by Conc $\Phi V_c = 725.172 \text{ kN}$
 Shear Strength by Rebar $\Phi V_s = 209.139 \text{ kN}$ (2.0-#3 @300)
 Shear Ratio $V_u/\Phi V_n = 280.465 / 934.311 = 0.300 < 1.000$ O.K

	Company		Project Title	
	Author		File Name	Z:\...\KUKHA Bridge Design.mcb

1. Design Condition

Design Code AASHTO-LRFD02
 Unit System kN, m
 Member Number 1 (PM), 5 (Shear)
 Material Data $f'_c = 27579$, $f_y = 413686$, $f_{ys} = 413686$ KPa
 Column Height 6 m
 Section Property Pile (No : 8)
 Rebar Pattern

	Pos 1	Pos 2	Pos 3
Layer 1	22 - #7	--	--
Total Rebar Area	Ast = 0.00851611 m ²	(Rhost = 0.0108)	



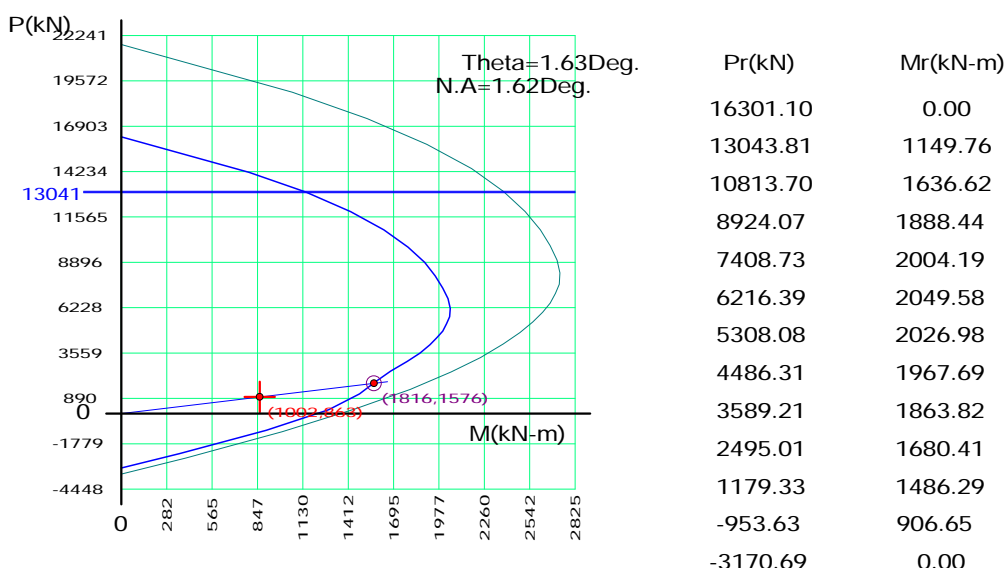
2. Applied Loads

Load Combination 77+ AT (J) Point
 $P_u = 1001.97$ kN, $M_{cy} = 862.510$, $M_{cz} = 24.3448$, $M_c = 862.853$ kN-m

3. Axial Forces and Moments Capacity Check

Concentric Max. Axial Load	$P_{r\max}$	= 13040.9 kN
Axial Load Ratio	P_u/P_r	= 0.552 < 1.000 O.K
Moment Ratio	M_{cy}/M_{ry}	= 0.547 < 1.000 O.K
	M_{cz}/M_{rz}	= 0.543 < 1.000 O.K
	M_c/M_r	= 0.547 < 1.000 O.K

4. P-M Interaction Diagram



5. Shear Force Capacity Check

Applied Shear Strength $V_u = 280.465$ kN (Load Combination 86-)
 Shear Strength by Conc $\Phi V_c = 740.265$ kN
 Shear Strength by Rebar $\Phi V_s = 436.748$ kN (2.0-#3 @150)
 Shear Ratio $V_u/\Phi V_n = 280.465 / 1177.01 = 0.238 < 1.000$ O.K

სახიდე გადასასვლელის მშენებლობა მდ. კუთაისი. წყალტუბო-ხონის ს/გ-ის მე-13 კილომეტრი.
პროექტის საინჟინრო ანგარიში
დანართი 3: სტატიკური ანალიზი და კონსტრუქციული ანგარიშები

ბრტყელი ელემენტების სიმაღლისა და პზარმადებობის ანგარიში

(როსტვერკი, კედელი, ვრთები, სარეგულაციო კედელი)

RC Structural Design	
რკბ-ის კონსტრუქციული ანგარიში	
გ. ბურჯის როსტვერკი/ Abutment Pile Cap	X-Direction
Reference 1: AASHTO LRFD Bridge Design Specification/ წყარო 1: AASHTO LRFD - ხიდის პროექტირების სპეციფიკაცია	

მასალის მახასიათებლები / Property Parameters	
ბეტონის სიმტკიცე დურძულ კუმშვაზე = 28 Concrete compressive strength, N/mm ² , f_c'	
არმატურის ფოლადის დენადობის ზღვარი = 420 Reinforcement yield stress, N/mm ² , f_y	
დასახელება, ერთეული, აღნიუშენა, ფორმულა	სიდიდე
	წყარო/განმარტება
	კონტროლი

კვეთის გეომეტრი / Section geometry, mm	
სიგანე / width, b_w = 1 000	
სიმაღლე / Height, h = 1 500	
ბეტონის დამცავი ფენა / Concrete cover, d' = 75.00	
საანგარიშო სიმაღლე / Calculated Height, d = 1 425.00	
მასალის საიმედობის კოეფიციენტი factor, dim, ϕ = 0.9	
დანიშნული არმატურის ნომინალური მზიდუნარიანობა/ Nominal capacity of the reinforcement, KN.m, $\bar{\phi}M_n=\bar{\phi}A_fy(d-a/2)$ = 1 011.71	Condition check for: $\bar{\phi}M_n \geq 1,33M_u$ OK
მოთხოვნილი მომენტის ძალვა = 567.00 Moment strength requirement, KN.m, M_u	MIDAS/CIVIL Software Structural Analysis Report
1,33x M_u = 754.11	Requirement to waive the crack condition check
1-ლი რიგის არმატურა / Choose-1,mm, ϕ_1 = 22	
მე-2 რიგის არმატურის რა-ბა / Choose number-1. Nos, n_1 = 5	

RC Structural Design რების ქონსტრუქციული ანგარიში		
გ. ბურჯის როსტვერკი/ Abutment Pile Cap		X-Direction
Reference 1: AASHTO LRFD Bridge Design Specification/ წყარო 1: AASHTO LRFD - ხიდის პროექტირების სპეციფიკაცია		

მე-2 რიგის არმატურა / Choose-1,mm, $\emptyset_2 =$	
მე-2 რიგის არმატურის რა-ბა / Choose number-1. Nos, $n_2 = 5$	
დანიშნული არმატურის კვეთის ფართობი / Reinf area, mm ² , $A_s = 1\ 900.61$	
მინიმალური არმირების მოთხოვნა = 2 850.00	
შეტაჭებული ბეტონის ბლოკის სიმაღლე Compression Concrete Block height, mm, $a=A_s f_y/(0,85f_c' b_w) = 33.54$	
0,75 $\rho_b = 0.02125$	Condition check for: $0,75\rho_b > \rho_s$ OK
დაბალანსებული არმატურის რაციონი Balanced Reinf. Ration,dim, $\rho_b=0,85 \beta_1 f_c' 599,84/[f_y(599,84+f_y)] = 0.02833$	
$\beta_1 = 0.85$	
დანიშნული არმატურის რაციონი Reinforcement Ratio,dim, $\rho_b=A_s/A_c = 0.00127$	
ბეტონის კვეთის ფართობი Concrete area, mm ² , $A_c=b_w h = 1\ 500\ 000$	

RC Structural Design	
რკბ-ის კონსტრუქციული ანგარიში	
გ. ბურჯის როსტვერკი / Abutment Pile Cap	Y-Direction
Reference 1: AASHTO LRFD Bridge Design Specification/	
წყარო 1: AASHTO LRFD - ხიდის პროექტირების სპეციფიკაცია	

მასალის მახასიათებლები / Property Parameters	
ბეტონის სიმტკიცე დურძულ კუმშვაზე $f_c' = 28$	Concrete compressive strength, N/mm ² , f_c'
არმატურის ფოლადის დენადობის ზღვარი $f_y = 420$	Reinforcement yield stress, N/mm ² , f_y
დასახელება, ერთეული, აღნიუშენა, ფორმულა	სიდიდე
წყარო/განმარტება	კონტროლი

კვეთის გეომეტრი / Section geometry, mm	
სიგანე / width, $b_w = 1000$	
სიმაღლე / Height, $h = 1500$	
ბეტონის დამცავი ფენა / Concrete cover, $d' = 75.00$	
საანგარიშო სიმაღლე / Calculated Height, $d = 1425.00$	
მასალის საიმედოობის კოეფიციენტი factor, dim, $\phi = 0.9$	
დანიშნული არმატურის ნომინალური მზიდუნარიანობა/ Nominal capacity of the reinforcement, KN.m, $\bar{\phi}M_n = \bar{\phi}A_f y(d-a/2) = 837.86$	Condition check for: $\phi M_n \geq 1.33 M_u$ OK
მოთხოვნილი მომენტის ძალვა = 548.00	MIDAS/CIVIL Software Structural Analysis Report
Moment strength requirement, KN.m, $M_u = 548.00$	
$1.33 \times M_u = 728.84$	Requirement to waive the crack condition check
1-ლი რიგის არმატურა / Choose-1,mm, $\phi_1 = 20$	
მე-2 რიგის არმატურის რა-ბა / Choose number-1. Nos, $n_1 = 5$	

RC Structural Design რების ქონსტრუქციული ანგარიში	
გ. ბურჯის როსტვერკი/ Abutment Pile Cap	Y-Direction
Reference 1: AASHTO LRFD Bridge Design Specification/ წყარო 1: AASHTO LRFD - ხიდის პროექტირების სპეციფიკაცია	

მე-2 რიგის არმატურა / Choose-1,mm, $\emptyset_2 = 16$	
მე-2 რიგის არმატურის რა-ბა / Choose number-1. Nos, $n_2 =$	
დანიშნული არმატურის კვეთის ფართობი / Reinf area, mm ² , $A_s = 1\,570.75$	
მინიმალური არმირების მოთხოვნა = 2 850.00	
შეტაჭებული ბეტონის ბლოკის სიმაღლე Compression Concrete Block height, mm, $a=A_s f_y/(0,85f_c' b_w) = 27.72$	
$0,75\rho_b = 0,02125$	Condition check for: $0,75\rho_b > \rho_s$ OK
დაბალანსებული არმატურის რაციონი Balanced Reinf. Ration,dim, $\rho_b=0,85 \beta_1 f_c' 599,84/[f_y(599,84+f_y)] = 0,02833$	
$\beta_1 = 0,85$	
დანიშნული არმატურის რაციონი Reinforcement Ratio,dim, $\rho_b=A_s/A_c = 0,00105$	
ბეტონის კვეთის ფართობი Concrete area, mm ² , $A_c=b_w h = 1\,500\,000$	

RC Structural Design	
რკბ-ის კონსტრუქციული ანგარიში	
გ.ბურჯის კედელი / Abutment Wall	Z-Direction
Reference 1: AASHTO LRFD Bridge Design Specification/	
წყარო 1: AASHTO LRFD - ხიდის პროექტირების სპეციფიკაცია	

მასალის მახასიათებლები / Property Parameters	
ბეტონის სიმტკიცე დურძულ კუმშვაზე = 28	
Concrete compressive strength, N/mm ² , f_c'	
არმატურის ფოლადის დენადობის ზღვარი = 420	
Reinforcement yield stress, N/mm ² , f_y	
დასახელება, ერთეული, აღნიუშენა, ფორმულა	სიდიდე
წყარო/განმარტება	კონტროლი

კვეთის გეომეტრი / Section geometry, mm	
სიგანე / width, b_w = 1 000	
სიმაღლე / Height, h = 800	
ბეტონის დამცავი ფენა / Concrete cover, d' = 75.00	
საანგარიშო სიმაღლე / Calculated Height, d = 725.00	
მასალის საიმედოობის კოეფიციენტი factor, dim, ϕ = 0.9	
დანიშნული არმატურის ნომინალური მზიდუნარიანობა/ Nominal capacity of the reinforcement, KN.m, $\bar{\phi}M_n=\bar{\phi}A_fy(d-a/2)$ = 812.10	Condition check for: $\phi M_n \geq 1,33 M_u$ OK
მოთხოვნილი მომენტის ძალვა = 132.00	MIDAS/CIVIL Software Structural Analysis Report
Moment strength requirement, KN.m, M_u	
1,33x M_u = 175.56	Requirement to waive the crack condition check
1-ლი რიგის არმატურა / Choose-1,mm, ϕ_1 = 28	
მე-2 რიგის არმატურის რა-ბა / Choose number-1. Nos, n_1 = 5	

RC Structural Design	
რების კონსტრუქციული ანგარიში	
გ.ბურჯის კედელი / Abutment Wall	Z-Direction
Reference 1: AASHTO LRFD Bridge Design Specification/ წყარო 1: AASHTO LRFD - ხიდის პროექტირების სპეციფიკაცია	

მე-2 რიგის არმატურა / Choose-1,mm, \emptyset_2 =	
მე-2 რიგის არმატურის რა-ბა / Choose number-1. Nos, $n_2 = 5$	
დანიშნული არმატურის კვეთის ფართობი / Reinf area, mm ² , $A_s = 3\ 078.67$	
მინიმალური არმირების მოთხოვნა = 1 450.00	
შეტაჭებული ბეტონის ბლოკის სიმაღლე Compression Concrete Block height, mm, $a=A_s f_y/(0,85f_c' b_w) = 54.33$	
0,75 ρ_b = 0.02125	Condition check for: $0,75\rho_b > \rho_s$ OK
დაბალანსებული არმატურის რაციონი Balanced Reinf. Ration,dim, $\rho_b=0,85 \beta_1 f_c' 599,84/[f_y(599,84+f_y)] = 0.02833$	
$\beta_1 = 0.85$	
დანიშნული არმატურის რაციონი Reinforcement Ratio,dim, $\rho_b=A_s/A_c = 0.00385$	
ბეტონის კვეთის ფართობი Concrete area, mm ² , $A_c=b_w h = 800\ 000$	

RC Structural Design	
რკბ-ის კონსტრუქციული ანგარიში	
გ.ბურჯის კედელი / Abutment Wall	Y-Direction
Reference 1: AASHTO LRFD Bridge Design Specification/	
წყარო 1: AASHTO LRFD - ხიდის პროექტირების სპეციფიკაცია	

მასალის მახასიათებლები / Property Parameters	
ბეტონის სიმტკიცე დურძულ კუმშვაზე = 28	
Concrete compressive strength, N/mm ² , f_c'	
არმატურის ფოლადის დენადობის ზღვარი = 420	
Reinforcement yield stress, N/mm ² , f_y	
დასახელება, ერთეული, აღნიუშენა, ფორმულა	სიდიდე
წყარო/განმარტება	კონტროლი

კვეთის გეომეტრი / Section geometry, mm	
სიგანე / width, b_w = 1 000	
სიმაღლე / Height, h = 800	
ბეტონის დამცავი ფენა / Concrete cover, d' = 75.00	
საანგარიშო სიმაღლე / Calculated Height, d = 725.00	
მასალის საიმედოობის კოეფიციენტი factor, dim, ϕ = 0.9	
დანიშნული არმატურის ნომინალური მზიდუნარიანობა/ Nominal capacity of the reinforcement, KN.m, $\bar{\phi}M_n=\bar{\phi}A_fy(d-a/2)$ = 422.24	Condition check for: $\phi M_n \geq 1,33 M_u$ OK
მოთხოვნილი მომენტის ძალვა = 177.00	MIDAS/CIVIL Software Structural Analysis Report
Moment strength requirement, KN.m, M_u	
1,33x M_u = 235.41	Requirement to waive the crack condition check
1-ლი რიგის არმატურა / Choose-1,mm, ϕ_1 = 20	
მე-2 რიგის არმატურის რა-ბა / Choose number-1. Nos, n_1 = 5	

RC Structural Design	
რების კონსტრუქციული ანგარიში	
გ.ბურჯის კედელი / Abutment Wall	Y-Direction
Reference 1: AASHTO LRFD Bridge Design Specification/ წყარო 1: AASHTO LRFD - ხიდის პროექტირების სპეციფიკაცია	

მე-2 რიგის არმატურა / Choose-1,mm, \emptyset_2 =	
მე-2 რიგის არმატურის რა-ბა / Choose number-1. Nos, $n_2 = 5$	
დანიშნული არმატურის კვეთის ფართობი / Reinf area, mm ² , $A_s = 1\ 570.75$	
მინიმალური არმირების მოთხოვნა = 1 450.00	
შეტაჭებული ბეტონის ბლოკის სიმაღლე Compression Concrete Block height, mm, $a=A_s f_y/(0,85f_c' b_w) = 27.72$	
0,75 ρ_b = 0.02125	Condition check for: 0,75 ρ_b > ρ_s OK
დაბალანსებული არმატურის რაციონი Balanced Reinf. Ration,dim, $\rho_b=0,85 \beta_1 f_c' 599,84/[f_y(599,84+f_y)] = 0.02833$	
$\beta_1 = 0.85$	
დანიშნული არმატურის რაციონი Reinforcement Ratio,dim, $\rho_b=A_s/A_c = 0.00196$	
ბეტონის კვეთის ფართობი Concrete area, mm ² , $A_c=b_w h = 800\ 000$	

RC Structural Design რების კონსტრუქციული ანგარიში		X-Direction
ფრთა / Wing Wall		
Reference 1: AASHTO LRFD Bridge Design Specification/ წყარო 1: AASHTO LRFD - ხიდის პროექტირების სპეციფიკაცია		

მასალის მახასიათებლები / Property Parameters	
ბეტონის სიმტკიცე დურძულ კუმშვაზე = 28 Concrete compressive strength, N/mm ² , f_c'	
არმატურის ფოლადის დენადობის ზღვარი = 420 Reinforcement yield stress, N/mm ² , f_y	

დასახელება, ერთეული, აღნიუშენა, ფორმულა	=	სიდიდე	წყარო/განმარტება	კონტროლი
---	---	--------	------------------	----------

კვეთის გეომეტრი / Section geometry, mm	
სიგანე / width, b_w = 1 000	
სიმაღლე / Height, h = 500	
ბეტონის დამცავი ფენა / Concrete cover, d' = 75.00	
საანგარიშო სიმაღლე / Calculated Height, d = 425.00	
მასალის საიმედობის კოეფიციენტი factor, dim, ϕ = 0.9	
დანიშნული არმატურის ნომინალური მზიდუნარიანობა/ Nominal capacity of the reinforcement, KN.m, $\bar{\phi}M_n=\bar{\phi}A_fy(d-a/2)$ = 293.28	Condition check for: $\phi M_n \geq 1,33 M_u$ OK
მოთხოვნილი მომენტის ძალვა = 185.00 Moment strength requirement, KN.m, M_u	MIDAS/CIVIL Software Structural Analysis Report
1,33x M_u = 246.05	Requirement to waive the crack condition check
1-ლი რიგის არმატურა / Choose-1,mm, ϕ_1 = 22	
მე-2 რიგის არმატურის რა-ბა / Choose number-1. Nos, n_1 = 5	

RC Structural Design რების ქონსტრუქციული ანგარიში		X-Direction
ფრთა / Wing Wall		
Reference 1: AASHTO LRFD Bridge Design Specification/ წყარო 1: AASHTO LRFD - ხიდის პროექტირების სპეციფიკაცია		

მე-2 რიგის არმატურა / Choose-1,mm, $\emptyset_2 =$	
მე-2 რიგის არმატურის რა-ბა / Choose number-1. Nos, $n_2 = 5$	
დანიშნული არმატურის კვეთის ფართობი / Reinf area, mm ² , $A_s = 1900.61$	
მინიმალური არმირების მოთხოვნა = 850.00	
შეტაჭებული ბეტონის ბლოკის სიმაღლე Compression Concrete Block height, mm, $a=A_s f_y/(0.85f_c' b_w) = 33.54$	
0,75 $\rho_b = 0.02125$	Condition check for: $0.75\rho_b > \rho_s$ OK
დაბალანსებული არმატურის რაციონი Balanced Reinf. Ration,dim, $\rho_b=0.85 \beta_1 f_c' 599,84/[f_y(599,84+f_y)] = 0.02833$	
$\beta_1 = 0.85$	
დანიშნული არმატურის რაციონი Reinforcement Ratio,dim, $\rho_b=A_s/A_c = 0.00380$	
ბეტონის კვეთის ფართობი Concrete area, mm ² , $A_c=b_w h = 500\ 000$	

RC Structural Design რკბ-ის კონსტრუქციული ანგარიში		Z-Direction
ფრთა / Wing Wall		Z-Direction
Reference 1: AASHTO LRFD Bridge Design Specification/ წყარო 1: AASHTO LRFD - ხიდის პროექტირების სპეციფიკაცია		

მასალის მახასიათებლები / Property Parameters			
ბეტონის სიმტკიცე დურძულ კუმშვაზე = 28 Concrete compressive strength, N/mm ² , f_c'			
არმატურის ფოლადის დენადობის ზღვარი = 420 Reinforcement yield stress, N/mm ² , f_y			

დასახელება, ერთეული, აღნიუშენა, ფორმულა	=	სიდიდე	წყარო/განმარტება	კონტროლი
---	---	--------	------------------	----------

კვეთის გეომეტრი / Section geometry, mm	
სიგანე / width, b_w = 1 000	
სიმაღლე / Height, h = 500	
ბეტონის დამცავი ფენა / Concrete cover, d' = 75.00	
საანგარიშო სიმაღლე / Calculated Height, d = 425.00	
მასალის საიმედობის კოეფიციენტი factor, dim, ϕ = 0.9	
დანიშნული არმატურის ნომინალური მზიდუნარიანობა/ Nominal capacity of the reinforcement, KN.m, $\bar{\phi}M_n=\bar{\phi}A_fy(d-a/2)$ = 293.28	Condition check for: $\phi M_n \geq 1,33 M_u$ OK
მოთხოვნილი მომენტის ძალვა = 150.00 Moment strength requirement, KN.m, M_u	MIDAS/CIVIL Software Structural Analysis Report
1,33x M_u = 199.50	Requirement to waive the crack condition check
1-ლი რიგის არმატურა / Choose-1,mm, ϕ_1 = 22	
მე-2 რიგის არმატურის რა-ბა / Choose number-1. Nos, n_1 = 5	

RC Structural Design რების ქონსტრუქციული ანგარიში		
ფრთა / Wing Wall		Z-Direction
Reference 1: AASHTO LRFD Bridge Design Specification/ წყარო 1: AASHTO LRFD - ხიდის პროექტირების სპეციფიკაცია		

მე-2 რიგის არმატურა / Choose-1,mm, $\emptyset_2 =$	
მე-2 რიგის არმატურის რა-ბა / Choose number-1. Nos, $n_2 = 5$	
დანიშნული არმატურის კვეთის ფართობი / Reinf area, mm ² , $A_s = 1900.61$	
მინიმალური არმირების მოთხოვნა = 850.00	
შეტაჭებული ბეტონის ბლოკის სიმაღლე Compression Concrete Block height, mm, $a=A_s f_y/(0.85f_c' b_w) = 33.54$	
0,75 $\rho_b = 0.02125$	Condition check for: $0.75\rho_b > \rho_s$ OK
დაბალანსებული არმატურის რაციონი Balanced Reinf. Ration,dim, $\rho_b=0.85 \beta_1 f_c' 599,84/[f_y(599,84+f_y)] = 0.02833$	
$\beta_1 = 0.85$	
დანიშნული არმატურის რაციონი Reinforcement Ratio,dim, $\rho_b=A_s/A_c = 0.00380$	
ბეტონის კვეთის ფართობი Concrete area, mm ² , $A_c=b_w h = 500\ 000$	

RC Structural Design რეგულაციონ კედელი / Regulation Wall Reference 1: AASHTO LRFD Bridge Design Specification/ წყარო 1: AASHTO LRFD - ხიდის პროექტირების სპეციფიკაცია	X-Direction
--	--------------------

მასალის მახასიათებლები / Property Parameters	
ბეტონის სიმტკიცე დურძულ კუმშვაზე = 28 Concrete compressive strength, N/mm ² , f_c'	
არმატურის ფოლადის დენადობის ზღვარი = 420 Reinforcement yield stress, N/mm ² , f_y	

დასახელება, ერთეული, აღნიუშენა, ფორმულა	=	სიდიდე	წყარო/განმარტება	კონტროლი
---	---	--------	------------------	----------

კვეთის გეომეტრი / Section geometry, mm სიგანე / width, b_w = 1 000 სიმაღლე / Height, h = 500 ბეტონის დამცავი ფენა / Concrete cover, d' = 75.00 საანგარიშო სიმაღლე / Calculated Height, d = 425.00 მასალის საიმედოობის კოეფიციენტი factor, dim, ϕ = 0.9 დანიშნული არმატურის ნომინალური მზიდუნარიანობა/ Nominal capacity of the reinforcement, KN.m, $\emptyset M_n = \emptyset A_f_y(d-a/2)$ = 158.13 Condition check for: $\emptyset M_n \geq 1,33M_u$ OK მოთხოვნილი მომენტის ძალვა = 98.00 MIDAS/CIVIL Software Structural Analysis Report $1,33 \times M_u = 130.34$ Requirement to waive the crack condition check	
1-ლი რიგის არმატურა / Choose-1,mm, \emptyset_1 = 16 მე-2 რიგის არმატურის რა-ბა / Choose number-1. Nos, n_1 = 5	

RC Structural Design	
რეგულაციონული ანგარიში	
სარეგულაციო კედელი / Regulation Wall	X-Direction
Reference 1: AASHTO LRFD Bridge Design Specification/ წყარო 1: AASHTO LRFD - ხიდის პროექტირების სპეციფიკაცია	

მე-2 რიგის არმატურა / Choose-1,mm, \emptyset_2 =	
მე-2 რიგის არმატურის რა-ბა / Choose number-1. Nos, $n_2 = 5$	
დანიშნული არმატურის კვეთის ფართობი / Reinf area, mm ² , $A_s = 1\,005.28$	
მინიმალური არმირების მოთხოვნა = 850.00	
შეტაჭებული ბეტონის ბლოკის სიმაღლე Compression Concrete Block height, mm, $a=A_s f_y/(0.85f_c' b_w) = 17.74$	
0,75 ρ_b = 0.02125	Condition check for: $0.75\rho_b > \rho_s$ OK
დაბალანსებული არმატურის რაციონი Balanced Reinf. Ration,dim, $\rho_b=0.85 \beta_1 f_c' 599,84/[f_y(599,84+f_y)] = 0.02833$	
$\beta_1 = 0.85$	
დანიშნული არმატურის რაციონი Reinforcement Ratio,dim, $\rho_b=A_s/A_c = 0.00201$	
ბეტონის კვეთის ფართობი Concrete area, mm ² , $A_c=b_w h = 500\,000$	

RC Structural Design რეგულაციონ კედელი / Regulation Wall Reference 1: AASHTO LRFD Bridge Design Specification/ წყარო 1: AASHTO LRFD - ხიდის პროექტირების სპეციფიკაცია	Z-Direction
--	--------------------

მასალის მახასიათებლები / Property Parameters	
ბეტონის სიმტკიცე დურძულ კუმშვაზე = 28 Concrete compressive strength, N/mm ² , f_c'	
არმატურის ფოლადის დენადობის ზღვარი = 420 Reinforcement yield stress, N/mm ² , f_y	

დასახელება, ერთეული, აღნიუშენა, ფორმულა	=	სიდიდე	წყარო/განმარტება	კონტროლი
---	---	--------	------------------	----------

კვეთის გეომეტრი / Section geometry, mm	
სიგანე / width, b_w = 1 000	
სიმაღლე / Height, h = 500	
ბეტონის დამცავი ფენა / Concrete cover, d' = 75.00	
საანგარიშო სიმაღლე / Calculated Height, d = 425.00	
მასალის საიმედობის კოეფიციენტი factor, dim, ϕ = 0.9	
დანიშნული არმატურის ნომინალური მზიდუნარიანობა/ Nominal capacity of the reinforcement, KN.m, $\bar{\phi}M_n=\bar{\phi}A_fy(d-a/2)$ = 158.13	Condition check for: $\phi M_n \geq 1,33 M_u$ OK
მოთხოვნილი მომენტის ძალვა = 54.00 Moment strength requirement, KN.m, M_u	MIDAS/CIVIL Software Structural Analysis Report
1,33x M_u = 71.82	Requirement to waive the crack condition check
1-ლი რიგის არმატურა / Choose-1,mm, ϕ_1 = 16	
მე-2 რიგის არმატურის რა-ბა / Choose number-1. Nos, n_1 = 5	

RC Structural Design რეგულაციონული ანგარიში	
სარეგულაციო კედელი / Regulation Wall	Z-Direction
Reference 1: AASHTO LRFD Bridge Design Specification/ წყარო 1: AASHTO LRFD - ხიდის პროექტირების სპეციფიკაცია	

მე-2 რიგის არმატურა / Choose-1,mm, \emptyset_2 =	
მე-2 რიგის არმატურის რა-ბა / Choose number-1. Nos, $n_2 = 5$	
დანიშნული არმატურის კვეთის ფართობი / Reinf area, mm ² , $A_s = 1\,005.28$	
მინიმალური არმირების მოთხოვნა = 850.00	
შეტაჭებული ბეტონის ბლოკის სიმაღლე Compression Concrete Block height, mm, $a=A_s f_y/(0.85f_c' b_w)$ = 17.74	
0,75 ρ_b = 0.02125	Condition check for: $0.75\rho_b > \rho_s$ OK
დაბალანსებული არმატურის რაციონი Balanced Reinf. Ration,dim, $\rho_b=0.85 \beta_1 f_c' 599,84/[f_y(599,84+f_y)] = 0.02833$	
$\beta_1 = 0.85$	
დანიშნული არმატურის რაციონი Reinforcement Ratio,dim, $\rho_b=A_s/A_c = 0.00201$	
ბეტონის კვეთის ფართობი Concrete area, mm ² , $A_c=b_w h = 500\,000$	

სახიდე გადასასვლელის მშენებლობა მდ. კუთაისი. წყალტუბო-ხონის ს/გ-ის მე-13 კილომეტრი.
პროექტის საინჟინრო ანგარიში
დანართი 3: სტატიკური ანალიზი და კონსტრუქციული ანგარიშები

მზიდი კონსტრუქციული ელემენტების გეტონისა და არმატურის ხარჯი

Concrete & Steel Requirements for the Structural Members

ბეტონისა და ფოლადის მასალის ხარჯი

#	კონსტრუქციული ელემენტი Structural Member	ბეტონი / Concrete	ფოლადი / Steel		
		Class (ASTM)	მოცულობა, m^3	Class (ASTM)	წონა, კგ Weight,kg
1	PILE	C30/37	188.49	A706M	25 595
2	ABUTM PILE CAP	C30/37	256.50	A706M	14 546
3	ABUTMENT WALL	C30/37	85.26	A706M	9 893
4	TRANSITION SLAB	C30/37	34.06	A706M	4 044
5	ABUTMENT PLINTH	C30/37	3.41	A706M	556
6	WING WALL	C30/37	36.40	A706M	4 609
7	FOOTPATH ON WING WALL	C30/37	9.33	A706M	1 008
8	REGULATION WALL	C30/37	41.49	A706M	3 687
9	CURB	C30/37	2.20	A706M	221
10	PRECAST GIRDER	C35/43	28.80	A706M	7 781
11	DECK SLAB	C30/37	29.74	A706M	4 434

დანართი 4: მონაცემები პროექტის ზემოქმედების
ქვეშ მოქცეული მიწის ნაკვეთის
შესახებ

(არ გამოიყენება)

დანართი 5: სამუშაოების მოცულობათა კრებსითი უწყისი

სახიდე გადასასვლელის მშენებლობა მდ. კუხაზე
სამუშაოთა მოცულობის უწყისი

ბილი	აღწერილობა	ერთეული	რაოდენობა
200	დაკვალვა და კორიდორის გაწმენდა		
201	ძირითადი ტოპოგრაფიული და დეტალური დაკვალვა	მ	68.00
201.10	ძირითადი გზისათვის	მ	300.00
201.20	დროებითი ასაქცევი გზისთვის	მ	
202	შენობების, ნაგებობებისა და კედლების დემონტაჟი და გატანა ყველა თანმდევი სამუშაოს ჩათვლით	მ3	
202.10	რკინაბეტონის კონსტრუქციები	მ3	266
202.20	ფოლადის კონსტრუქციები	ტონა	5
300	მიწის სამუშაოები		
301	ასაქცევი გზის მოწყობისთვის 100-150 მმ სისქის ნიადაგის ფენის აღება და დაგროვება ზედამხედველი ინჟინრის ინსტრუქციის შესაბამისად	მ3	240.00
302	არსებულ გზაზე ვარცლის ამოკრა, მოჭრილი მასალის გამოყენება ასაქცევი გზის ყრილისთვის	მ3	137.00
303	ასაქცევი გზისთვის უვარგისი(ზედმეტი) გრუნტოვანი მასალის ექსკავაცია ნებისმიერ ნიშნულამდე ჭრილში, დატვირთვა, ტრანსპორტირება, განთავსება და გაშლა ნაყარში ინსტრუქციის შესაბამისად (ჭრილი ნაყარში)	მ3	602.00
304	ყრილის მასალის მოწოდება, განთავსება, გაშლა და დატკეპნა ასაქცევი გზის ვაკისში საპროექტო ნიშნულამდე სპეციფიკაციების მიხედვით ფერდების პროფილირების ჩათვლით (კარიერიდან ყრილში)	მ3	433.00
305	ძირითადი და ასაქცევი გზის მიწის ვაკისის ზედაპირის პროფილირება, მოსწორება და დატკეპნა საპროექტო ნიშნულამდე სპეციფიკაციების თანახმად. მიწის ვაკისის ზედაპირის დატკეპნა 45 მმ/მ2 დრეკადობის მოდულის მაჩვენებლის მიღწევით.	მ2	3 450.00
400	ასაქცევი გზის წყალარინება		
401	მილ საგებისა და უკუშევსებისათვის ქვიშა-ხრეშოვანი მასალის მიწოდება, განთავსება და დატკეპნა სპეციფიკაციების მიხედვით ნახაზებზე ნაჩვენებ კონტურებში	მ3	50.57
402	მილის სექციების დამზადება, მიწოდება და მონტაჟი და მშენებლობის შემდგე დემონტაჟი ნახაზებისა და სპეციფიკაციების მიხედვით ყველა დამსმარე მასალისა და სამუშაოს ჩათვლით	მ	
402.10	1500 მმ დიამეტრის წრიული რკინაბეტონის მილი	მ	61.00

სახიდე გადასასვლელის მშენებლობა მდ. კუხაზე
სამუშაოთა მოცულობის უწყისი

ბილი	აღწერილობა	ერთეული	რაოდენობა
403	გრუნტის ამოთხრა ახალი მილებისა და სადრენაჟუ არხების მოსაწყობად, ექსავაციის პროცესში მასალის დანაწევრების, გაფხვიერებისა და დასაწყობების ჩათვლით ხელმეორედ გამოყენებისათვის ან ნაყარში განთავსებისათვის	მ3	105.61
500	საფარი		
501.0	<u>ასფალტის საფარი - ძირითადი გზა</u>		
501.10	შემასწორებელი ფენისათვის სათანადო ქვიშა-ხრეშოვანი მასალის მიწოდება, განთავსება და დატკეპნა ნახაზებისა და სპეციფიკაციების მიხედვით	მ3	10.00
501.20	160 მმ სისქის ღორღოვანი საფუძლის ფენისათვის სათანადო(დამტკრული მარცვლოვანი მასალა, 0-40 მმ) მასალის მიწოდება, განთავსება და დატკეპნა სპეციფიკაციებისა და ნახაზების მიხედვით	მ3	68.00
501.30	ბიტუმოვანი საცხის ნარევის მიწოდება და დატანა სპეციფიკაციების მიხედვით ზედაპირის მომზადების ჩათვლით	ტ	0.27
501.40	60 მმ სისქის ასფალტბეტონის საფარის ქვედა ფენისათვის სათანადო მასალის (მსხვილმარცვლოვანი, ღორღოვანი ასფალტბეტონის (ცხელი ნარევი) მიწოდება, გაშლა და დატკეპნა სპეციფიკაციებისა და ნახაზების მიხედვით	მ2	385.00
501.50	ბიტუმოვანი საცხის ნარევის მიწოდება და დატანა სპეციფიკაციების მიხედვით ზედაპირის მომზადების ჩათვლით	ტ	0.11
501.60	40 მმ სისქის ასფალტბეტონის საფარის ზედა (საცვეთი) ფენისათვის სათანადო მასალის(წვრილმარცვლოვანი, ღორღოვანი ასფალტბეტონის (ცხელი ნარევი, ტიპი II მარტა II) მიწოდება, გაშლა და დატკეპნა სპეციფიკაციებისა და ნახაზების მიხედვით	მ2	380.00
501.70	ქვიშა-ხრეშოვანი მასალის მიწოდება და დატკეპნა გვერდულებზე საპროექტო ნახაზებისა და სპეციფიკაციების მიხედვით	მ3	25.00
502.0	<u>ხრეშოვანი საფარი - ასაქცვევი გზა</u>		
502.10	ნამდლისებური პროფილის ქვიშა-ხრეშოვანი საფარის მოწყობა სისქით დერძზე 50 სმ	მ3	1 317.00
600	საგზაო აღჭურვილობა და მონიშვნა		
601	ასაქცვევი გზისთვის საგზაო ნიშნების მიწოდება და მონტაჟი დამტკიცებული მუშა ნახაზების მიხედვით და დემონტაჟი მშენებლობის შემდგომ, ბოძის, საძირკვლისა და ყველა დამხმარე მასალისა და სამუშაოს ჩათვლით		
601.10	გამაფრთხილებელი ნიშნები	ცალი	2.00
601.20	ამკრძალავი ნიშნები	ცალი	6.00
601.30	საინფორმაციო-მიმმართველი ნიშნები	ცალი	2.00
601.40	ციმციმა	ცალი	2.00
601.50	მწოლიარე ბარიერი (1 ც სიგრძით 5 მ)	ზ	20.00

სახიდე გადასასვლელის მშენებლობა მდ. კუხაზე
სამუშაოთა მოცულობის უწყისი

ბილი	აღწერილობა	ერთეული	რაოდენობა
602	ძირითად გზაზე საგზაო მონიშვნის დატანა ნახაზებისა და სპეციფიკაციების მიხედვით ყველა დამხმარე მასალისა და სამუშაოს ჩათვლით		
602.10	მონიშვნის ხაზი, ტიპი 1.1	მ	204.00
700	გაკისის/ჭრილის ფერდოების დაცვა		
701	მიწის სამუშაოები ნაპირგამაგრების მოსაწყობად ყველა დამხმარე მასალისა და სამუშაოს ჩათვლით.		
701.10	მდინარის კალაპოტის გაწმენდა და ნაპირსამაგრის ქვაბულის დამატებითი დამუშავება მასალის დროებითი დასაწყობების ჩათვლით;	მ3	1 328.00
702	ჟრილის დაცვა გაბიონის ბლოკებით, მავთულბადის გალიების მიწოდების და მონტაჟის, შემავსებლი ფლეთოლი ქვის მოგროვების, მიწოდებისა და ჩალაგების; მავთულბადის მასალის, გეოტექსტილის საფქნისა და ყველა დამხმარე მასალისა და სამუშაოს ჩათვლით		
702.10	1000X1000X2000 მმ ზომის ყუთები	მ3	350.00
703	მისასვლელი ყრილის საფუძველის დაცვა კლდოვანი კაჭარით 500 მმ მინ დიამეტრით	მ3	220.00
800	ხიდი		
	მოედნის მომზადება, სამშენებლო ქვაბული, წყლის არიდება და უკუშევებება		
801	სამშენებლო ქვაბულის დამუშავება განაპირა ბურჯების საძირკვლებისათვის უგარებისი მასალის გატანის, ეხევაციისას მასალის დანაწევრებისა და გაფხვიერების, წევალარინების, ქვაბულის პროფილირების და ფერდების ჩამოჭრის და ქვაბულის გამაგრების ჩათვლით. დამუშავების მიხედვით ადგილიდან საშუალომდე სირთულის გრუნტები		
801.10	7 მ სიღრმემდე	მ3	1 539.00
802	უკუშევების მასალის მიწოდება და დატკეპნა პროქტორის სტანდარტის 96 % შემკვრივების მაჩვენებლით		
802.10	ქვიშა-ხრეშოვანი შემავსებელი	მ3	698.25
	ხიმინჯოვანი საძირკვლები		
803	რეინაბეტონის ნაბურღ-ნატენი ტიპის ხიმინჯების მშენებლობა დროებითი მისასვლელი გზებისა და კუნძულების მოწყობის, გაბურდვის, გარსების, ბეტონის (კლასი C30/37) მიწოდების, ჩასხმისა და შემკვრივების, გამონამუშევარი მასალის გატანისა და ყველა დამხმარე მასალისა და		
803.10	1000 მმ დიამეტრის ხიმინჯი	მ	240.00

სახიდე გადასასვლელის მშენებლობა მდ. კუხაზე
სამუშაოთა მოცულობის უწყისი

ბილი	აღწერილობა	ერთეული	რაოდენობა
804	არმატურის ფოლადის მიწოდება და მონტაჟი საპროექტო მდგომარეობაში ნაზახებისა და სპეციფიკაციების მიხედვით. 500S კლასის პროფილოვანი არმატურა(არმატურის ბაზები დაუშვებელია) დენადობის ზღვრით - 500 მმ/შ2	კბ	25 595.39
805	ხიმინჯის თავების მისადაგება როსტერერკთან დასაკავშირებლად ხიმინჯის თავების წაჭრის საპროექტო რესტერერის ძირიდან 10 სმ-ით მაღალ ნიშნულებზე, ბეტონის დემონტაჟის დროს დაზიანებისაგან არმატურის დაცვის, ნარჩენების გატანისა და ყველა დამხმარე სამუშაოსა და მასალის ჩათვლით	ცალი	20.00
805.10	1000 მმ დიამეტრის ხიმინჯებისათვის		
<u>ბურჯები: ბეტონი, რკინაბეტონი</u>			
806	შელე ბეტონის (კლასი C8/12) მიწოდება, განთავსება და შემგერივება 10 სმ სისქის საგების მოსაწყობად ბურჯის საძირკვლებისა და გადასასვლელი ფილისათვის	გ2	289.63
807	რკინაბეტონი ყალიბის, ბეტონის მიწოდების, ჩასხმის და შემკვრივების, ბეტონის მოვლის, საჭიროებისამებრ ღიობების მოწყობის, ხილული ზედაპირების ტექსტურის უზრუნველყოფის; ხიმაღლური ნიშნულების აზომვის, გალვანიზებული ჭანჭიცების მიწოდებისა და მონტაჟის ყველა დამხმარე მასალისა და სამუშაოს ჩათვლით		
807.10	განაპირა ბურჯების საძირკვლების/როსტერერკისათვის, ბეტონის კლასი C30/37	გ3	256.50
807.20	განაპირა ბურჯების ტანისათვის(ქვედა და ზედა კედელი, ფრთები), ბეტონის კლასი C30/37	გ3	121.66
807.30	საყრდენი და სეისმური ბლოკებისათვის, ბეტონის კლასი C30/37	გ3	3.41
807.40	გადასასვლელი ფილისათვის, ბეტონის კლასი C30/37	გ3	34.06
807.50	ფრთებზე ტროტუარისა და ბორდიურებისათვის	გ3	11.53
807.60	სარეგულაციო კედლებისათვის	გ3	41.49
808	არმატურის ფოლადის მიწოდება და მონტაჟი საპროექტო მდგომარეობაში ნაზახებისა და სპეციფიკაციების მიხედვით. 500S კლასის პროფილოვანი არმატურა(არმატურის ბაზები დაუშვებელია) დენადობის ზღვრით - 500 მმ/შ2		
808.10	განაპირა ბურჯების საძირკვლებისთვის/როსტერერკისთვის	კბ	14 545.84
808.20	განაპირა ბურჯების ტანისათვის (ქვედა და ზედა კედელი, ფრთები)	კბ	14 502.52
808.30	საყრდენი და სეისმური ბლოკებისათვის	კბ	555.84
808.40	გადასასვლელი ფილისათვის	კბ	4 043.51
808.50	ფრთებზე ტროტუარისა და ბორდიურებისათვის	კბ	1 228.47
808.60	სარეგულაციო კედლებისათვის	კბ	3 686.50
<u>მალის ნაშენი: ბეტონი, რკინაბეტონი</u>			
809	მალის ნაშენის მოწყობა წინასწარდამზადებული რკინაბეტონის ტესებზე კოჭებით, მათი დამზადების, ტრანსპორტირებისა და მონტაჟის; სავალი ნაწილისა და ტროტუარის რკინაბეტონის ფილის გამოხოლითების ჩათვლით ყველა დამხმარე მასალისა და სამუშაოს ჩათვლით საპროექტო ნაზახებისა და სამშენებლო სპეციფიკაციების მიხედვით		
809.10	12 მ სიგრძის რკინაბეტონის წინასწარდამზადებული ტესებზე კოჭების დამზადება(C35/43 კლასის ბეტონით), ტრანსპორტირება და მონტაჟი	ცალი	8.00

სახიდე გადასასვლელის მშენებლობა მდ. კუხაზე
სამუშაოთა მოცულობის უწყისი

ბილი	აღწერილობა	ერთეული	რაოდენობა
810	სავალი ნაწილის რკინაბეტონის ფილის მოწყობა ტროტუარის რკინაბეტონის ფილის გამონოლითების ჩათვლით ყველა დამხმარე მასალისა და სამუშაოს ჩათვლით საპროექტო ნახატებისა და სამშენებლო სპეციფიკაციების მიხედვით		
810.10	სავალი ნაწილის ფილის დაბეტონება (ბეტონის კლასი: C30/37)	მ ³	29.74
810.20	სავალი ნაწილის ფილის არმირება(ფოლადის კლასი: S500)	მგ	4 433.65
	<u>ხილის აღჭურვილობა და დანამატები</u>		
811	მართკუთხა ელასტომერის საყრდენი ნაწილების მიწოდება და მონტაჟი (Mauer&Sohne ან ექვივალენტი) საყრდენი ზედაპირის მომზადების, ეპოქსიტური ბეტონის საგების და ყველა დამხმარე მასალისა და სამუშაოს ჩათვლით		
811.10	საყრდენი ნაწილის ტიპი 1, ზომა 200X300X42	ცალი	16.00
812	წყალგაუმტარი სადეფორმაციო ნაკერის (Mauer&Sohne, ტიპი D80 ან ექვივალენტი) მიწოდება და მონტაჟი, ზოლოვანი რეზინის სადების, სამაგრი ჩარჩოს, კოროზიისაგან დაცვის (EN ISO 12944-4 სტანდარტით პირველადი და შეალებული დაფარვით) და ყველა დამხმარე მასალისა და სამუშაოს ჩათვლით დამტკიცებული მუშა ნახატების მიხედვით	მ	21.00
813	ცხელად გალვანიზებული ფოლადის მოაჯირების მიწოდება და მონტაჟი დამტკიცებული მუშა ნახატების მიხედვით დამყოლი შეერთების უზრუნველყოფით სადეფორმაციო ნაკერებზე, დგარების, კოროზიისაგან დაცვის (EN ISO 12944-4 სტანდარტით პირველადი და შეალებული დაფარვით) და ყველა დამხმარე მასალისა და სამუშაოს ჩათვლით	მ	42.00
814	თუჯის წყალგამშვები სისტემის (ძაბრის კომპლექტი ზომით 400X500 მმ, დამშვები მილი, დიამეტრი 150 მმ, სიგრძე 750-1500 მმ) დამზადება, მიწოდება და მონტაჟი ხილის ბაქნის ფილაში ნახატების მიხედვით არანაკლებ 200 მმ დიამეტრის და 200 მმ სიღრმის ხერელების უზრუნველყოფით ჩამაგრების დეტალების, ფისოვან შემკვერვებული ერთგვაროვანი მარცვლოვანი(8/16 მმ) საფილტრაციო მასალის საგების და ყველა დამხმარე მასალისა და სამუშაოს ჩათვლით	ცალი	4.00
	<u>პიდროიზოლაცია, ნაკერებისაფარი, კოროზიისაგან დაცვა</u>		
815	პიდროიზოლაციის მოწყობა ნახატების მიხედვით ყველა ბიტუმოვანი და დამხმარე მასალისა და სამუშაოს ჩათვლით		
815.10	ცხელი ასფალტის მიმართ მედეგი პიდროიზოლაციო საფენის მიწოდება და დაგება სპეციფიკაციების მიხედვით სადრენაჟე ძაბრებთან მისადაგებისა და წაჭრის, ბიტუმოვან შენაერთთან შეჭიდების უზრუნველყოფის, არანაკლებ 10 სმ სიგანის გრძივი და განივი პირგადადების, საჭიროებისამებრ ზედაპირის მოვევწა-მოშანდაკების, შეჭიდების ბიტუმოვანი ან ექვივალენტური საცხის დატანის და ყველა დამხმარე მასალისა და სამუშაოს ჩათვლით ინჟინრის მითითების შესაბამისად	მ2	92.40
816	წვრილმარცვლოვანი ასფალტბეტონის მიწოდება და დაგება დატკენით სპეციფიკაციებისა და ნახატების შესაბამისად, როგორც საფარის 50 მმ სისქის ქვედა დამცავი ფენა, ყველა დამხმარე მასალისა და სამუშაოს ჩათვლით	მ2	90.00

სახიდე გადასასვლელის მშენებლობა მდ. კუხაზე
სამუშაოთა მოცულობის უწყისი

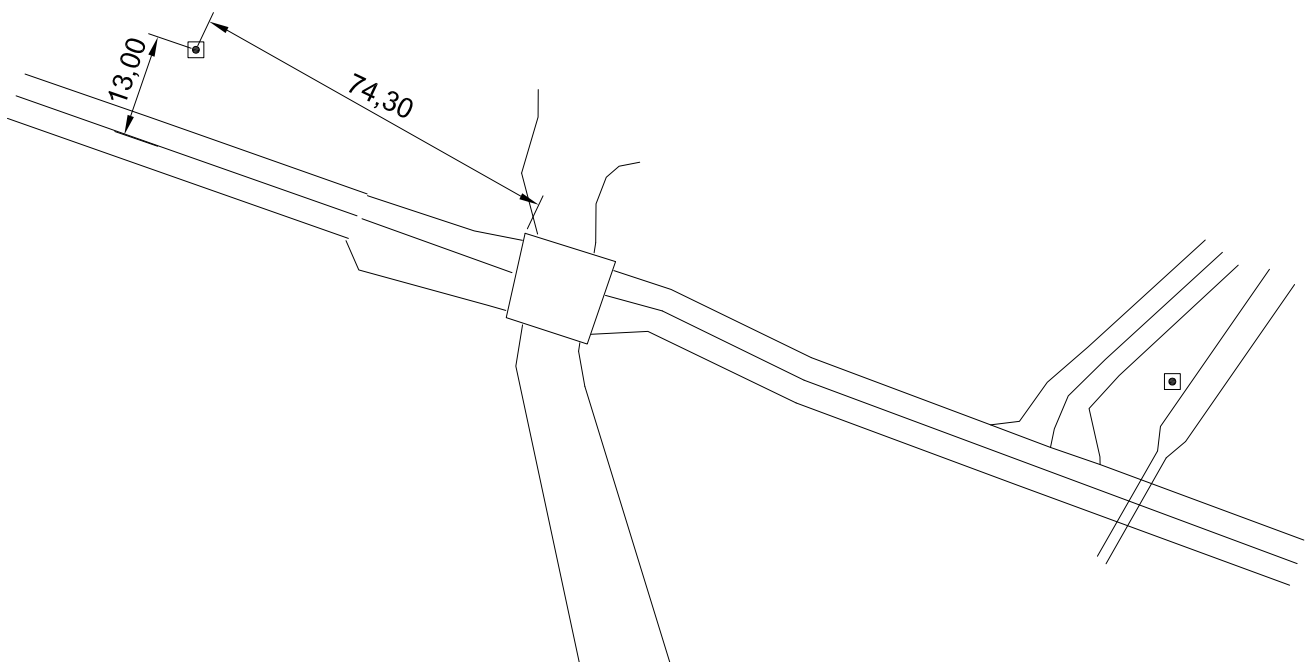
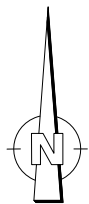
ბილი	აღწერილობა	ერთეული	რაოდენობა
817	წვრილმარცვლოვანი ასფალტბეტონის მიწოდება და დაგება დატებანით სპეციფიკაციებისა და ნახაზების შესაბამისად, როგორც საფარის 40 მმ სისქის საცვეთი ფენა, სადეფორმაციო ნაკერქებთან და ბორდიურებთან ნაკერქების წაჭრა/მისადაგებისა, სადეფორმაციო ნაკერქებისა და ბორდიურების მიერთების ადგილებში ცხლად დამუშავებადი საგოზავი ნაერთის მიწოდებისა და დატანის(შენარევების გარეშე, ნაკერის სიღრმე 5.0 სმ, სიგანე 1,5 სმ) და უველა დამხმარე მასალისა და სამუშაოს ჩათვლით	მ2	90.00

დანართი 6: გეგმურ სიმაღლური წერტილები

გეგმურ-სიმაღლური ცარტილი
REFERENCE POINT

№ 1

X	Y	H
4688148.16	290980.47	121.20



სოფ. კუხი
13,00 მ. გზის ღერძიდან ჩრდ.
74,30 მ. ხილიდან დას.

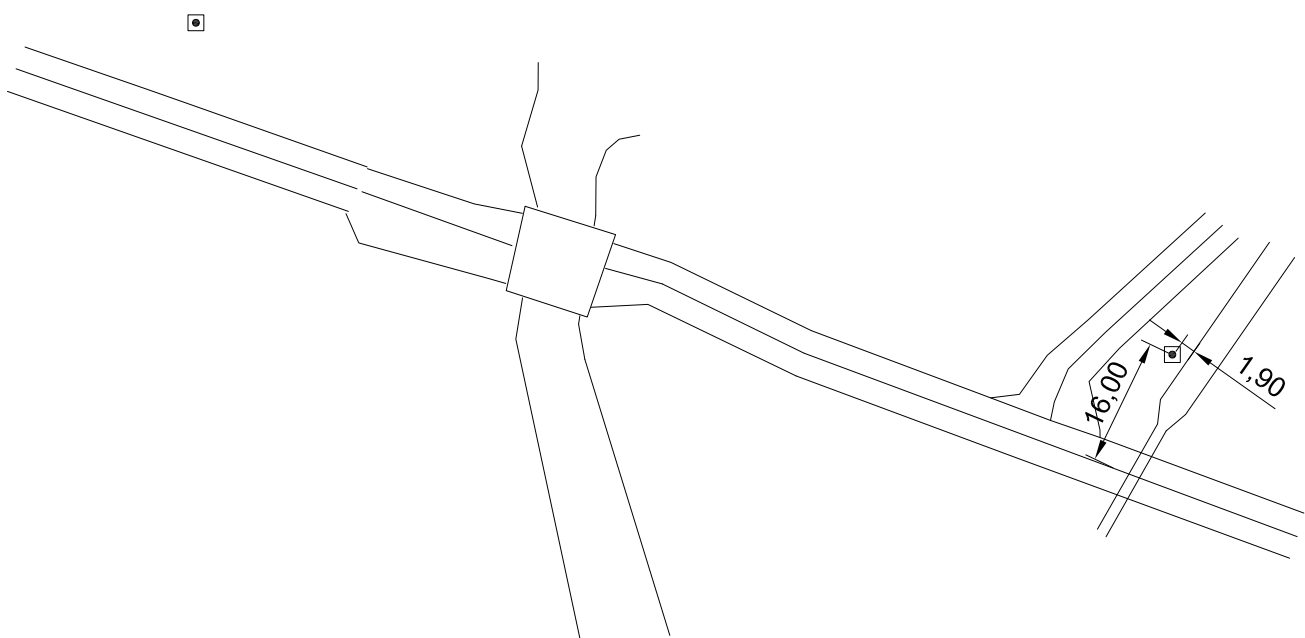
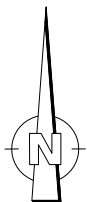
VII. Gvara
13,00 m. N from road centerline
74,30 m. W from bridge



გეგმურ-სიმაღლური წარტილი
REFERENCE POINT

№ 2

X	Y	H
4688075.94	291188.16	119.85



სოფ. კუხი
16,00 მ. გზის ღერძიდან ჩრდ.
1,90 მ. არხიდან დას.

VII. Gvara
16,00 m. N from road centerline
1,90 m. W from duct

